

## СКОРОСТЬ УЛЬТРАЗВУКА В НЕКОТОРЫХ ЖИДКОСТЯХ И РАСТВОРАХ

В. А. Маринин

В недавно опубликованной работе [1] был предложен удобный оптический метод определения скорости ультразвука в жидкостях (стробоскопический метод). В настоящей работе приводятся результаты измерений скорости звука в ряде органических жидкостей и их растворов, полученные при помощи этого метода. Плотность жидкостей определялась весовым методом при помощи пикнометра. Температурная зависимость плотности определялась dilatометром. Экспериментальные величины скорости звука, плотности и температуры, при которых производились измерения, приведены в табл. 1. Молярная скорость вычислялась из эмпирического уравнения [2]

$$v^{\frac{3}{2}} \frac{M}{d} = R, \quad (1)$$

где  $v$  — скорость звука,  $M$  — молекулярный вес,  $d$  — плотность и  $R$  — зависящая от температуры величина, называемая «молярной скоростью звука». Величины молярных скоростей и коэффициентов адиабатической сжимаемости приведены в табл. 1.

При вычислении инкрементов связей, особенно с атомом азота (которые определялись из бензольных соединений), важно было знать более точно величину молярной скорости на группу  $\text{CH}_2$ . Исследования ряда предельных жирных кислот и нормальных спиртов [1] дали величину молярной скорости на группу  $\text{CH}_2$ , равную 190 единицам, что хорошо согласуется с имеющимися в литературе данными [3, 4]. Принимая величину молярной скорости звука на группу  $\text{CH}_2$  равной 190 и воспользовавшись экспериментально найденными величинами молярных скоростей в предельных жирных кислотах, нормальных спиртах [1] и табл. 1, были вычислены инкременты связей табл. 2. Следует отметить, что инкременты связей с атомом азота  $\text{N}-\text{H}$ ,  $\text{N}-\text{C}$ ,  $\text{N}=\text{C}$  и  $\text{N}=\text{O}$  вычислены из молярных скоростей девяти жидкостей табл. 1. Инкремент связи  $\text{N}=\text{N}$  вычислен из изменений азобензола в бензольном растворе табл. 4.

Температурная зависимость скорости звука изучалась в жидкостях различным молекулярным весом: бензол 78,05, толуол 93,06, ацетофенон 120,06, этиловый эфир салициловой кислоты 166,08 и бензиловый эфир бензойной кислоты 212,09.

Как показали наблюдения, во всех исследуемых жидкостях скорость звука с увеличением температуры в области 20—70° С уменьшается (табл. 3). Если изобразить полученные результаты графически, откладывая по оси абсцисс температуру, а по оси ординат скорость звука, то получим линейную зависимость скорости звука от температуры. Вычисленные величины молярной скорости, коэффициента адиабатической сжимаемости  $\frac{\Delta v}{\Delta T}$  — температурного коэффициента скорости звука приведены в табл. 3.

Помимо чистых жидкостей, были исследованы бензольные растворы некоторых веществ: нитробензола, нафталина, дифениламина и азобен-

Таблица 1

## Скорость ультразвука в некоторых органических жидкостях

Название вещества	Химическая формула	t°C	Плотность г/см <sup>3</sup>	Скорость м/сек.	Молярная скорость		Адиабатическ. сжимаемость
					измер.	вычисл.	
Сероуглерод . . . . .	CS <sub>2</sub>	24,7	1,256	1149	635	636	60,1
Четыреххлористый углерод . . . . .	CCl <sub>4</sub>	20,0	1,5940	938	945	944	71,1
Хлороформ . . . . .	CHCl <sub>3</sub>	21,0	1,4905	1005	802	801	66,5
Дихлорэтан . . . . .	C <sub>2</sub> H <sub>4</sub> Cl <sub>2</sub>	26,0	1,2455	1199	844	848	55,5
Пиридин . . . . .	C <sub>5</sub> H <sub>5</sub> N	21,2	0,9801	1474	918	919	47,7
Бензол . . . . .	C <sub>6</sub> H <sub>6</sub>	20,0	0,8788	1326	976	975	64,4
Хлорбензол . . . . .	C <sub>6</sub> H <sub>5</sub> Cl	20,0	1,1046	1288	1108	1118	54,3
Анилин . . . . .	C <sub>6</sub> H <sub>5</sub> N	20,7	1,021	1647	1076	1076	36,1
Нитробензол . . . . .	C <sub>6</sub> H <sub>5</sub> NO <sub>2</sub>	22,4	1,2006	1503	1174	1174	36,1
o-Хлорнитробензол . . . . .	C <sub>6</sub> H <sub>4</sub> O <sub>2</sub> ClN	35,5	1,346	1414	1313	1317	37,2
Толуол . . . . .	C <sub>7</sub> H <sub>8</sub>	20,0	0,8666	1327	1167	1166	65,4
Бензиловый спирт . . . . .	C <sub>7</sub> H <sub>8</sub> O	19,5	1,0465	1558	1197	1211	39,4
o-Толуидин . . . . .	C <sub>7</sub> H <sub>7</sub> N	17,5	1,0035	1678	1268	1266	36,2
2,6-Дутидин . . . . .	C <sub>7</sub> H <sub>7</sub> N	17,0	0,9361	1469	1300	1299	49,3
m-Толуидин . . . . .	C <sub>7</sub> H <sub>7</sub> N	19,5	0,9978	1635	1264	1266	37,4
m-Нитротолуол . . . . .	C <sub>7</sub> H <sub>7</sub> NO <sub>2</sub>	23,0	1,1540	1509	1362	1364	38,2
m-Ксилол . . . . .	C <sub>8</sub> H <sub>10</sub>	23,0	0,8620	1323	1351	1355	66,3
Ацетофенон . . . . .	C <sub>8</sub> H <sub>8</sub> O	20,0	1,025	1514	1345	1348	42,0
Фенетол . . . . .	C <sub>8</sub> H <sub>10</sub> O	20,0	0,9662	1409	1417	1423	52,1
Фенилэтиловый спирт . . . . .	C <sub>8</sub> H <sub>10</sub> O	20,2	1,0207	1535	1380	1401	41,6
Метилловый эфир салиц. кислот . . . . .	C <sub>8</sub> H <sub>8</sub> O <sub>3</sub>	22,7	1,184	1432	1448	1462	41,2
1,3,4-ксиленол . . . . .	C <sub>8</sub> H <sub>10</sub> O	19,0	1,0220	1559	1385	1401	40,3
Этиловый эфир салицил. кислот . . . . .	C <sub>9</sub> H <sub>10</sub> O <sub>3</sub>	20,0	1,132	1391	1638	1652	45,8
Нафталин . . . . .	C <sub>10</sub> H <sub>8</sub>	83,0	0,976	1322	1440	1443	58,6
Этиловый эфир корич. кислот . . . . .	C <sub>11</sub> H <sub>12</sub> O <sub>2</sub>	20,2	1,049	1503	1923	1931	42,2
Дефиниловый эфир . . . . .	C <sub>12</sub> H <sub>10</sub> O	19,3	1,0726	1530	1827	1836	39,8
Дифениламин . . . . .	C <sub>12</sub> H <sub>11</sub> N	55,4	1,058	1586	1864	1864	37,7
Фениловый эфир салиц. кислот . . . . .	C <sub>13</sub> H <sub>10</sub> O <sub>3</sub>	50,6	1,184	1419	2032	2065	42,0
Бензиловый эфир бенз. кислот . . . . .	C <sub>14</sub> H <sub>12</sub> O <sub>2</sub>	20,0	1,117	1563	2204	2209	36,6
Вода . . . . .	H <sub>2</sub> O	20,6	0,9982	1504	207	206	44,3

зола в области молярных концентраций 0,01—0,20. В области применяемых концентраций сохраняется линейная зависимость скорости звука от концентрации. Величины скорости звука, плотности и коэффициенты адиабатической сжимаемости при различных концентрациях приведены в табл. 4.

Применяя правило аддитивности к компонентам, входящим в раствор с различными концентрациями, мы вычислили молярные скорости растворенного вещества, согласно уравнению:

$$R_2 = \frac{R_{12} - R_1}{c_2} + R_1, \quad (2)$$

где  $R_1$  — молярная скорость растворителя,  $R_2$  — растворенного вещества,  $R_{12}$  — раствора и  $c_2$  — молярная дробь растворенного вещества.

Величины молярных скоростей растворенного вещества приведены в табл. 4. В той же таблице даны молярные скорости нафталина, дифениламина и нитробензола, вычисленные из наблюдений скорости звука чистых жидкостях (табл. 1).



Таблица 2

## Инкременты связей

Тип связи	Инкремент связи	Тип связи	Инкремент связи	Тип связи	Инкремент связи
C—H	93	C=O	179	N—C	2
C—C	4	C—Cl	236	N=C	174
C—O	36	C=S	318	N=O	145
O—H	103	N—H	96	N=N	296
C=C	135				

Таблица 3

## Скорость ультразвука в жидкостях в зависимости от температуры

t°C	Плотность г/см³	Скорость звука, м/сек	Молярная скорость	Адиабатич. сжимаемость атм. · 10⁴
-----	-----------------	-----------------------	-------------------	-----------------------------------

## Бензол

20,0	0,8788	1326	976	64,7
37,0	0,8602	1242	975	75,4
48,0	0,8490	1196	976	82,3
59,8	0,8365	1142	975	91,7

$$\frac{\Delta v}{\Delta T} = 4,52$$

## Толуол

20,0	0,8666	1327	1167	65,5
36,6	0,8511	1258	1168	74,2
50,1	0,8385	1203	1168	82,4
71,0	0,8196	1122	1167	96,9

$$\frac{\Delta v}{\Delta T} = 4,01$$

## Ацетофенон

20,0	1,025	1514	1345	42,6
31,0	1,016	1475	1345	45,2
41,0	1,007	1434	1344	48,3
55,0	0,995	1386	1345	52,3

$$\frac{\Delta v}{\Delta T} = 3,68$$

## Этиловый эфир салициловой кислоты

20,0	1,131	1388	1638	45,9
40,0	1,111	1316	1638	52,0
57,4	1,095	1256	1637	58,0
70,0	1,082	1210	1637	62,8

$$\frac{\Delta v}{\Delta T} = 3,50$$

## Бензиловый эфир бензойной кислоты

20,0	1,117	1563	2204	36,6
38,7	1,100	1495	2205	40,7
53,1	1,088	1445	2204	44,0
71,1	1,072	1385	2204	48,8

$$\frac{\Delta v}{\Delta T} = 3,48$$

Таблиц

## Скорость ультразвука в бензольных растворах в зависимости от концент

Молярная доля раство- ренного вещества в %	Молекуляр. вес	Плотность раствора г/см <sup>3</sup>	Скорость звука в растворе м/сек	Молярная скорость раствора	Молярная скорость ра- створенного вещества	Адиаб- снимает раств- а тм.
Нитробензол в бензоле 23°С						
0,000	78,05	0,8756	1312	976	—	66,
2,750	79,288	0,8857	1318	981,5	1176	64,
5,765	80,644	0,8966	1323	987,4	1174	63,
10,240	82,651	0,9126	1332	996,7	1176	61,
19,176	86,679	0,9440	1347	1014,0	1174	58,
100,000	123,05	1,2001	1501	—	1174	—

## Дифениламин в бензоле 20°С

0,000	78,05	0,8788	1326	976	—	64,
1,128	79,248	0,8834	1333	987,4	1862	63,
3,974	81,748	0,8938	1352	1011,3	1864	61,
9,656	87,035	0,9152	1392	1061,8	1865	56,
18,934	95,668	0,9488	1461	1144,1	1864	49,
100,000					1864 (55,4°С)	

## Нафталин в бензоле 20°С

2,852	79,476	0,8844	1334	986,2	1439	63,3
6,056	81,079	0,8905	1341	1004,0	1438	62,4
12,238	84,170	0,9022	1356	1032,7	1439	60,2
100,000					1440 (83,0°С)	

## Азобензол в бензоле 20°С

1,220	79,319	0,8824	1333	986,3	2066	63,7
3,028	81,200	0,8872	1340	1009	2066	62,7
6,061	84,355	0,8956	1354	1042	2065	60,9
10,018	88,496	0,9068	1374	1085	2064	58,4

## Обсуждение результатов

Приведенные в табл. 2 инкременты отдельных связей несколько отличаются от данных, опубликованных в литературе [5]. Расхождение объясняется тем, что исходной величиной при вычислении связей  $C-H$  и  $C-C$  в цитированной работе [5] молярная скорость на группу  $CH_2$  принималась равной 195, а не 190, как это было найдено нами [1]. Это в некоторой степени сказалось и на величине других инкрементов связей. В

Таблица 5

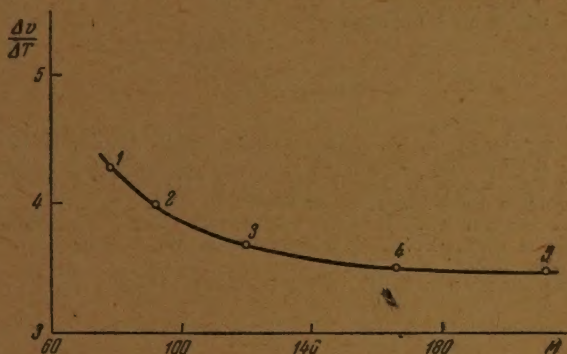
Молярные скорости ультразвука жидкостей, измеренные  
И. Г. Михайловым и А. М. Нижиным и вычисленные  
нами по инкрементам связей табл. 2

Название вещества	Химическая формула	Молярная скорость	
		измер.	вычис.
Анилин . . . . .	$C_6H_5NH_2$	1075	1076
Этиланилин . . . . .	$C_6H_5NHC_2H_5$	1437	1451
Диэтиланилин . . . . .	$C_6H_5N(C_2H_5)_2$	1816	1826



пытах табл. 1 ошибка между экспериментально полученными моляр- скоростями и вычисленными согласно табл. 2 не превосходит 1,5%. Только нам известно, в литературе отсутствуют данные о величине инкрементов связей с атомом азота. Некоторой проверкой полученных инкрементов связей с атомом азота может служить сравнение экспериментальных данных И. Г. Михайлова и Ф. М. Нижина [3] с вычисленными по табл. 2. Из сопоставления (табл. 5) молярных скоростей, экспериментально полученных [3] и вычисленных по инкрементам связей (табл. 2), что ошибка не превышает 1%.

Следует заметить, что температурный коэффициент скорости звука в жидкостях с увеличением молекулярного веса довольно быстро уменьшается, что иллюстрирует рис. 1. Подобное явление обнаружено на одногалогензамещенных бензолах [6].



Температурный коэффициент скорости ультразвука некоторых жидкостей в зависимости от их молекулярного веса; 1 — бензол, 2 — толуол, 3 — ацетофенон, 4 — этиловый эфир салициловой кислоты, 5 — бензиловый эфир бензойной кислоты

Опыты с растворами показали, что молярная скорость звука растворенного вещества, вычисленная по уравнению (2) для различных концентраций, остается, в пределах ошибок наблюдения, величиной постоянной мало отличающейся от величины молярной скорости, полученной в чистой жидкости. Это обстоятельство открывает возможность применения метода разбавленных растворов для определения молярных скоростей веществ, имеющих высокую температуру плавления. Если известны плотности их в жидкой фазе, то можно вычислить и скорости ультразвука. Постоянство молярной скорости звука растворенного вещества при различных температурах в двухкомпонентных и трехкомпонентных смесях различной концентрации было установлено Б. Б. Кудрявцевым и Е. И. Сорокиной [7].

Считаю приятным долгом выразить благодарность проф. В. Н. Цвету за проявленный интерес к работе и ценные указания при проведении исследований.

### Выводы

1. При помощи стробоскопического метода измерены скорости звука в ряде органических жидкостей. Вычислены молярные скорости и коэффициенты адиабатической сжимаемости.
2. Уточнены и частично вновь вычислены инкременты связей (табл. 2).

3. Установлено, что в исследуемых жидкостях скорость звука с температурой изменяется линейно, при этом молярная скорость во всех случаях зависит от температуры и остается величиной постоянной.

4. Показано, что в изучаемых разбавленных растворах сохраняется линейная зависимость скорости звука от концентрации. Величина молярной скорости звука, вычисленная для разбавленных растворов, мало отличается от величины молярной скорости чистой жидкости.

5. Сохранение правила аддитивности молярных скоростей звука компонентов раствора открывает возможности применения метода разбавленных растворов для определения молярных скоростей звука веществ имеющих высокую температуру плавления.

Ленинградский государственный университет  
им. А. А. Жданова  
Физический институт

Поступил  
12. XII. 1949

#### ЛИТЕРАТУРА

1. В. Н. Цветков и В. А. Маринин, ДАН, 68, 49, 1949.
2. M. Rato-Rao, Ind. Journ. of Phys., 14, 109, 1940.
3. И. Г. Михайлов и А. М. Нижин, ДАН, 58, 1689, 1947.
4. R. T. Lagemann, Journ. Chem Phys., 16, 247, 1948.
5. R. T. Lagemann a. J. E. Corry, Journ. Chem. Phys., 10, 759, 1942.
6. R. T. Lagemann, D. R. McMullan a. W. E. Woolf, Journ. Chem. Phys., 17, 369, 1949.
7. Б. Б. Кудрявцев и Е. И. Сорокина, ЖЭТФ, 19, 158, 1949.



## ИССЛЕДОВАНИЕ КИНЕТИКИ И МЕХАНИЗМА ПОЛИМЕРИЗАЦИИ ВИНИЛАЦЕТАТА

*М. В. Поляков, А. Я. Павлушина, Т. П. Корниенко  
и В. В. Шаля*

Вопрос о механизме полимеризационных процессов в последние годы привлекает внимание исследователей в связи с возможностью применения новой теории для интерпретации важнейших закономерностей и фактов. В число таких исследователей относятся С. С. Медведев с сотрудниками [2], Флори [3] и др.

Основной задачей исследования было изучение кинетики в условиях, благоприятствующих автокаталитическому протеканию полимеризации винилацетата. Этот вопрос нас интересовал в связи с развиваемой нами теорией зрения, согласно которой цепной механизм взрывных реакций рано или поздно перерождается в тепловой [4].

Как известно, автокатализ и взрыв в области экзотермического горения в значительной степени определяются условиями теплоотвода, адиабатичностью процесса [5]. Казалось бы, что экзотермическая полимеризация также должна в соответствующих условиях протекать автокаталитическим или даже взрывным путем. Однако до последнего времени исследования в этом направлении не было, хотя случаи взрывов в полимеризационной практике и были известны.

Как ниже будет показано, полимеризация винилацетата в условиях плохого теплоотвода действительно обладает сильно выраженной автокаталитической и даже взрывной кинетикой. Перед окончанием исследования нам стало известно, что такую же кинетику имеет полимеризация эфира метакриловой кислоты [6]. Впоследствии в нашей лаборатории было установлено, что и сополимеризация в условиях плохого теплоотвода протекает автокаталитическим и взрывным путем.

### Методика работ

В основу метода изучения кинетики полимеризации винилацетата нами было положено измерение роста температуры реагентов с течением времени за счет теплоты реакции. В работе, посвященной кинетике полимеризации эфира метакриловой кислоты [6], также был применен такой же метод. Для увеличения точности измерений приходится опыт ставить на условиях некоторой адиабатичности, плохого теплоотвода. Такая постановка опытов соответствовала нашей задаче: изучению автокаталитической полимеризации.

Опыты ставились в реакционном сосуде, изображенном на рис. 1. Этот сосуд представляет собою ампулку, почти полностью окруженную более широкой, эвакуированной до  $10^{-5}$  мм рт. ст. трубкой. Во внутреннюю ампулку при помощи специального отростка вставлялась двухспайная термopapap медь-константан, соединенная с гальванометром с точности порядка  $0,05^\circ\text{C}$ . Другой спай термopapap опускался в дьюаровский сосуд с тающим льдом. Реакционный сосуд перед опытом погружался в водяной термостат, температура которого регулировалась с точностью  $\pm 0,3^\circ\text{C}$  при помощи реле с толзуловым терморегулятором.

Объектом исследования был винилацетат, полученный в Московском институте пластмасс. Очистка его была произведена путем разгонки, после чего константы оказались такими

$$t_{\text{н}} = 73^\circ\text{C}; \quad d_1^{\circ} = 0,930; \quad \eta_0^{\circ} = 1,3950.$$

В качестве катализатора применялась перекись бензоила, очищенная двукратно перекристаллизацией из этилового спирта. Перед опытом перекись всыпалась в реакционную ампулку через специальный отросток, который после вливания туда же винилацетата запаивался. Вязкость продукта полимеризации определялась при помощи запаянного вискозиметра Оствальда, применяемого для определения летучих жидкостей. Вискозиметр с 8 см<sup>3</sup> 2% (весов.) бензольного раствора поливинилацетата помещался в водяной термостат с температурой 20° С. Измерение времени истечения испытуемой жидкости производилось через 30 мин.

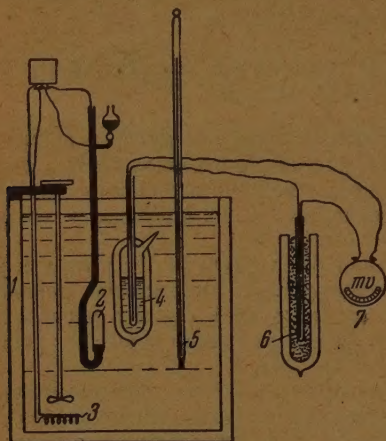


Рис. 1. Схема установки. 1 — термостат, 2 — терморегулятор, 3 — нагреватель, 4 — реакционный сосуд, 5 — термометр, 6 — дьюар, 7 — гальванометр



Рис. 2. Вискозиметр

Следует отметить, что в тех случаях, когда процесс полимеризации заканчивался образованием твердого продукта, для приготовления 2% бензольного раствора поливинилацетата применялся более концентрированный бензольный раствор, полученный при извлечении из реакционного сосуда твердого полимера. Процент запolyмеризованного винилацетата в этом растворе определялся по сухому остатку после испарения растворителя при температуре 60° С. Измерение вязкости обоих типов растворов (приготовленных путем непосредственного растворения твердого поливинилацетата в бензоле и разбавлением концентрированных бензольных растворов) давали вполне идентичные результаты. Расчет удельной вязкости, среднего молекулярного веса и средней длины цепи производился по формулам Штаудингера:

1) удельная вязкость

$$\eta_{sp} = \eta_r - 1,$$

где

$$\eta_r = \frac{\text{вязкость раствора}}{\text{вязкость растворителя}};$$

2) средний молекулярный вес

$$M = \frac{\eta_{sp}}{k_m c},$$

где  $k_m$  для поливинилацетата равен  $2,6 \cdot 10^{-4}$ , а  $c$  — концентрации мономера в молях/кг растворителя (для 2% растворов  $c = 0,2325$ );

3) средняя длина цепи равна  $\frac{\text{мол. вес}}{\text{эквивалент цепи}}$  (эквивалент цепи для винилацетата равен 43).

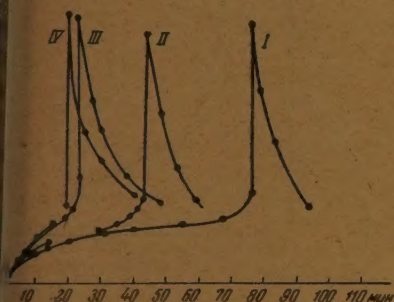
### Результаты работы

На рис. 3 приведена серия кривых, показывающих кинетику полимеризации винилацетата при разных начальных температурах (67, 70, 80 и 85° С) и при одном и том же содержании мономера и катализатора.



На оси абсцисс отложено время в минутах, а на оси ординат температура. Каждая кривая показывает, как повышается температура винилацетата во времени, т. е., как автокаталитически увеличивается скорость процесса при разных начальных температурах. Сначала имеет место нагрев реакционного сосуда до температуры термостата, затем идет период индукции — медленная реакция со сравнительно медленным ростом температуры, а затем начинается автокаталитический участок кривой с весьма быстрым поднятием температуры на  $185-190^\circ$  (до  $250-270^\circ$ ) в течение менее порядка одной-трех минут.

Правые ветви кривых показывают охлаждение полимера до температуры термостата после окончания процесса. Довольно резкий спад этих ветвей показывает, что адиабатичность в наших опытах была далеко не полная. Тем не менее она оказалась достаточной для обеспечения значительной автокаталитичности процесса.



3. Зависимость кинетики полимеризации винилацетата от начальной температуры: I —  $t = 65^\circ$ ; II —  $t = 70^\circ$ ; III —  $t = 80^\circ$ ; IV —  $t = 85^\circ$

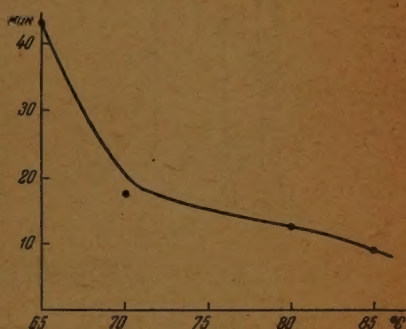


Рис. 4. Зависимость периода индукции от начальной температуры

Очень интересно, что независимо от начальной температуры и степени полимеризации разогрев винилацетата почти всегда одинаков, а именно  $85-190^\circ$ . Этот разогрев, повидимому, определяется одинаковым во всех случаях количеством винилацетата и катализатора. Начальные температуры влияют только на периоды индукции и на вязкость поливинилацетата, характеризующую степень, глубину полимеризации.

Зависимость периода индукции от начальной температуры видна из рис. 4, где на оси абсцисс показаны эти температуры, а на оси ординат — периоды индукции в минутах. Мы видим, что с повышением начальной температуры период индукции сначала (до  $70^\circ$ ) резко сокращается, а затем, при температурах порядка  $70-85^\circ$ , уменьшается уже сравнительно слабо.

Из табл. 1 видно, что с ростом начальной температуры до  $65-70^\circ$  вязкость резко понижается, а затем мало изменяется.

Таблица 1

Зависимость вязкости поливинилацетата от начальной температуры

Начальная температура в $^\circ\text{C}$	$\eta \cdot 10^4$	$\eta_{sp}$	Мол. вес $M$ (средн.)	Длина цепи
50	14,96	1,807	13350	340
60	12,94	0,563	9313	216
65	11,29	0,363	6005	140
70	10,97	0,325	5376	125
80	10,78	0,302	4996	114
85	10,79	0,303	5012	116

Таким образом и период индукции, и вязкость сильно зависят от начальной температуры только в области низких начальных температур (65—70°). При более высоких температурах обе эти характеристики винилацетата сравнительно мало изменяются.

На рис. 5 приведена зависимость автокаталитической кинетики полимеризации винилацетата от количества катализатора (в процентах) при одном содержании мономера и одной и той же начальной температуре равной 70° С. Кривая первая относится к 1% катализатора, вторая к 1,5%, третья — к 2% и четвертая — к 3%. И в этой серии кривых разгрев за счет теплоты реакции имеет почти одинаковую величину (порядка 185—190°). Это обстоятельство говорит об отсутствии влияния катализатора на конечную температуру реакции. Количество катализатора влия-

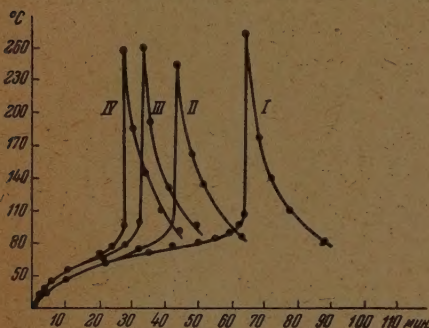


Рис. 5. Зависимость кинетики полимеризации винилацетата от количества катализатора — перекиси бензоила. I — 1%; II — 1,5%; III — 2%; IV — 3% катализатора

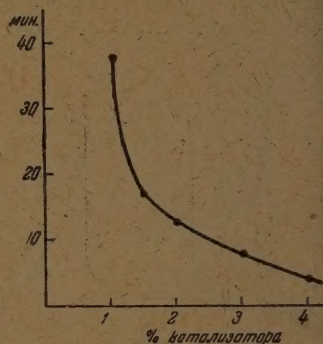


Рис. 6. Зависимость периода индукции от количества катализатора

главным образом на период индукции, т. е. на время, предшествующее автокаталитическому развитию реакции. Коль скоро этот автокатализ уже наступил, количество катализатора на кинетику особого влияния не оказывает. Зависимость периода индукции от количества катализатора видна из рис. 6. Эта зависимость сравнительно велика только в области малых количеств катализатора (до 1—1,5%); при добавлении к мономеру больших количеств катализатора период индукции уже мало изменяется. Зависимость вязкости полимера от количества катализатора приведен в табл. 2.

Таблица 2

Зависимость вязкости поливинилацетата от количества катализатора

% перекиси бензоила	$\eta \cdot 10^3$	$\eta_{sp}$	Средний молекулярный вес	Средняя длина цепи
0,5	16,27	0,965	15964	371
1,0	12,39	0,496	8205	191
1,5	10,93	0,320	5294	123
2,0	10,59	0,279	4615	107
3,0	10,01	0,209	3457	80
4,0	10,40	0,256	4235	98

Из табл. 2 следует, что увеличение количества катализатора до 1,5—2% приводит к резкому снижению величины вязкости. Дальнейшее увеличе-



не примеси катализатора уже почти не изменяет вязкости. Таким образом и период индукции, и вязкость одинаково сильно зависят от количества катализатора только до 1,5—2% его содержания; дальнейшее увеличение не вносит больших изменений.

Заслуживает внимания и следующий факт: прибавление катализатора больше 1,5—2% связано с образованием желтоватого и несколько текучего при комнатной температуре полимера. Желтый цвет последнего указывает на то, что избыток катализатора, повидимому, разлагается без обычного участия в процессе.

В связи с этим значительный интерес приобретает вопрос о том, почему независимо от степени и глубины полимеризации, на которые указывает вязкость, разогрев при всех изученных условиях имеет почти одну и ту же величину, а именно 185—190°.

В предварительной части исследования мы столкнулись с невозможностью, при некоторых условиях, доведения опытов до благополучного конца из-за взрывов и разрушения при этом реакционных сосудов. Это продолжалось до тех пор, пока опыты ставились в ампулах с диаметром в 20 мм и с количеством винилацетата, равным 7 см<sup>3</sup>. После перехода на ампулки с диаметром в 10 мм и количеством винилацетата порядка 3—5 см<sup>3</sup> кинетика приобрела описанный выше автокаталитический характер (рис. 3 и 5). Рис. 7 иллюстрирует две кинетические кривые, полученные в сосуде с диаметром, равным 20 мм, и с 7 см<sup>3</sup> винилацетата (катализатор 1,0%) при начальной температуре, равной 60 и 70°. Оба опыта закончились взрывом. Обе кривые (рис. 7) отличаются только периодами индукции. Он несколько больше при более низкой начальной температуре.

Из приведенных только-что данных следует, что кинетика полимеризации несомненно зависит и от диаметра реакционных сосудов, и от количества мономера.

### Обсуждение результатов работы

Наиболее важным результатом данного исследования является установление автокаталитической и даже взрывной кинетики полимеризации винилацетата. Это дает основание полагать, что и другие полимеризационные процессы в условиях некоторой адиабатичности могут протекать подобным же образом и что, следовательно, они в этом отношении похожи на реакции горения.

Известно, что реакции горения сыграли значительную роль в создании теории разветвляющихся цепей. Однако и тепловая теория вполне удовлетворительно истолковывает сопровождающиеся обычно значительным выделением тепла явления автокатализа и взрыва в области горения. Полимеризационные медленные реакции большинство исследователей считает цепными. Тем не менее, по аналогии с реакциями горения, нельзя и автокаталитическую, и взрывную полимеризации считать только цепным разветвляющимся процессом.

В пользу такого вывода говорят установленные в данной работе закономерности, характеризующие зависимость периода индукции от начальной температуры полимеризации и от количества катализатора (рис. 4 и 6).

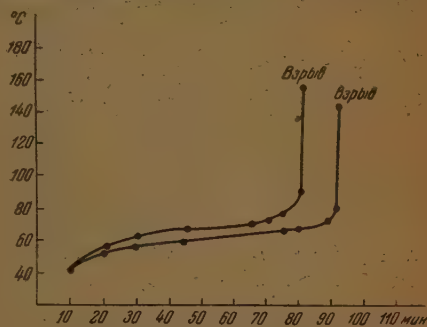


Рис. 7. Кинетика полимеризации с взрывным окончанием

Эти закономерности могут с одинаковым успехом быть истолкованы как тепловой теорией, так и теорией разветвляющихся цепей.

Иначе дело обстоит с найденной в этой работе зависимостью вязкости поливинилацетата от начальной температуры и количества катализатора (табл. 1 и 2). Как известно, вязкость является показателем величины молекулярного веса полимера, длины его цепей (табл. 1 и 2). Уменьшение вязкости говорит об укорочении этих цепей и о соответственном увеличении их числа. Рост начальной температуры и количества катализатора, ведущий к закономерному (до известного предела) снижению вязкости продукта полимеризации, повидимому, дает увеличение числа исходных центров полимеризации в ущерб окончательной длине цепи последней. Если учесть, что исходные центры полимеризации являются, согласно современным данным, также начальными центрами цепного полимеризационного процесса, а полимеризационные цепи — продукт его цепного механизма, то снижение вязкости с ростом начальной температуры и, особенно, количества катализатора является веским аргументом в пользу цепного механизма полимеризации винилацетата.

В связи с этим особым вниманием заслуживает тот факт, что зависимость вязкости от начальной температуры и количества катализатора идентична зависимости периода индукции от тех же факторов (рис. 4 и 6). Это говорит об идентичности причины, вызывающей уменьшение как вязкости, так и периода индукции с ростом начальной температуры и количества катализатора. Согласно теории разветвляющихся цепей, период индукции — это время, необходимое для накопления достаточного для автокаталитического или взрывного ускорения процесса числа начальных активных центров. С этой точки зрения период индукции должен укорачиваться с ростом начальной температуры и количества катализатора, иницирующего активные центры. Вязкость продукта полимеризации также зависит от числа начальных центров и от всякого фактора, обуславливающего это число, так как от последнего зависят число и длина полимеризационных цепей.

Таким образом, идентичность зависимости вязкости и периода индукции от одних и тех же факторов безусловно говорит о цепном механизме полимеризации в наших опытах, по крайней мере в начальной стадии ее, в стадии накопления активных центров и зарождения цепей за счет этих иницируемых катализатором центров. В дальнейшем, вероятнее всего, имеет место перерождение цепного механизма в тепловой, детонационный, взрывной.

### Выводы

1. Разработан метод изучения кинетики полимеризации в условиях плохого теплоотвода.
2. Установлен автокаталитический, взрывной характер полимеризации винилацетата в этих условиях.
3. Изучена зависимость кинетики полимеризации от начальной температуры и количества катализатора.
4. Изучена зависимость вязкости поливинилацетата от тех же факторов.
5. Показана идентичность зависимости периода индукции и вязкости от тех же факторов.
6. Найденные закономерности и факты истолкованы в соответствии с теориями разветвляющихся цепей и теплового автокатализа.
7. Высказано предположение о перерождении цепного механизма полимеризации в тепловой, детонационный.



## ЛИТЕРАТУРА

- С. А. Каменская и С. С. Медведев. Журн. физ. хим., 14, 922, 1940;  
С. С. Медведев, О. М. Корицкая и Е. Н. Алексеева, Журн.  
физ. хим., 17, 391, 1943.  
О. М. Мамонтова, А. Д. Абкиц Н. и С. С. Медведев, Журн. физ.  
хим., 14, 36 (1940).  
P. J. Flory, J. Am. Chem. Soc., 59, 241, 1937.  
М. В. Поляков и сотр.; Работы, опубликованные в Журн. физ. хим. за 1931—  
1941 гг.  
Н. Н. Семенов, Цепные реакции, 1934.  
G. Schulz u. F. Blaschke, Z. Elektrochem., 47, 749, 1941.
-

## О РАВНОВЕСИИ ГИДРОЛИЗА ГЕКСАФТОРОСИЛИКАТИОНА \*

И. Г. Рысс

Первое определение константы равновесия гидролиза гексафторосиликатиона



было проведено Кубелька и Прижистоупил [1]. Из колориметрических измерений pH насыщенных  $\text{Na}_2\text{SiF}_6$  растворов фтористого натрия, полученных частичным разложением кремнефтористоводородной кислоты едким натром, и стехиометрических зависимостей они вычислили для 23° идеальную константу равновесия

$$K = \frac{(\text{H}')^4 (\text{F}')^6}{(\text{SiF}_6'')} = \frac{(\text{H}')^4 (\text{F}')^8}{L_{\text{Na}_2\text{SiF}_6}} = 2,3 \cdot 10^{-27}.$$

Автор совместно с Н. П. Бакиной [2] потенциометрически измерил pH ряда растворов фтористого натрия, насыщенных кремнефтористым натрием и гидратированной кремневой кислотой. При подходе к равновесию с обеих сторон наблюдались совпадающие значения pH. Из измерений растворимости и коэффициента активности насыщенного раствора  $\text{Na}_2\text{SiF}_6$  \*\* и приблизительно оцененных коэффициентов активности NaF было найдено среднее значение  $K$  для температуры 20°

$$K = \frac{a_{\text{H}}^4 \cdot (m_{\text{NaF}} \gamma_{\text{NaF}})^8}{a_{\text{Na}_2\text{SiF}_6} \cdot a_{\text{H}_2\text{O}}^2} = 1,0 \cdot 10^{-27}. \quad (2)$$

Соответствующий пересчет данных Кубелька и Прижистоупила привел к величине  $K_{23} = 1,7 \cdot 10^{-27}$ .

Вычисленные частные значения константы гидролиза систематически возрастали с повышением концентрации раствора NaF. Логарифмируя уравнение (2), можно найти

$$\text{pH} = 2 \lg \frac{m_{\text{NaF}} \cdot \gamma_{\text{NaF}}}{a_{\text{H}_2\text{O}}^{1/4}} - \frac{\lg K + \lg a_{\text{Na}_2\text{SiF}_6}}{4}. \quad (3)$$

При построении соответствующего графика обнаруживается, что между использованными нами [2] данными существует прямолинейная зависимость, но угловой коэффициент прямой равен приблизительно 1,7. Это указывает на наличие систематической и пропорциональной pH ошибки в опытах или расчетах. Такой ошибкой явилась, повидимому, неправильная оценка  $\gamma_{\text{NaF}}$ . При использовании значений  $\gamma_{\text{NaF}}$ , определенных позднее опубликования нашей работы [2] Розенфельдом [3,4], Робинсоном [5] (из упругости паров раствора при 25°) и Иветом и Де-Вризом [6] (из э. д. с.),

кривые  $\text{pH} = f \left( \lg \frac{m\gamma}{a^{1/4}} \right)$  приближаются к теоретическому наклону. Наилучшее схождение получается при использовании данных Робинсона или Розенфельда. При этом опытные данные удовлетворительно передаются уравнением

$$\text{pH} = 2 \lg \frac{m_{\text{NaF}} \cdot \gamma_{\text{NaF}}}{a_{\text{H}_2\text{O}}^{1/4}} + 7,98. \quad (4)$$

\* Опытная часть проведена совместно с [Е. С. Слуцкой].

\*\*  $a = 4m^2 \gamma^2 = 4 \cdot 0,0356^2 \cdot 0,567^2 = 3,29 \cdot 10^{-6}$ .

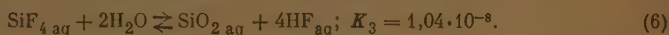


Таблица 1

Моляльность NaF $m$	$\lg (m\gamma)$	pH по ур-нию (4)	pH найдено
0,9046	$\bar{1},746$	7,47	7,36—7,38
0,4524	$\bar{1},475$	6,93	6,88—6,93
0,2262	$\bar{1},204$	6,39	6,38—6,42

Уравнению (4) соответствует значение  $K = 4 \cdot 10^{-28}$ .

Упомянутые измерения были проведены в условиях, при которых не может быть сказаться искажающее влияние сосуществующих равновесий [7]



Нет также и опытных указаний на возможность образования гидроксоионов, пример  $\text{SiF}_4(\text{OH})_2''$ , аналогичных гидроксофтороборатону  $[\text{BF}_3\text{OH}]'$ , но можно саться возможного влияния недостаточной определенности термодинамических йств гидратированной кремневой кислоты, которые могут зависеть от метода зготовления ее и изменяться со временем. Оценка влияния этого фактора могла ь сделана дополнительными измерениями, проведенными при применении новых азцов кремневой кислоты. Не изучен был вопрос и о температурной зависимости естанты гидролиза. Вычисление ее из теплового эффекта недостаточно надежно едствие возможных погрешностей термохимических определений [8].

#### Определение константы гидролиза $\text{SiF}_6''$ при 20—40° изучением рас- творов KF, насыщенных $\text{K}_2\text{SiF}_6$ и гидратированной $\text{SiO}_2$

Так как  $\text{K}_2\text{SiF}_6$  значительно менее растворим, чем  $\text{Na}_2\text{SiF}_6$ , изучение го быть проведено в более широкой области изменения концентрации орида, чем при применении натриевых солей. Положение равновесия тигалось с двух сторон, как и в прежней работе [2].

Материалы. Кремнекислота получалась гидролизом фтористого кремния, делявшегося термическим разложением  $\text{BaSiF}_6$  и очищавшегося пропусканием ез хромовую смесь, концентрированную серную кислоту и фильтр из стеклянной ы. Осадок кремнекислоты промывался до удаления кремнефтористоводородной слоты и сушился на воздухе в течение месяца. Воздушно-сухое вещество едержало 83,2% влаги.

Химически чистый фтористый калий перекристаллизовывался между 40—20°. онцентрация его растворов проверялась взвешиванием в виде  $\text{K}_2\text{SO}_4$ . Более збалансированные растворы готовились по навескам концентрированного раствора.

Образец  $\text{K}_2\text{SiF}_6$  описан ранее [9]. 1,1 N KOH очищался от карбоната известко-ым методом и после определения весового титра разбавлялся по навескам.

Измерение электродвижущей силы цепей производилось при мони компенсатора по Раусу; нуль-инструментом являлся зеркальный гальвано-тр с чувствительностью  $1,6 \cdot 10^{-9}$  А, внутренним сопротивлением 390  $\Omega$ .

Постоянство температуры в термостате соблюдалось с точностью  $\pm 0,05^\circ$ .

Нормальные элементы были проверены ВММС и периодически сверялись с за-сыным элементом.

Электродные системы. Для предотвращения возможного взаимодействия еследуемых растворов со стенками электродных сосудов последние были изготов-ны из прозрачного кварца. Индикаторным электродом служил хингидронный ектрод. При некоторых измерениях применялся водородный электрод (позолочен-ый платина, покрытая палладиевой чернью). Водород получался электролизом KOH никелевыми электродами. Водород промывался щелочным раствором плюмбита, злочным раствором перманганата, сушился хлористым кальцием, пропускался над третым платинированным асбестом и затем насыщался водяными парами при бар-тировании через погруженный в тот же термостат сосуд с другой порцией иссле-емого раствора. Сравнительным электродом служил нормальный каломельный ектрод.

Носики электродов были погружены в сосуды с теми же растворами, соединяющиеся между собой KCl-агаровым сифоном.

Проведение опытов. Растворы фтористого калия насыщались  $K_2S$  и  $SiO_2$  в течение двух месяцев при комнатной температуре ( $19-21^\circ$ ) и перед измерением pH выдерживались в термостате в течение 3-4 час. При измерениях при 40° растворы KOH перебалтывались в термостате с избытком  $K_2SiF_6$  в течение 4-5 час, после чего они быстро переносились в электродные сосуды, погруженные в термостат.

Результаты измерений и вычисленные значения констант гидролиза приведены в табл. 2. Коэффициенты активности растворов ионизировались из вычисленных Розенфельдом [16] величин. Эти величины близки к найденным Робинсоном [5]. Вычисленные позднее Розенфельдом [3,4] значения  $\gamma$  кажутся преувеличенными.

Значение активности насыщенного раствора  $K_2SiF_6$  равны  $2,05 \cdot 10^{-6}$  при  $20^\circ$  и  $1,27 \cdot 10^{-6}$  при  $40^\circ$  [9]. Метод расчета  $K$  аналогичен примененному выше [уравнение (2)], но не учитывалось незначительное отклонение значения  $a_{H_2O}$  от единицы.

Таблица 2

Температура °C	Метод приготовления смеси	Индикатор	$m_{KF}$	$lg \gamma_{KF}$	pH	$lg K$
20	1	Водородн. . . .	1,000	$\overline{1,813}$	8,09	$\overline{28,83}$
	2	» . . . .	0,498	$\overline{1,832}$	7,52	$\overline{28,84}$
	1	Хингидр. . . .	0,2320	$\overline{1,9005}$	7,05	$\overline{28,62}$
	1	» . . . .	0,1200	$\overline{1,921}$	6,42	$\overline{27,03}$
	2	» . . . .	0,08494	$\overline{1,932}$	6,14	$\overline{27,10}$
	2	Водородн. . . .	0,08494	$\overline{1,932}$	6,12	$\overline{27,02}$
	1	Хингидр. . . .	0,0591	$\overline{1,940}$	5,83	$\overline{27,06}$
	2	» . . . .	0,04626	$\overline{1,9455}$	5,64	$\overline{27,01}$
	2	Водородн. . . .	0,04626	$\overline{1,9455}$	5,71	$\overline{28,73}$
		Среднее . . . .	—	—	—	$\overline{28,92}$
40,0	2	Хингидр. . . .	0,3398	$\overline{1,8875}$	6,85	$\overline{27,81}$
	2	Водородн. . . .	0,3398	$\overline{1,8875}$	6,86	$\overline{27,85}$
	2	Хингидр. . . .	0,11165	$\overline{1,925}$	5,98	$\overline{27,76}$
	2	» . . . .	0,03767	$\overline{1,950}$	5,12	$\overline{27,62}$
		Среднее . . . .	—	—	—	$\overline{27,76}$

Примечание. 1 — смесь приготовлена из раствора  $KF$ ,  $K_2SiF_6$  и  $SiO_2$ .  
2 — смесь приготовлена из раствора KOH и  $K_2SiF_6$ .

При  $20^\circ$  наибольшее отклонение единичных значений  $lg K$  от среднего равно 0,3, что соответствует изменению  $K$  вдвое. Среднее значение  $lg K$  удовлетворительно сходится с найденным ранее значением.

Колебания в значениях  $lg K$  при  $40^\circ$  меньше, чем при  $20^\circ$ . Из средних значений константы гидролиза может быть вычислена теплота реакции  $\Delta H = -Q$  для интервала температур  $20-40^\circ$ :  $\Delta H = 17,6$  ккал.



## Определение константы гидролиза при 15—35° изучением не насыщенных гексафторосиликатом растворов

Более надежная оценка температурной зависимости константы гидролиза может быть получена при измерении температурной зависимости рН-ом в том же растворе. Ввиду медленности насыщения раствора гексафторосиликатом желательнее использовать раствор не насыщенный, а имеющий фиксированную концентрацию  $\text{SiF}_6^{2-}$ . Следует устранить диффузионные потенциалы, которые могли несколько исказить результаты, описанные в предыдущем разделе статьи.

Электродвижущая сила цепи  $\text{Pt/хлгидрон}, \text{NaF}_{(m_1)}, \text{Na}_2\text{SiF}_{6(m_2)}, \text{AgCl}_{(m_3)}, \text{AgCl}/\text{Ag}$  определяется выражением:

$$E = E^0 + \frac{RT}{F} \ln (a_{\text{H}^+} \cdot a_{\text{Cl}^-}),$$

уда

$$\text{pH} = \frac{E - E^0}{0,19844T} + \lg a_{\text{Cl}^-}. \quad (7)$$

Логарифм активности хлор-иона может быть вычислен из  $m_3$  и коэффициента активности, оцениваемого по второму приближению теории Дебая — Гюккеля.

Для возможности расчетов константы гидролиза необходимо подавить гидролиз  $\text{SiF}_6^{2-}$ , чтобы достигнуть незначительности изменения концентрации  $\text{F}^-$  и  $\text{SiF}_6^{2-}$  при повышении температуры. Ориентировочные подсчеты показали, что при  $m_1 = 0,1$  и  $m_2 \approx 0,004$  это условие выполняется.

**Материалы.** Фтористый натрий был получен взаимодействием химически чистого  $\text{HF}$  с недостатком соды. Высушенный осадок прокаливается для разрушения  $\text{NaF} \cdot \text{HF}$  и  $\text{Na}_2\text{SiF}_6$ . Все операции велись в платиновой посуде. Продукт растворялся в воде без остатка и не содержал  $\text{Cl}^-$  и  $\text{SO}_4^{2-}$ . Раствор его был нейтрален по индикатору при комнатной температуре и принимал слабощелочную реакцию при титровании.

Кремнефтористый натрий был получен двойной перекристаллизацией химически чистого продукта в кварцевой посуде. Перекристаллизованная соль сушилась сначала в серной кислоте, затем при 100°.

Хлористый натрий перекристаллизовался высаливанием химически чистой соляной кислоты. После двукратного высаливания соль прокаливается в платиновом тигле при 600°.

**Изготовление хлоросеребряных электродов.** Изогнутая сплюснутая платиновая проволока электролитически серебрилась в растворе аргентоцианида в течение 48 час. при 0,6 мА/см<sup>2</sup>. После тщательного промывания электроды подвергались анодной поляризации в 0,25 N HCl в течение 5 час. при 0,4 мА/см<sup>2</sup>. После четырехкратной попеременно анодной и катодной поляризации (по 5 мин.) электроды хранились коротко замкнутыми в растворе HCl. Потенциалы отдельных электродов отличались между собой не более чем на 0,1—0,2 мВ. При включении их в 1 N KCl против нормального каломельного электрода э. д. с. равнялась 0,9—0,94, 4,1 мВ при 18°.

**Изготовление растворов и измерение э. д. с.** В приготовленном по навеске ~ 0,001 N NaCl, находившемся в кварцевой колбе, растворялись навески NaF и  $\text{Na}_2\text{SiF}_6$ , после чего прибавлялось ~ 0,1 г  $\text{SiO}_2$ . После длительного абатирования взвеси ею заполнялись стеклянные промежуточные сосуды, сосуд для хлоросеребряного электрода и кварцевый сосуд хлгидронного электрода. После продувания заполненных растворами сосудов током очищенного азота составлялась цепь. Диффузия хлгидрона к хлоросеребряному электроду предотвращалась различием длинных носиков электродных сосудов и введением промежуточного сосуда.

После выдерживания в термостате в течение 1—3 час. измерялся э. д. с. После установления постоянного потенциала температура изменялась на несколько градусов для следующего измерения и т. д. Данные, полученные при нагреве и охлаждении, хорошо сходились.

Вычисление рН, константы гидролиза и  $\Delta H$ 

Интерполяцией опытных данных были получены значения  $E$  15, 20, 25, 30 и 35°, приведенные в табл. 3 и 4.

Значение  $E^\circ$  для цепи хингидронный — хлоросеребряный электрод даны Хадом и Райтом [11]. Точность их данных  $\pm 0,1$  mV при температурах 0—25°,  $\pm 0,15$  mV при 30—40°, но как показывает сравнение первых и вторых разностей возможные ошибки в изменении  $E^\circ$  при переходе от одной температуры к другой значительно меньше (не превосходят 0,01—0,02 mV).

Коэффициенты активности  $\text{Cl}^-$  вычислялись по второму приближению теория Дебая — Гюккеля

$$\lg \gamma = - \frac{S V \Gamma}{1 + k' a V \Gamma} - \lg (1 + 0,036 m).$$

Численные значения констант  $S$  и  $k'$  взяты по Харнеду и Оуэну [12]. Кажущийся ионный диаметр  $a$  был принят за 4,3 Å, соответственно среднему ионному диаметру в растворах HCl.

Определенные Робинсоном [5] при 25° коэффициенты активности растворов  $\text{NaF}$  превосходно передаются тем же уравнением с  $a = 3,7$ . Это значение среднего диаметра было использовано для вычисления  $\gamma_{\text{NaF}}$  в исследуемых растворах при разных температурах. Было принято, что коэффициент активности иона фтора равен той же величине.

Коэффициенты активности  $\text{SiF}_6^{4-}$  были интерполированы из данных Рийса Хадлестона [13] для растворов той же ионной силы. Температурной зависимостью коэффициента активности мы были вынуждены пренебречь, но это не могло оказать существенного влияния на результаты.

Моляльности ионов  $\text{F}^-$  и  $\text{SiF}_6^{4-}$  были приняты равными исходным моляностям  $\text{NaF}$  и  $\text{Na}_2\text{SiF}_6$  в исследованных смесях.

Важнейшим источником ошибок расчета константы равновесия является недостаточная определенность индивидуальных коэффициентов активности отдельных ионов, в особенности  $\text{SiF}_6^{4-}$ . Учитывая сходство ионов  $\text{Na}^+$  и  $\text{F}^-$ , можно надеяться, что принятое предположение  $\gamma_{\text{F}^-} = \gamma_{\text{Na}^+} = \gamma_{\text{NaF}}$  вряд ли содержит значительную ошибку, но так как эта величина входит в константу равновесия в шестой степени, то влияние этой ошибки значительно усиливается.

Ошибка в  $E - E^\circ$  на  $\pm 0,2$  mV соответствует ошибке в рН на  $\pm 0,0035 - 0,004$  и ошибке в константе равновесия на  $\pm 3,5\%$ . Меньшее значение могли иметь ошибки в концентрации растворов. Вычисление теплоты гидролиза для каждого пятиградусного интервала приводит к значительным относительным ошибкам, в связи с относительно малым изменением  $\lg K$  в таком интервале. Так, например, в интервале 15—20° ошибка в  $\lg K$  на 0,01 соответствует ошибка в  $\Delta H$ , равная  $\sim 0,77$  ккал. Все же эти расчеты были сделаны, чтобы характеризовать отсутствие значительных случайных колебаний в отдельных значениях  $\lg K$ .

Несмотря на то что не вполне достоверен третий десятичный знак величин рН и  $\lg \gamma$ , в расчетах  $\lg K$  был использован и четвертый знак, так как изменение с более или менее верно передает температурную зависимость величин.

Данные измерения и результаты расчетов приведены в табл. 3 и 4.

Таблица 3

$$m_1 = 0,09669; m_2 = 0,003969; m_3 = 0,001127; \Gamma = 0,21946; \lg \gamma_{\text{SiF}_6^{4-}} = 1,456$$

°C	$E - E^\circ$ милливольты	$\lg \gamma_{\text{Cl}^-}$	рН	$\lg \gamma_{\text{F}^-}$	$\lg K$	$\Delta H$ ккал.
15	503,50	1,885 <sub>8</sub>	5,744 <sub>7</sub>	1,880 <sub>8</sub>	27,464	18,0
20	508,81	1,885 <sub>0</sub>	5,684 <sub>9</sub>	1,879 <sub>8</sub>	27,397	17,3
25	514,24	1,884 <sub>0</sub>	5,629 <sub>1</sub>	1,878 <sub>7</sub>	27,613	17,2
30	519,72	1,883 <sub>0</sub>	5,575 <sub>7</sub>	1,877 <sub>7</sub>	27,821	16,0
35	525,40	1,882 <sub>0</sub>	5,527 <sub>4</sub>	1,878 <sub>3</sub>	28,008	

Для 15—35°  
 $\Delta H = 17,14$



Таблица 4

$$m_1 = 0,1080; m_2 = 0,00348; m_3 = 0,001127; \Gamma = 0,2392; \lg \gamma_{\text{SiF}_6} = 1,435$$

С	$E-E^\circ$ милливольты	$\lg \gamma_{\text{Cl}^-}$	pH	$\lg \gamma_{\text{F}^-}$	$\lg K$	$\Delta H$ ккал
5	508,36	$\overline{1,882}_4$	5,826 <sub>3</sub>	$\overline{1,876}_9$	$\overline{27,180}$	18,1
10	513,77	$\overline{1,881}_5$	5,766 <sub>4</sub>	$\overline{1,875}_9$	$\overline{27,414}$	17,6
15	519,23	$\overline{1,880}_6$	5,709 <sub>9</sub>	$\overline{1,874}_9$	$\overline{27,634}$	17,1
20	524,80	$\overline{1,879}_6$	5,656 <sub>5</sub>	$\overline{1,873}_8$	$\overline{27,841}$	17,4
25	530,29	$\overline{1,878}_5$	5,603 <sub>9</sub>	$\overline{1,872}_7$	$\overline{26,045}$	
						Для 15—35° $\Delta H = 17,56$

Вычисленные значения  $\Delta H$  имеют тенденцию к понижению их при повышении температуры. Так как парциальная молярная теплоемкость ионных электролитов обычно отрицательна, а в процессе гидролиза число ионов резко возрастает, то можно было бы ожидать даже несколько более резкого падения  $\Delta H$  при повышении температуры.

Точность экспериментальных данных недостаточна, чтобы оценить величину  $\Delta C_p$ . Из изменения  $\lg K$  в интервале 15—35°,  $\Delta H = 17,14, 17,56$ ; в среднем 17,30 ккал.

Теплота реакции для 25° может быть принята равной среднему значению для интервала 20—30°. Изменения  $\lg K$  в этом интервале хорошо ходятся в обеих сериях измерений:  $\Delta \lg K = 0,0424$  (табл. 3) и 0,0427 (табл. 4). Этим значениям соответствует  $\Delta H_{298} = 17,23, 17,36$ ; среднее 17,3 ккал.

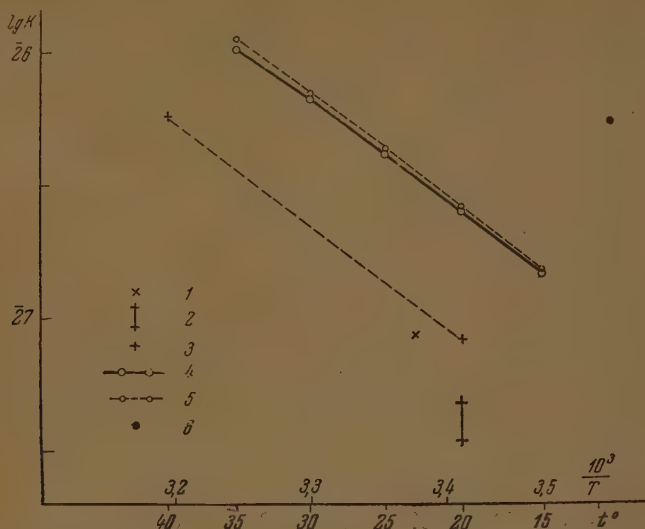
### Обсуждение результатов

На рисунке представлены значения логарифма константы гидролиза как функция  $\frac{1}{T}$ . Полученные разными методами данные удовлетворительно сходятся между собой. Наиболее резко выпадает значение  $\lg K$ , вычисленное из кинетических измерений степени гидролиза  $\text{Na}_2\text{SiF}_6$  [7].

Во всех методах источником ошибок расчета являлась оценка индивидуальных коэффициентов активности ионов фтора и  $\text{SiF}_6^{2-}$ . Ошибка в  $\gamma_{\text{F}^-}$  могла играть большую роль в измерениях, проведенных в растворах KF (табл. 2).

В данных табл. 2 дополнительными источниками ошибок могла являться ошибка в вычислении активности насыщенных растворов соответствующих гексафторосиликатов; можно полагать, что для  $\text{Na}_2\text{SiF}_6$ , в связи с большой растворимостью, оценка  $\gamma$  менее точна; помимо того и само значение растворимости  $\text{Na}_2\text{SiF}_6$  менее точно. Эти же данные искажаются и диффузионными потенциалами. В связи с тем, что подвижности ионов  $\text{K}^+$  и  $\text{F}^-$  отличаются между собой значительно более, чем подвижности ионов  $\text{Na}^+$  и  $\text{F}^-$ , диффузионные потенциалы могли иметь большую величину в данных табл. 2. Вероятно, они преувеличивали pH и преуменьшали вычисленное значение  $\lg K$ . Наконец, при измерениях в более концентрированных растворах могла наблюдаться и солевая ошибка хингидронного электрода.

Наиболее надежны данные табл. 3 и 4. Несмотря на наличие указанных ошибок и на то, что в каждом методе измерений применялись различные образцы гидратированной кремнекислоты, наибольшее расхождение  $\lg K$  при  $20^\circ$  равно 0,8. Это соответствует расхождению в  $\Delta H$  равному 1,07 ккал.



1 — вычислено из измерений Кубелька и Пржистоуила;  
2 — вычислено из измерений И. Г. Рысса и Н. П. Бакиной;  
3 — табл. 2; 4 — табл. 3; 5 — табл. 4; 6 — из степени гидролиза  $\text{Na}_2\text{SiF}_6$ .

Так как мало вероятно, чтобы влияние отмеченных выше ошибок было направлено против влияния изменения свойств образцов гидратированной кремневой кислоты, можно полагать, что возможные различия свободной энергии различных образцов гидратированной кремневой кислоты не превосходят этой величины.

Значение стандартной максимальной работы и приращения энтропии процесса гидролиза могут быть вычислены из среднего для табл. 3 и 4 значения

$$\lg K_{298} = 27,623 \text{ и } \Delta H_{298}^0 = 17,3 \text{ ккал};$$

$$\Delta F_{298}^0 = -RT \ln K = \frac{4,575 \cdot 298,1 \cdot 26,377}{1000} = 35,97 \text{ ккал};$$

$$\Delta S_{298}^0 = \frac{\Delta H_{298}^0 - \Delta F^0}{298} = -62,6 \text{ кал/}^\circ\text{C}.$$

### Выводы

1. Произведен уточненный пересчет известных ранее данных о равновесии гидролиза  $\text{SiF}_6^{''}$ .

2. Из измерений pH насыщенных гексафторосиликатом калия растворов фтористого калия вычислены константы гидролиза  $\text{SiF}_6^{''}$  при  $20^\circ$  и  $40^\circ$ . Значения  $\lg K$  при  $20^\circ$  удовлетворительно сходятся с найденными ранее  $\Delta H = 17,6$  ккал.



3. Из измерений pH в цепях без переноса вычислены значения константы равновесия и  $\Delta H$  при 15—35°;  $\Delta H_{298}^0 = 17,3$  ккал;  $\Delta F_{298}^0 = 35,97$  ккал,  $\Delta G_{298}^0 = -62,6$  кал.

4. Незначительное расхождение результатов измерений  $\lg K$ , проведенных с различными образцами  $\text{SiO}_2$ , указывает на сравнительно небольшое различие термодинамических свойств различных образцов дегидрированной кремневой кислоты. Возможные изменения свободной энергии их не превышают 1 ккал.

Металлургический институт  
им. И. В. Сталина  
Днепропетровск.

Поступила  
13.III.1950

#### ЛИТЕРАТУРА

- P. Kubelka, Pristoupil. Zs. anorg. allg. Chem., 197 391, 1931.  
М. Г. Рысс, Н. П. Бакина, ДАН, 2, 19, 1936.  
Landolt-Börnstein, Phys.-chem. Tabell., Erg. B. III, 2146.  
Karagunis, Hawkinson, Damköhler, Zs. phys. Chem., A 151, 433, 1930.  
R. Robinson, Journ. Amer. Chem. Soc., 63, 628, 1941.  
R. Ivett, T. de Vries, Journ. Amer. Chem. Soc., 63, 2821, 1941.  
И. Г. Рысс, Журн. общ. хим., 16, 331, 1946.  
И. Г. Рысс, Журн. физ. хим., 14, 571, 1940.  
И. Г. Рысс, Журн. физ. хим. 21, 197, 1947.  
Landolt-Börnstein, Phys.-Chem. Tabell. Erg. B. II, 1121.  
H. Harned, Wright, Journ. Am. Chem. Soc., 55, 4849, 1933.  
H. Harned, Owen, The Physical Chemistry of Electrolytic Solutions, N. Y., 1943.  
A. Rees, L. Hudleston, Journ. Chem. Soc., 1648, 1931.

## К ТЕОРИИ ВОДОРОДНОЙ СВЯЗИ В ДИМЕРАХ КАРБОНОВЫХ КИСЛОТ

*М. А. Ковнер и В. А. Чуенков*

Наличие потенциальной кривой с двумя минимумами характерно для многих физических задач. Так, например, все неплоские молекулы, содержащие, так и не содержащие одинаковые атомы, имеют два одинаковых потенциальных минимума, соответствующие двум положениям равновесия ядер. Одно из них получается из другого путем инверсии всех ядер в центре тяжести [1]. У всех таких молекул наблюдается инверсионное удвоение колебательных уровней, ведущее к расщеплению колебательных частот, что находит свое проявление в спектрах.

Наиболее подробно эта проблема рассмотрена на примере молекулы  $\text{NH}_3$  [2], [3]. Кроме того, могут быть случаи, когда в поле с двумя потенциальными минимумами движется не какой-либо атом, а электрон. Известным примером является  $\text{H}_2^+$ . Другим примером служат колебания электрона в кристаллической решетке щелочных галогенидных кристаллов, в которой имеются незанятые ионами узлы\*. Эти колебания электрона приводят к смещению частот в спектрах поглощения кристаллов и должны, по видимому, играть роль в теории так называемых М-центров.

Но особое значение приобретает теория потенциальных кривых с двумя минимумами в связи с проблемой водородной связи, встречающейся, как ныне установлено, во многих молекулах и кристаллах. В полимерах и различного рода ассоциатах атом водорода колеблется в поле двух электроотрицательных атомов (F, O, N, Cl).

Остановимся на краткой характеристике имеющихся работ [2, 3]. В этих работах для аналитической аппроксимации хода потенциальной энергии выбирались функции, при помощи которых возможно решение колебательного уравнения Шредингера и таким образом, выбор этих функций носил формальный характер. Тем не менее полученные при их помощи результаты оказались практически мало зависящими от выбора той или иной функции. Необходимо далее отметить, что если при помощи таких функций удалось удовлетворительно интерпретировать инверсионное удвоение в  $\text{NH}_3$ , то для трактовки расщепления уровней, вызываемого наличием двух минимумов, например в димерах карбоновых кислот, являющихся предметом настоящего исследования, эти функции непригодны по следующей причине: если в  $\text{NH}_3$  по мере удаления атома N от положений равновесия в сторону больших значений высоты пирамиды энергия стремится к некоторому конечному предельному значению, соответствующему энергии отрыва атома N, то в димерах карбоновых кислот энергия атома Н стремится к бесконечности при приближении его к одному из атомов О. По этой причине в настоящей работе построена еще одна потенциальная функция с двумя минимумами, соответствующая физическим условиям задачи. Далее сделана попытка сопоставления теории с имеющимися экспериментальными данными, в частности предпринято вычисление высоты потенциального барьера в димерах кислот на основании их спектров комбинационного рассеяния.

### Теория резонансного расщепления колебательных уровней в димерах карбоновых кислот

Ход потенциальной кривой, вдоль которой движется атом Н в димере, может быть удовлетворительно описан при помощи простой формальной функции вида:

$$U = D \left( 1 - \frac{4z^2}{R^2} \right)^2, \quad (1)$$

\* Пример принадлежит доц. М. И. Кац.

$D$  — высота потенциального барьера,  $R$  — расстояние между двумя минимумами, равное в нашем расчете  $0,7 \text{ \AA}$ ,  $z$  — расстояние атома от симметричной точки (рис. 1). Стояния  $O \dots O$  и  $O-H$  приняты равными  $2,7$  и  $1 \text{ \AA}$  соответственно [4]. Хотя  $z = \pm 1,35 \text{ \AA}$  функция и не обращается в бесечность, но она достигнет большой величины  $\sim 196 D$ , что делает ее такой же мере приемлемой, как функцию Морзе в двухатомных молекулах. Можно весьма просто выслить расщепления колебательных уровней, пользуясь формулой Л. Д. Индау и Е. М. Лифшиц

По аналогии с электронными уровнями  $H_2$  и колебательными уровнями  $H_2$ , колебательные уровни  $(COOH)_2$  образуют систему уровней, симметричных и антисимметричных в отношении к отражению в срединной плоскости. Согласно [5], расщепление  $i$ -го уровня равно

$$E_i - E_i' =$$

$$= \frac{h\nu_i}{\pi} e^{-\frac{2\pi}{h} \int_{z=-a_i}^{z=a_i} \sqrt{2M(E_i - U)} dz} \quad (2)$$

где  $\nu_i$  — механическая частота колебаний на  $i$ -ом нерасщепленном уровне,  $M$  — масса протона,  $E_i$  — энергия  $i$ -го нерасщепленного уровня. Показанное на рис. 1 расстояние

$$a_i = \frac{R}{2} \sqrt{1 - \sqrt{\frac{E_i}{D}}}$$

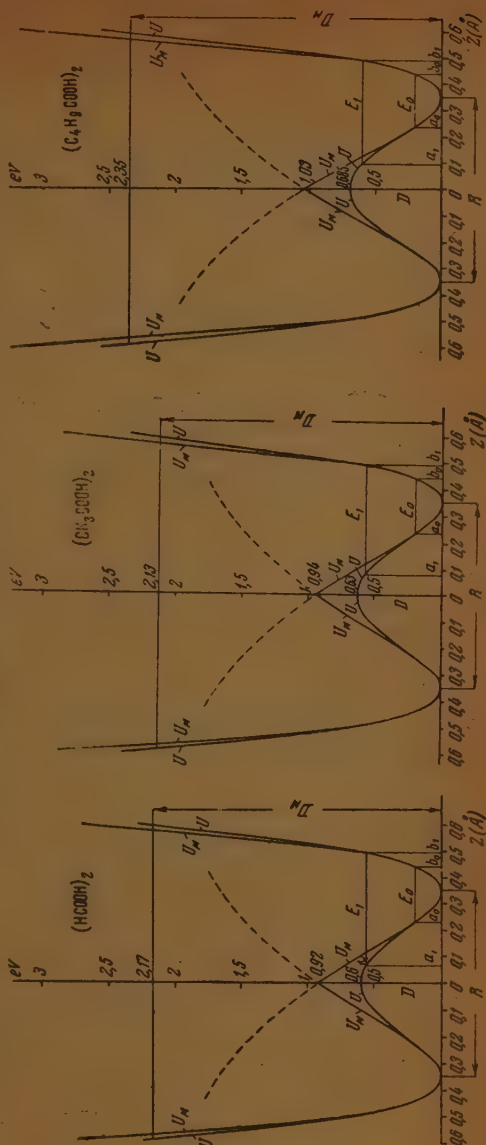


Рис. 1

Так как использование уравнения (2) предполагает знание величины  $E_i$  для одной потенциальной ямы, то мы вынуждены аппроксимировать функцию (1) двумя пересекающимися кривыми типа Морзе:



$$U_M = D_M \left( 1 - e^{-\Lambda \left( \frac{R}{2} - z \right)^2} \right), \quad z > 0,$$

$$U_M = D_M \left( 1 - e^{-\Lambda \left( \frac{R}{2} + z \right)^2} \right), \quad z < 0.$$

Функция (1) обладает, однако, тем существенным преимуществом, для нее

$$\left( \frac{dU}{dz} \right)_{z=0} = 0.$$

Далее,

$$v_e = \frac{A}{2\pi} \sqrt{\frac{2D_M}{M}}.$$

Из (1) находим, что

$$\left( \frac{d^2 U}{dz^2} \right)_{z=\pm \frac{R}{2}} = \frac{32D}{R^2}.$$

Приравнивание вторых производных функций (1) и (3) дает

$$A = \frac{4}{R} \sqrt{\frac{D}{D_M}} \quad \text{и} \quad v_e = \frac{2}{\pi R} \sqrt{\frac{2D}{M}};$$

соответственно

$$E_i = \frac{2h}{\pi R} \sqrt{\frac{2D}{M}} \left( v_i + \frac{1}{2} \right) - \frac{2h^2}{\pi^2 R^2 M} \frac{D}{D_M} \left( v_i + \frac{1}{2} \right)^2. \quad (6)$$

Уравнения (5) обеспечивают точное совпадение кривых (1) и (3) вблизи минимумов. Графики функций (1) и (3) показаны на рис. 1. Для вычисления разностей типа (2) необходимо, далее, обратиться к вычислению значений  $v_i$ , отличающихся от  $v_e$  и принимающих различные значения при различных значениях колебательного квантового числа  $v_i$  ([5, стр. 195]):

$$v_i = \frac{1}{\sqrt{2M} \int_{a_i}^{b_i} \frac{dz}{\sqrt{E_i - U}}} = \sqrt{\frac{2D}{M}} \frac{\sqrt{1 + \sqrt{\frac{E_i}{D}}}}{F\left(\frac{\pi}{2}, k_i\right)}, \quad (7)$$

где  $a_i$  указано выше,  $b_i = \frac{R}{2} \sqrt{1 + \sqrt{\frac{E_i}{D}}}$ ,  $F$  — эллиптический интеграл первого рода и

$$k_i = \sqrt{\frac{2 \sqrt{\frac{E_i}{D}}}{1 + \sqrt{\frac{E_i}{D}}}.$$

Интеграл

$$I_i = \int_{z=-a_i}^{z=a_i} \sqrt{|E_i - U|} dz = \frac{R}{3} (1 - \xi_i) \sqrt{D(1 + \xi_i)} \left\{ \frac{h_i^2 - 1}{h_i^2} F\left(\frac{\pi}{2}, h_i\right) + \frac{h_i^2 + 1}{h^2} E\left(\frac{\pi}{2}, h_i\right) \right\}, \quad (8)$$

$F, E$  — полные эллиптические интегралы \*

$$\xi_i^2 = \sqrt{\frac{E_i}{D}} < 1, \quad h_i^2 = \frac{1 - \xi_i^2}{1 + \xi_i^2}.$$

значительно формула (2) принимает вид:

$$E_i - E_i^* = \frac{h}{\pi R} \sqrt{\frac{2D}{M}} \cdot \frac{\sqrt{1 + \sqrt{\frac{E_i}{D}}}}{F\left(\frac{\pi}{2}, k_i\right)} e^{-\frac{2\pi}{h} \sqrt{2M} I_i} \quad (9)$$

$E_i$  дано в (6) и  $I_i$  в (8).

Пологая  $i = 0, 1$ , пользуясь (6), (9) и (8), мы сможем вычислить энергии  $E_{1-} - E_{1+}$ ,  $E_{0-} - E_{0+}$  и

$$\Delta = (E_{1-} - E_{1+}) - (E_{0-} - E_{0+}) = (E_{1-} - E_{0-}) - (E_{1+} - E_{0+}) \quad (10)$$

функции величины  $D$ , если будет задано отношение  $\frac{D}{D_M}$ , о чем сказано ниже.

### Определение высоты потенциального барьера по спектральным данным

Для этой цели необходимо знать экспериментальные значения величин расщеплений уровней О — Н связи в димерах кислот.

Таких конкретных данных в литературе нет. М. П. Батуев [6] дает две частоты колебания О — Н связи в димере муравьиной кислоты: 2942 и 2956  $\text{см}^{-1}$ , уксусной: 2990 и 3028  $\text{см}^{-1}$ , изовалериановой: 3120 и 3185  $\text{см}^{-1}$ . Эти частоты наблюдаются в спектрах комбинационного рассеяния, причем появление дублетов М. П. Батуев объясняет резонансным сцеплением, вызываемый взаимодействием колебаний атомов водорода двух одинаковых гидроксильных групп в димере. Нетрудно видеть, что такое объяснение не может быть принято. Действительно, представим себе потенциальную энергию молекулы, соответствующую колебаниям атомов водорода гидроксильных групп в виде:

$$U_H = \frac{kp^2}{2} + \frac{kq^2}{2} + k_{12}pq, \quad (11)$$

где  $p$  и  $q$  — смещения атомов Н из положений равновесия. Введя координаты

$$P = \frac{p+q}{2}, \quad Q = \frac{p-q}{2}, \quad (12)$$

приведем (11) к виду:

$$U_H = \alpha P^2 + \beta Q^2. \quad (13)$$

\* Не смешивать обозначение  $E\left(\frac{\pi}{2}\right)$  с энергией  $E_i$ .

Формула (8) любезно предоставлена нам проф. Саратов. гос. ун-та Н. Г. Чудаковым, за что авторы выражают ему свою благодарность.

Молекулы кольцевых димеров карбоновых кислот принадлежат к группам симметрии  $C_{2h}$ . Разложение приводимого представления колебательных движений на неприводимые имеет вид:

$$\Gamma_v = 9A_g + 4A_u + 3B_g + 8B_u. \quad (1)$$

Координаты (12) соответствуют симметричному и антисимметричному колебаниям атомов Н в гидроксилах (рис. 2).  $\nu_s$  принадлежит представлению  $A_g$  и активна в спектре комбинационного рассеяния, а  $\nu_a$  принадлежит представлению  $B_u$  и активна в инфракрасном спектре. Следовательно, в спектре комбинационного рассеяния должна наблюдаться только одна частота  $\nu_s$ . Однако вследствие наличия двух потенциальных минимумов каждый из уровней энергии, соответствующих частоте, расщепляется на два (рис. 3).

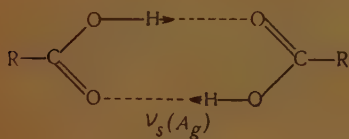


Рис. 2

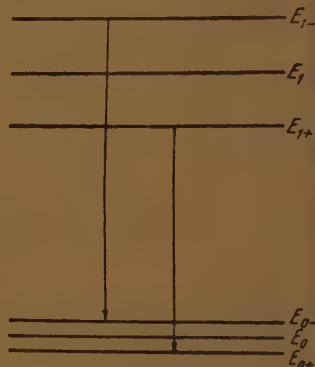
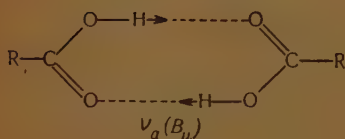


Рис. 3

Можно предположить, что наблюдаемые М. И. Батуевым дублеты непосредственно соответствуют переходам  $1^+ \rightarrow 0^+$  и  $1^- \rightarrow 0^-$  в согласии с правилами отбора для спектра комбинационного рассеяния. Тогда для разностей вида  $\Delta$  получим значения 14, 38 и  $65 \text{ см}^{-1}$  для  $(\text{HCOOH})$ ,  $(\text{CH}_3\text{COOH})_2$  и  $(\text{C}_4\text{H}_9\text{COOH})_2$  соответственно.

Как показывают вычисления Уолла и Глоклера [3], расщепление колебательных уровней несимметрично, т. е.  $E_{i-} - E_i \neq E_i - E_{i+}$ . Однако для предварительной оценки величины  $D$  по данным М. И. Батуева можно этим пренебречь и положить, что  $E_1 - E_0 = 2949$ , 3009 и  $3152,5 \text{ см}^{-1}$  для трех кислот соответственно. При помощи этих численных значений и формулы (6) определим  $\frac{D}{D_M}$ , а вслед за тем значения  $E_0$  и  $E_1$  в ординатах в функции  $D$ . Тогда оказывается возможным выполнить вычисление по формулам (9) и (10), т. е. найти зависимость разностей  $E_{1-} - E_{1+}$ ,  $E_{0-} - E_{0+}$  и  $\Delta$  от  $D$ . Графики зависимости  $\Delta$  от  $D$  для всех трех кислот представлены на рис. 4. По этим графикам найдем, что значениям  $\Delta = 14, 38$  и  $65 \text{ см}^{-1}$  отвечают значения

$$D = 1,135; 0,995 \text{ и } 0,94 \text{ eV}. \quad (1)$$

Но эти значения, повидимому, следует считать завышенными по следующим причинам.

Если бы были известны экспериментальные данные по скорости образования или распада димеров карбоновых кислот, то энергию активации можно было бы вычислить. Но ввиду их отсутствия можно лишь



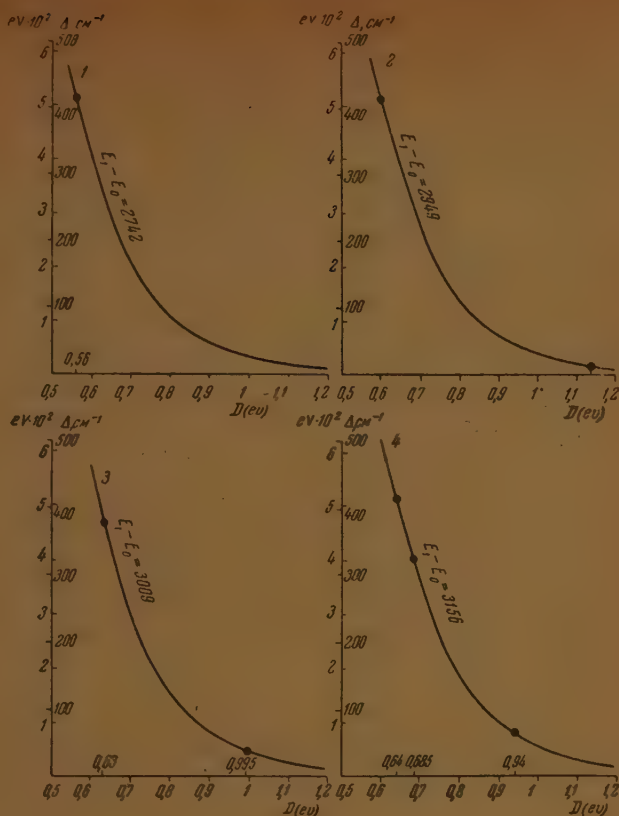


Рис. 4

иблизительно сравнить энергию активации, необходимую для перехода ама Н от одного атома О к другому с энергией активации сходных процессов, например, кетозольных превращений, отношения скоростей торых, по Райсу [7], при  $0^\circ$  и  $10^\circ\text{C}$  равно трем. Отсюда легко вы- снить, что энергия активации равна  $0,73\text{ eV}$ . Латимер [8] нашел для иоты потенциального барьера в случае льда  $0,4\text{ eV}$ , а Кетелаар [9] для  $\text{HF}_2$  даже  $0,31\text{ eV}$ . Правда, данные Кетелаара не заслуживают дове- я, так как в его работе расчет не приводится, и, кроме того, он на- м для расстояния  $\text{HF}$  значение  $0,78\text{ \AA}$ , тогда как в действительности о равно  $0,95\text{ \AA}$ .

С другой стороны, М. И. Батуев [10] нашел для муравьиной кислоты ачения высоты потенциального барьера, равное  $0,78\text{ eV}$ , а для других иот, начиная с пропионовой,  $1,0\text{ eV}$ . Эти значения также следует итать завышенными по изложенным выше соображениям. Кроме того, ичет М. И. Батуева вызывает следующие возражения: 1) параметры кривых орае ( $a$  и  $D$  в обозначениях М. И. Батуева) выражаются по известным ормулам через частоту бесконечно малых колебаний, тогда как М. И. Ба- ев подставил в эти формулы частоты оптических переходов, что равно- ьно пренебрежению ангармоничностью. 2) Эта погрешность, как еко проверить, привела к преувеличенным значениям расстояний ОН оответственно к преувеличенным расстояниям между потенциальными инимумами. 3) Заранее нет уверенности в том, что зависимость между

энергией связи и частотой ОН для соединений различной химической природы будет выражаться одной плавной кривой, как это предположено М. И. Батуевым в отличие от его утверждения о глубоко различии электронной структуре радикала ОН в различных химических соединениях. 4) Наличие угловой точки при пересечении кривых Морзе приводит к переоценке величины барьера. Это видно из рис. 1.

Однако можно предположить, что М. И. Батуевым правильно устанавливается закономерное возрастание величины  $D$  в ряду кислот, тогда и последовательность (15) обратная. По этой причине, а также ввиду того, что значения (15) являются, как уже сказано, повидимому, завышенными, рассмотрим еще другой возможный вариант интерпретации дублетов М. И. Батуева. Предположим, что последние представляют собой составные частоты, возникающие в результате комбинирования частот переходов между расщепленными уровнями ОН с частотами водородной связи. Это предположение находится в общем согласии с новой частотно-модельной теорией М. И. Батуева [11], в которой тем не менее отсутствовало объяснение наблюдаемых ранее дублетов.

Далее, естественно, возникает вопрос о численных значениях  $\omega$  в ряду кислот. Ранее эта частота предполагалась характеристической. Однако в работе В. М. Чулановского и П. Д. Симовой [12] показано, что  $\omega = 200$  см<sup>-1</sup> для муравьиной кислоты и 170 см<sup>-1</sup> для уксусной. В силу одинаковой химической природы атомов, участвующих в образовании водородной связи, ее силовые постоянные также можно считать примерно равными. Отсутствие же характеристичности следует объяснить главным образом тем, что, в отличие от гипотезы Е. Ф. Гросса и В. И. Валькова [13],  $\omega$  определяется не массами атомов кислорода, а приведенной массой димера в целом. Колебания вдоль водородной связи следует рассматривать как трансационные колебания двух мономеров относительно друг друга, причём группа ОН увлекает за собой остальные атомы мономера, который в этом случае можно рассматривать как жесткую систему. Из сказанного следует, что в гомологическом ряду должно приближенно соблюдаться соотношение:

$$\omega \sim \frac{1}{\sqrt{\mu}}, \quad (1)$$

где  $\mu$  — приведенная масса димера. Для первых двух членов ряда (1) оправдывается на опыте. Его интересно проверить для всего ряда. В случае  $(\text{CCl}_3\text{COOH})_2$  из (16) следует, что  $\omega = 102$  см<sup>-1</sup>, тогда как В. М. Чулановский и П. Д. Симова нашли 124 см<sup>-1</sup>. Но в этом случае отклонение от (16) легко объяснить влиянием полярной группы  $\text{CCl}_3$ .

Возвращаясь к дублетам М. И. Батуева и обозначая для краткости  $E_1 - E_0 = \Delta_-$  и  $E_1 - E_0 = \Delta_+$ , предположим, что имеют место соотношения:

$$\begin{aligned} 1. \quad (\text{HCOOH})_2 \quad 2942 &= \Delta_+^a + \omega^a, \\ &2956 = \Delta_-^a - \omega^a. \end{aligned} \quad (1)$$

$$\begin{aligned} 2. \quad (\text{CH}_3\text{COOH})_2 \quad 2990 &= \Delta_+^b + \omega^b, \\ &3028 = \Delta_-^b - \omega^b. \end{aligned} \quad (1)$$

$$\begin{aligned} 3. \quad (\text{C}_4\text{H}_9\text{COOH})_2 \quad 3120 &= \Delta_+^c + \omega^c, \\ &3185 = \Delta_-^c - \omega^c. \end{aligned} \quad (1)$$

$\omega^a = 200$ ,  $\omega^b = 170$  и  $\omega^c = 130$  см<sup>-1</sup> по (16). Из (17), (18) и (19) найдем, что  $\Delta^a = \Delta^b - \Delta^c = 414$ ;  $\Delta^b = 378$  и  $\Delta^c = 325$ . По этим данным по 4 (2, 3, 4) найдем, что  $D^a = 0,60$ ;  $D^b = 0,63$  и  $D^c = 0,685$  eV\*. Эти значения  $D$  отвечают вычисленные по формуле (9) расщепления:

$$E_1^a - E_0^a = 422, E_0^a - E_0^b = 8; E_1^b - E_1^c = 385, \\ E_0^b - E_0^c = 7; E_1^c - E_1^d = 330, E_0^c - E_0^d = 5 \text{ см}^{-1}.$$

Теперь значения  $D$  возрастают в порядке, установленном Батуевым. Если принять во внимание несимметричность расщеплений [3], то разности  $E_1 - E_0$  в случае муравьиной кислоты возможны все значения в пределах 2742—3156 см<sup>-1</sup>. Этим крайним значениям отвечают кривые 1 и 4 на рис. 4, из которых при  $\Delta = 414$  следует что  $D^a = 0,56$  (65). Аналогичные поправки к  $D^b$  и  $D^c$  в (20) не превысят  $\pm 0,05$  eV. В то же время из рис. 1 видно, что значения  $D$ , вычисленные по расщеплению кривых Морзе, значительно превышают (20), составляя 0,94; 1,03 eV, что вообще характерно для кривых, пересекающихся с образованием угловой точки.

### Выводы

1. Построена функция, описывающая ход потенциальной энергии проблеме двойного минимума.
2. При помощи этой функции вычислены расщепления колебательных уровней ОН в димерах карбоновых кислот в зависимости от высоты потенциального барьера.
3. Показано, что наблюдаемые М. И. Батуевым в спектрах рассеяния этих кислот дублеты могут быть объяснены, как переходы между расщепленными уровнями ОН или как составные частоты, возникающие путем бицирования частот упомянутых переходов с частотой водородной связи, причем вторая интерпретация представляется более вероятной.
4. На основе второго предположения и численных значений полученных М. И. Батуевым частот сделана оценка высоты потенциального барьера в димерах муравьиной, уксусной и изовалериановой кислот.

Государственный  
университет им. Н. Г. Чернышевского  
Кафедра теоретической физики  
Саратов

Поступила  
31. III. 1950

### ЛИТЕРАТУРА

- Герриерр. Колебательные и вращательные спектры многоатомных молекул, стр. 239.  
Morse a. Stueckelberg, *Helv. Phys. Acta*, **4**, 337, 1931.  
Dennison a. Uhlenbeck, *Phys. Rev.*, **41**, 313, 1932.  
Rosen a. Morse, *Phys. Rev.*, **42**, 210, 1932.  
Manning, *Journ. Chem. Phys.*, **3**, 136, 1935.  
Wall a. Glocker, *Journ. Chem. Phys.*, **5**, 314, 1937.  
Я. К. Сыркин и М. Е. Дяткина. Химическая связь и строение молекул, 1946, стр. 327—328.  
Л. Д. Ландау и Е. Л. Лифшиц. Квантовая механика, ОГНЗ, 1948, стр. 209.  
М. И. Батуев, *ДАН*, **59**, 1117, 1948.  
Ф. О. Райс, Механизм гомогенных органических реакций, ОНТИ, 1935, стр. 76.  
Batimer, *Chem. Rev.*, **44**, 59, 1949.  
Kataclare, *Les spectres moléculaires*, Paris, 1947, p. 136.  
М. И. Батуев, *Журн. физ. хим.*, **23**, 1405, 1949.  
М. И. Батуев, *Журн. физ. хим.*, **23**, 1399, 1949.  
В. М. Чулаковский и Н. Д. Симова, *ДАН*, **68**, 1033, 1949.  
Е. Ф. Гросс и В. И. Вальков, *ДАН*, **68**, 1013, 1949.

\* При определении  $D^c$  использована кривая 4 в пренебрежении различием между значениями 3152,5 и 3156.



## СПЕКТРЫ ПОГЛОЩЕНИЯ И ЭЛЕКТРОПРОВОДНОСТЬ РАСТВОРОВ НИТРОНАФТОЛОВ В ЖИДКОМ АММИАКЕ

*Н. М. Дыхно и А. И. Шатенштейн*

Настоящая работа является продолжением выполненных в нашей лаборатории исследований, посвященных изучению комплексов ароматических нитросоединений с основаниями [1—5].

Мы установили [3], что полосы в спектрах поглощения растворов нитро- и п-нитрофенолятов в жидком аммиаке смещены по сравнению с их положением в спектрах водных растворов тех же веществ, и приписали это образованию комплексов между ионами нитрофенолята и растворителем, являющимся сильным основанием.

Аналогичные эффекты были обнаружены при измерении спектров поглощения растворов нитро- и полинитрофенолятов в безводном гидразине [4] и в органических средах, содержащих анионы очень слабых кислот (типа иона энолята ацетона). Как безводный гидразин, так и анионы слабых кислот относятся к числу сильных оснований, и это согласуется с предложенным объяснением причины изменений в спектрах поглощения.

Характер изменений в спектрах растворов нитрофенолятов в жидком аммиаке не одинаков у разных изомеров. В частности, длинноволновая полоса особенно сильно смещена в случае метанизомера, причем в отличие от остальных изомеров интенсивность поглощения меньше, чем в водном растворе. Эти отличия мы приписывали тому, что в противоположность орто- и паранитрофеноляту в метанитрофеноляте затруднен обмен электронами между нитро- и оксигруппами. В таком случае у метанизомера сплоскор оксигруппы будет более отрицательным, чем у орто- и параизомеров.

Вследствие низкой диэлектрической постоянной жидкого аммиака в растворах электролитов образуются ионные пары. Согласно приведенному рассуждению в растворе метанизомера ионные пары должны возникать с большей легкостью, чем в растворе других изомеров. Поэтому следует ожидать наиболее низкой электропроводности раствора метанизомера. Это было подтверждено измерениями [3].

Нам казалось интересным проверить, в какой мере закономерности, установленные при изучении нитрофенолятов, подтверждаются, если обратиться к растворам нитронафтолятов в жидком аммиаке.

Ниже описаны результаты измерений спектров поглощения водных аммиачных растворов 4-нитро-1-нафтолята, 2-нитро-1-нафтолята, 1-нитро-2-нафтолята и 8-нитро-2-нафтолята, электропроводности растворов этих веществ и 5-нитро-1-нафтолята в жидком аммиаке при 25 и —78°. Для сопоставления со спектром 4-нитро-1-нафтолята в этой работе был дополнительно измерен спектр раствора *n*-нитрофенолята в области коротких волн, а также на примере спектров *m*-нитрофенолята и 2,4-динитрофенолята подтверждено, что изменения в спектрах, вызываемые жидким аммиаком, являются обратимыми.

### ЭКСПЕРИМЕНТАЛЬНАЯ ЧАСТЬ

Мы пользовались следующими препаратами:

Вещество	Препарат и очистка	Темпер. плавл. °C
1-Нитро-2-нафтол	Перекристаллизован 1 раз из спирта	102,4
2-Нитро-1-нафтол	Синтезирован и очищен *	129

\* В. А. Сусловым.

1-Нитро-4-нафтол	То же	166,6
3-Нитро-2-нафтол	»	145,9
1-Нитро-5-нафтол	»	169,5
<i>n</i> -Нитрофенол	«(ли аналитич. целей». Пере- кристаллизован 2 раза из воды	113,8
<i>m</i> -Нитрофенол	«Индикатор»	96
2,4-Динитрофенол	«Индикатор» перекристалл. 1 раз из воды	114

## Измерения спектров поглощения растворов

### Методика измерений

Измерения спектров поглощения выполнены на спектрографе (размер пластины  $\times 18$ ) в области спектра от 2400 Å (поглощение жидкого аммиака) до 4500 Å. В качестве кювет для аммиачных растворов служили стеклянные тройники с кварцевыми законпараллельными окошками, закрепленными в стальных муфтах сплавом Вуда. Устройство кювет и методика приготовления растворов в жидком аммиаке описаны в [6]. Места равных почернений в спектре раствора и растворителя, ослабленного створом разных раскрытий, определяли при помощи визуального фотометра. Каждая кривая получена на основании измерений с несколькими отдельно приготовленными растворами разных концентраций порядка  $10^{-4}$  —  $10^{-6}$  мол/л. Это соответствует различным обозначениям на рис. 1—8.

Спектр водных растворов снимали в наборе кювет Шайбе. Спектром сравнения служил спектр растворителя (0,005 *N* NaOH), ослабленный створом с раскрытием, равным 10%.

### Спектры поглощения растворов изомеров нитронафтолята в разбавленной водной щелочи

Представляет интерес сопоставление спектров водных растворов изомеров нитронафтолята не только со спектрами их аммиачных растворов, но и со спектрами водных растворов изомеров нитрофенолята, а также со спектрами некоторых других производных нафталина.

Из сравнения спектров водных щелочных растворов 4-нитро-1-нафтолята и *n*-нитрофенолята видно, что наличие второго кольца вызывает сдвиг видимую область и небольшое увеличение интенсивности поглощения и приводит к выявлению коротковолнового максимума.

Спектры ионов 1-нитро-2-нафтолята и 2-нитро-1-нафтолята значительно отличаются друг от друга: в спектре первого вещества имеется три, а в спектре второго вещества две полосы. К спектру ортонитрофенолята ближе спектр 1-нитро-2-нафтолята.

В табл. 1 сопоставлены положения максимумов ( $\lambda_{\text{макс}}$ ) в  $\text{m}\mu$  и интенсивности ( $\lg \epsilon_{\text{макс}}$ ) полос нитрофенолятов и нитронафтолятов.

Различия в спектрах 1,2- и 2,1-производных нафталина уже ранее отметили Ходжсон и Хэтвей [8]. Так, в спектре спиртового раствора 1-нитронафтиламина имеются три полосы, тогда как в спектре 2-нитро-1-нафтиламина присутствуют только две полосы. Эти различия можно наблюдать также в спектрах простейших производных нафталина: спектры  $\alpha$ -изомеров ( $\alpha$ -нафтиламин [8],  $\alpha$ -нитронафталин [8],  $\alpha$ -нафтолят [9]) в области 220 до 400  $\text{m}\mu$  состоят из двух полос; спектры соответствующих  $\beta$ -изомеров в той же области длин волн имеют по три полосы (табл. 2). Следовательно, число полос в спектрах 1,2- и 2,1-нитронафтиламинов и нитронафтолятов определяется положением амино- или оксигруппы в нафталиновом кольце.

Сравнивая спектры поглощения соответствующих изомеров нитронафтолята и нитронафтиламина, мы обратили внимание на то, что сходным является не только число полос, но и их положение и интенсивность. Как видно из табл. 3, та же закономерность в общем справедлива, судя по лите-

Таблица

## Сравнение спектров изомеров нитрофенолята и нитронафтолята

Вещество	1-я полоса		2-я полоса		3-я полоса	
	$\lambda_{\text{макс}}$	$\lg \epsilon_{\text{макс}}$	$\lambda_{\text{макс}}$	$\lg \epsilon_{\text{макс}}$	$\lambda_{\text{макс}}$	$\lg \epsilon_{\text{макс}}$
n-Нитрофенолят . . . . .	398	4,26	266	3,40	—	—
4-Нитро-1-нафтолят . . . . .	450	4,45	325*	3,39	285	3,8
o-Нитрофенолят [7] . . . . .	412	3,66	285	3,65	250	3,6
1-Нитро-2-нафтолят . . . . .	430	3,46	330	3,50	265	3,9
2-Нитро-1-нафтолят . . . . .	450	4,05	290	4,15	—	—

\* Полоса слабо выражена.

Таблица 2

## Сравнение спектров монопроизводных нафталина

Вещество	1-я полоса		2-я полоса		3-я полоса	
	$\lambda_{\text{макс}}$	$\lg \epsilon_{\text{макс}}$	$\lambda_{\text{макс}}$	$\lg \epsilon_{\text{макс}}$	$\lambda_{\text{макс}}$	$\lg \epsilon_{\text{макс}}$
$\alpha$ -Нитронафталин [8] . . . . .	342	3,59	243	4,02	—	—
$\alpha$ -Нафтиламин [8] . . . . .	325	3,71	245	4,36	—	—
$\alpha$ -Нафтолят [9] . . . . .	335	3,85	245	4,40	—	—
$\beta$ -Нитронафталин [8] . . . . .	352	3,44	307	3,92	259	4,40
$\beta$ -Нафтиламин [8] . . . . .	346	3,23	283	3,79	240	4,76
$\beta$ -Нафтолят [8] . . . . .	350	3,48	280	3,81	240	4,78

Таблица 3

## Сопоставление спектров поглощения фенолята и анилина, нафтолятов и нафтиламинов и их нитропроизводных

Вещество	1-я полоса		2-я полоса		3-я полоса	
	$\lambda_{\text{макс}}$	$\lg \epsilon_{\text{макс}}$	$\lambda_{\text{макс}}$	$\lg \epsilon_{\text{макс}}$	$\lambda_{\text{макс}}$	$\lg \epsilon_{\text{макс}}$
Фенолят [7] . . . . .	288	3,35	—	—	—	—
Анилин [7] . . . . .	280	3,12	—	—	—	—
n-Нитрофенолят [7] . . . . .	398	4,26	260	3,40*	—	—
n-Нитроанилин [10] . . . . .	374	4,19	—	—	—	—
o-Нитрофенолят [7] . . . . .	412	3,66	285	3,65	250	3,67
o-Нитроанилин [10] . . . . .	404	3,73	275	3,71	—	—
m-Нитрофенолят [7] . . . . .	389	3,18	295	3,62	250	4,0
m-Нитроанилин [10] . . . . .	375	3,20	(233)	(4,26)	—	—
$\alpha$ -Нафтолят [9] . . . . .	335	3,85	245	4,40	—	—
$\alpha$ -Нафтиламин [8] . . . . .	325	3,71	245	4,36	—	—
$\beta$ -Нафтолят [9] . . . . .	350	3,48	280	3,81	240	4,78
$\beta$ -Нафтиламин [8] . . . . .	346	3,23	283	3,79	240	4,76
4-Нитро-1-нафтолят . . . . .	450	4,45	325	3,39*	285	3,83
4-Нитро-1-нафтиламин [8] . . . . .	443	4,18	—	—	269	3,94
1-Нитро-2-нафтолят . . . . .	430	3,46	330	3,50	265	3,95
1-Нитро-2-нафтиламин [8] . . . . .	420	3,73	324	3,61	(228)	(4,63)
2-Нитро-1-нафтолят . . . . .	450	4,05	290	4,15	—	—
2-Нитро-1-нафтиламин [8] . . . . .	447	3,94	280	4,27	—	—
8-Нитро-2-нафтолят . . . . .	450	3,63	350	3,29	270	4,08
8-Нитро-2-нафтиламин [8] . . . . .	427	3,46	347	3,43	275	4,22

\* Подъем кривой в этой области длин волн.



ными данным, и для спектров растворов изомеров нафтиламина и нафтолата, а также для анилина и фенолата и их нитропроизводных\*.

### Спектры поглощения растворов нитронафтолатов в жидком аммиаке

Подобно спектрам нитрофенолатов, спектры растворов нитронафтолатов в жидком аммиаке отличаются от спектров их водных растворов. Характер изменений не одинаков у различных изомеров. Длинноволновая полоса в спектре 4-нитро-1-нафтолата почти не меняет положения и лишь немного становится несколько интенсивнее. Зато в коротковолновой области выявляется новый максимум (рис. 1).

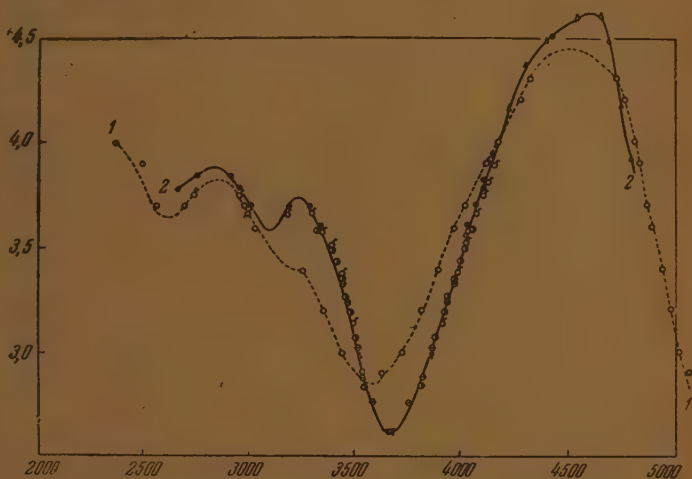


Рис. 1. Спектры поглощения растворов 4-нитро-1-нафтолата.  
1 — в водной щелочи (0,005 N) и 2 — в жидком аммиаке

В спектре *p*-нитрофенолата сдвиг и повышение интенсивности длинноволновой полосы более значительны. Небольшой подъем, наблюдаемый в коротковолновой части спектра водного раствора, разрешается в виде трех небольших максимумов (рис. 2).

Изменение в спектре 2-нитро-1-нафтолата сводится к довольно сильному сдвигу коротковолновой полосы в сторону длинных волн при значительном понижении ее интенсивности и к небольшому повышению интенсивности длинноволновой полосы (рис. 3).

В спектре 1-нитро-2-нафтолата растет интенсивность как длинноволновой, так и коротковолновой полосы и почти исчезает средняя полоса (рис. 4).

Таким образом, общим для спектров рассмотренной группы изомеров при переходе от водного к аммиачному раствору является повышение интенсивности длинноволновой полосы при незначительном изменении ее положения.

Напротив, спектр аммиачного раствора *m*-нитрофенолата отличается от спектра водного раствора сильным сдвигом длинноволновой полосы в том же направлении при одновременном уменьшении ее интенсивности. В области более коротких волн исчезает средняя полоса (рис. 5).

\* Амины растворены в спирте, а фенолы в разбавленной водной щелочи.

За отсутствием препаратов мы были лишены возможности измерить спектр 3-нитро-1-нафтолята и 4-нитро-2-нафтолята — прямых аналогов метанитрофенолята. Из изомеров, у которых нитро- и оксигруппа наход-

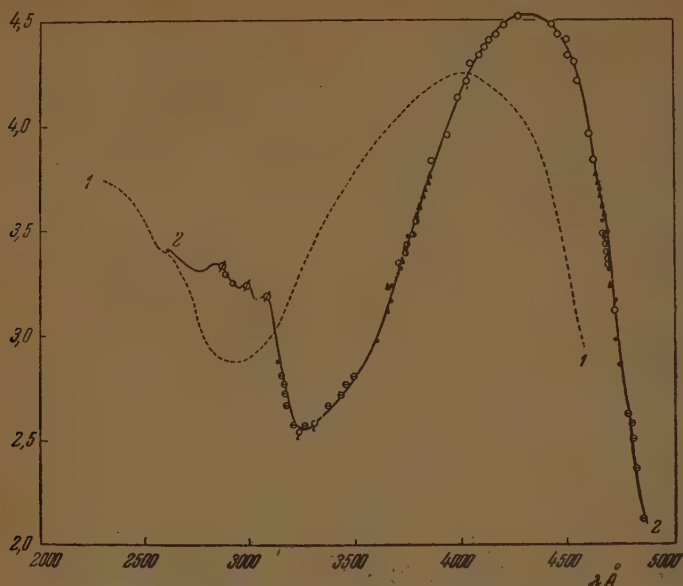


Рис. 2. Спектры поглощения растворов *p*-нитрофенолята. 1 — в водной щелочи (0,005*N*) и 2 — в жидком аммиаке.

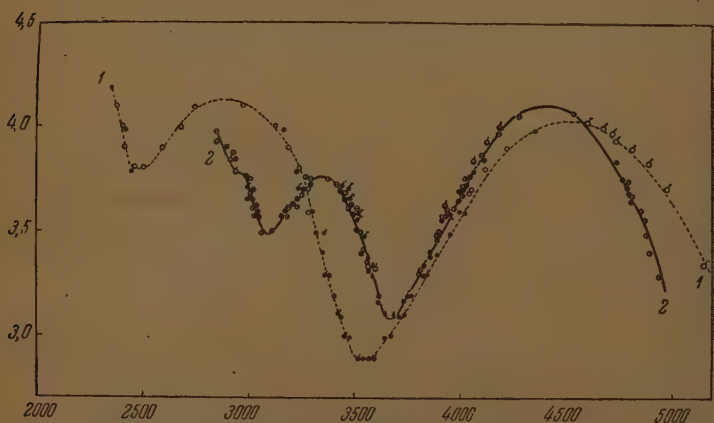


Рис. 3. Спектры поглощения растворов 2-нитро-1-нафтолята. 1 — в водной щелочи (0,005*N*) и 2 — в жидком аммиаке.

ся в разных кольцах, выполнены измерения только с 8-нитро-2-нафтолятом и сделаны качественные наблюдения относительно 5-нитро-1-нафтолята.

Имеющиеся в литературе данные позволяют предположить, что эти изомеры ближе стоят к метанитрофенолу, чем к орто- и параизомерам. Сравним константы ионизации ( $pK = -\lg K$ ) изомеров нитрофенолов [11] как кислот и нитроанилинов [12] как оснований в воде:

	Нитрофенол pK	Нитроанилин pK
орто . . . . .	7,25	14,2
пара . . . . .	7,25	12,9
мета . . . . .	8,28	11,4

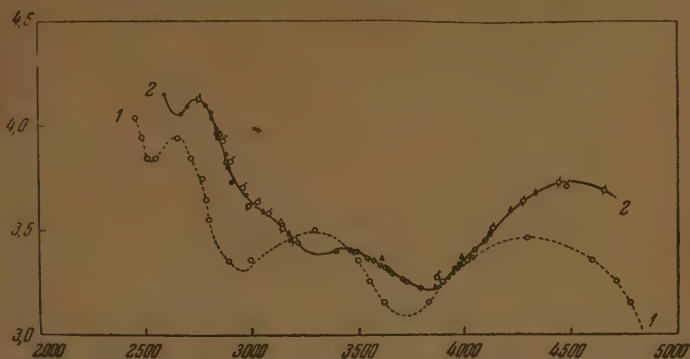


Рис. 4. Спектры поглощения растворов 1-нитро-2-нафтолята. 1 — в водной щелочи (0,005N) и 2 — в жидком аммиаке

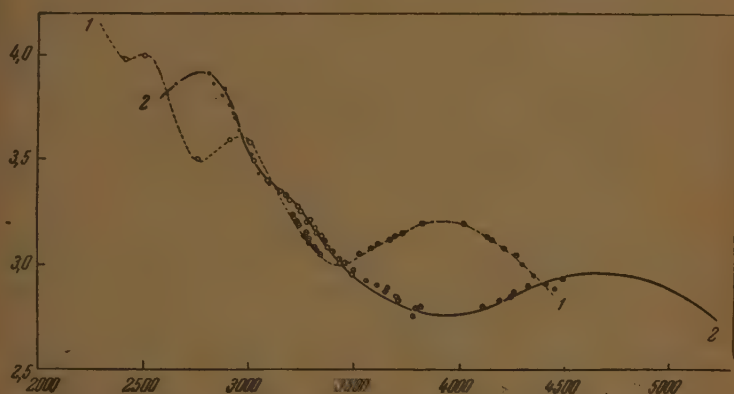


Рис. 5. Спектры поглощения растворов м-нитрофенолята. 1 — в водной щелочи (0,005 N) и 2 — в жидком аммиаке (проверка обратимости — черными точками отмечены измерения, проведенные в водной щелочи после обработки вещества аммиаком)

Кислотные свойства метанитрофенола выражены слабее, а основные свойства метанитроанилина выражены сильнее, чем у других изомеров. Как видно из следующих данных [12], изомеры 8-нитро-2-нафтиламин-5-нитро-1-нитроанилин, действительно, в своем поведении ближе метанафтиламину.

Нитронафтиламин	pK
2-NO <sub>2</sub> -1-NH <sub>2</sub> . . . . .	15,6
1-NO <sub>2</sub> -2-NH <sub>2</sub> . . . . .	15,0
4-NO <sub>2</sub> -1-NH <sub>2</sub> . . . . .	14,5
3-NO <sub>2</sub> -1-NH <sub>2</sub> . . . . .	11,73
4-NO <sub>2</sub> -2-NH <sub>2</sub> . . . . .	11,39
5-NO <sub>2</sub> -1-NH <sub>2</sub> . . . . .	11,2
8-NO <sub>2</sub> -2-NH <sub>2</sub> . . . . .	11,14

Соотношения, существующие для изомеров нитронафтиламина, должны быть в общем справедливы и для изомеров нитронафтола.



Сравним спектры 8-нитро-2-нафтолята в аммиачном и в водном растворе (рис. 6). Переход к жидкому аммиаку сопровождается сильным смещением длинноволновой полосы при понижении ее интенсивности. Средняя полоса становится слабо выраженной, т. е. изменения сходны с теми, которые претерпевает в жидком аммиаке спектр метанитрофенолята.

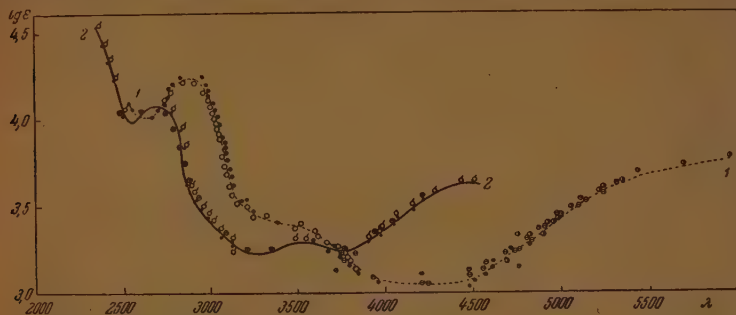


Рис. 6. Спектры поглощения растворов 8-нитро-2-нафтолята. 1—в водной щелочи (0,005 N) и 2 — в жидком аммиаке

Нами не были выполнены измерения спектров поглощения растворов 1-5-нитронафтола, однако качественное сравнение окраски растворов в водной щелочи и в жидком аммиаке свидетельствуют о сильных изменениях в видимой области спектра: в водной щелочи раствор оранжево-розовый, в жидком аммиаке раствор интенсивно синий, при добавлении кислоты (хлористого аммония) синий раствор делается фиолетово-розовым.

В табл. 4 представлены положения и интенсивности полос в спектрах поглощения водных и аммиачных растворов нитрофенолятов и нитронафтолятов.

Таблица 4

Сравнение спектров в воде и в жидком аммиаке

Вещество	Растворитель	1-я полоса				2-я полоса				3-я полоса			
		λ	Δλ	lgε	Δlgε	λ	Δλ	lgε	Δlgε	λ	Δλ	lgε	Δlgε
п-Нитрофенолят	Вода [7]	398	35	4,26	0,25	260*		3,40					
	Аммиак	433		4,51		307		3,18					
о-Нитрофенолят	Вода [7]	412	28	3,66	0,10	298		3,23		250		3,67	
	Аммиак	440		3,76		284		3,34					
м-Нитрофенолят	Вода [7]	389	85	3,18	-0,22	295		3,62		250		4,0	
	Аммиак	474		2,96		—		—		278	28	3,92	-0,08
4-Нитро-1-нафтолят	Вода	450	10	4,45	0,15	325		3,39		285		3,83	
	Аммиак	460		4,60		324	-1	3,73	0,34	285	0	3,88	0,05
1-Нитро-2-нафтолят	Вода	430	20	3,46	0,27	330		3,50		265		3,95	
	Аммиак	450		3,73		344	14	3,41	-0,09	275	10	4,13	0,18
2-Нитро-1-нафтолят	Вода	450	-10	4,05	0,05	—		—		290		4,15	
	Аммиак	440		4,10		334		3,76		295*	5	3,77	-0,38
8-Нитро-2-нафтолят	Вода	450	145	3,63	0,08	350		3,29		270		4,08	
	Аммиак	595		3,71		350*		3,38	0,09	290	20	4,24	0,16

\* Подъем кривой в этой области длин волн.

Изменения, наблюдающиеся в аммиачных растворах, не вызваны какими-либо химическими превращениями растворенного вещества, а объясняются только его обратимому взаимодействию с растворителем. В этом подтверждают результаты измерений спектров растворов метанитрофенолята, 4-динитрофенолята в водной щелочи до и после обработки вещества жидким аммиаком. Названные вещества выбраны потому, что изменения спектров их аммиачных растворов особенно разительны. Как видно из рис. 5 и 7, наблюдается полное наложение спектров водных щелочных растворов, полученных с веществами до и после их обработки жидким аммиаком.

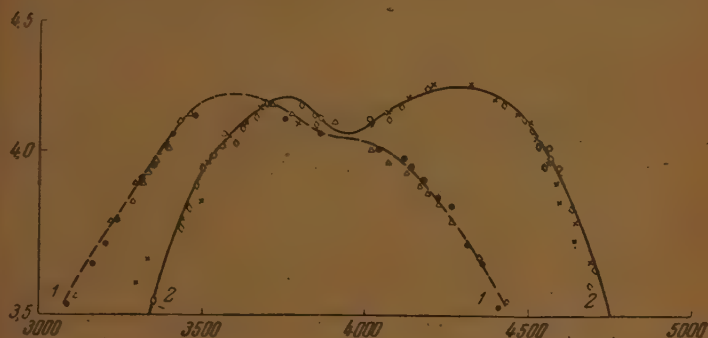


Рис. 7. Спектры поглощения растворов 2,4-динитрофенолята. 1 — в водной щелочи (0,005 N) и 2 — в жидком аммиаке (проверка обратимости — черными точками отмечены измерения, проведенные в водной щелочи с веществом, обработанным жидким аммиаком)

#### 6 изменение спектра раствора метанитрофенолята в жидком аммиаке при действии кислоты

В прежних работах [3, 4] уже указывалось, что предложенное нами объяснение причины сдвига полос в спектрах растворов нитрофенолятов растворителях с низкой диэлектрической постоянной не является единственно возможным. В многочисленных работах Гальбана и сотрудников [3] была выдвинута и защищалась гипотеза о том, что причиной сдвига полос в таких растворителях является ассоциация ионов с образованием ионных пар.

Поскольку в аммиачных растворах электролитов заведомо имеются ионные пары, требуется специально обосновать положение, что сдвиги полос в спектрах поглощения вызваны образованием комплексов кислотно-основного типа, а не наличием ионных пар. С этой целью ранее [4] были проведены измерения спектров нитрофенолятов в безводном гидразине. Диэлектрическая постоянная гидразина достаточно велика, чтобы можно было пренебречь образованием ионных пар в разбавленных растворах. С другой стороны, гидразин еще легче, чем аммиак, образует комплексы с ароматическими нитросоединениями. В работе было показано, что сдвиг длинноволновой полосы в спектрах гидразиновых растворов значительно превосходит его величину в спектрах аммиачных растворов. Следовательно, главной причиной сдвига надо считать образование комплексов кислотно-основного типа, а не ассоциацию ионов.

Дополнительным доводом в пользу такого вывода могут служить результаты измерения спектра растворов метанитрофенолята в жидком аммиаке в присутствии разных концентраций хлористого аммония \*.

\* См. также качественные данные об изменении цвета раствора 5-нитро-1-нафтола в жидком аммиаке при добавлении хлористого аммония (стр. 676).

Из рис. 8 видно, что полученные кривые занимают промежуточное положение между кривыми, характеризующими аммиачный и водный растворы метанитрофенолята в длинноволновой области спектра, при этом все кривые пересекаются в одной точке, что говорит о наличии равновесной реакции, смещаемой при действии кислоты. Повышение концентрации соли в растворе благоприятствует образованию ионных пар. Вместе с тем в противоречии с объяснением Гальбана, наблюдается сближение спектров поглощения раствора в жидком аммиаке со спектром раствора нитрофенолята в водной щелочи, а не углубление различия между ними.

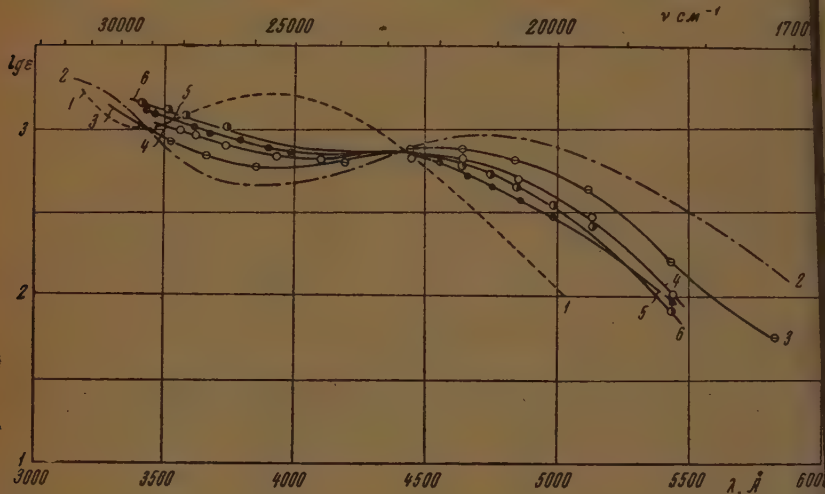
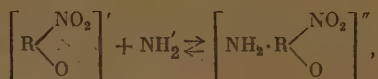


Рис. 8. Спектры поглощения растворов *m*-нитрофенолята. 1 — в водной щелочи (0,005 *N*), 2 — в жидком аммиаке, 3, 4, 5, 6 — в присутствии хлористого аммония: 3 —  $c_{\text{NH}_4\text{Cl}} = 3 \cdot 10^{-4} \text{ N}$ , 4 —  $c_{\text{NH}_4\text{Cl}} = 3 \cdot 10^{-3} \text{ N}$ , 5 —  $c_{\text{NH}_4\text{Cl}} = 2 \cdot 10^{-2} \text{ N}$ , 6 —  $c_{\text{NH}_4\text{Cl}} = 0,2 \text{ N}$ .

Если считать, например, что изменение спектра под влиянием жидкого аммиака вызвано равновесной реакцией типа



то, естественно, что добавление аммонийной соли приводит к уменьшению концентрации ионов  $\text{NH}_2'$  и смещает равновесие в сторону уменьшения концентрации комплекса.

#### Электропроводность растворов нитронафтолятов в жидком аммиаке

Измерения электропроводности растворов в жидком аммиаке выполнены ранее описанным методом [3]. Результаты измерений эквивалентной электропроводности растворов разных разведений (*V*) при 25 и  $-78^\circ$  и значения температурного коэффициента электропроводности  $\left( \frac{\Delta \lambda}{\Delta t} \right)$  представлены на рис. 9 и в табл. 5—7.



Таблица 5

Эквивалентная электропроводность растворов  
нитронафтаолов при 25°C

lgV	4-Нитро-1-нафтаол	2-Нитро-1-нафтаол	1-Нитро-2-нафтаол	1-Нитро-5-нафтаол	8-Нитро-2-нафтаол
1,7	237	91	49	67	41
2,0	261	111	87	79	53
2,5	307	159	130	116	82
3,0	352	227	189	171	129
3,5	388	304	266	244	194
4,0	413	369	343	319	277

Так же как и в случае нитрофенолятов, электропроводность разных изомеров нитронафтаолята далеко неодинакова: так, при 25° и  $V = 50$  эквивалентная электропроводность раствора 4-нитро-1-нафтаолята в пять

Таблица 6

Эквивалентная электропроводность растворов нитронафтаолов  
при -78°C

lgV	4-Нитро-1-нафтаол	2-Нитро-1-нафтаол	1-Нитро-2-нафтаол	1-Нитро-5-нафтаол	8-Нитро-2-нафтаол
1,7	64	30	20	23	18
2,0	69	37	27	29	23
2,5	77	52	39	42	36
3,0	85	67	56	59	52
3,5	91	79	74	74	70
4,0	96	88	91	86	86

раз выше электропроводности раствора 8-нитро-2-нафтаолята. По электропроводности растворы изомеров могут быть расположены в виде следующего ряда:  $(4\text{-NO}_2, 1\text{-O}') > (2\text{-NO}_2, 1\text{-O}') > (1\text{-NO}_2, 2\text{-O}') > (1\text{-NO}_2, 5\text{-O}') > (8\text{-NO}_2, 2\text{-O}')$ . Положения в ряду 1-нитро-2-нафтаолята зависит от концент-

Таблица 7

Температурный коэффициент электропроводности растворов  
нитронафтаолов

lgV	1-Нитро-4-нафтаол	2-Нитро-1-нафтаол	1-Нитро-2-нафтаол	1-Нитро-5-нафтаол	8-Нитро-2-нафтаол
1,7	1,68	0,59	0,48	0,43	0,22
2,0	1,86	0,72	0,58	0,49	0,29
2,5	2,23	1,04	0,88	0,72	0,45
3,0	2,59	1,55	1,29	1,09	0,75
3,5	2,88	2,18	1,89	1,65	1,20
4,0	3,08	2,73	2,45	2,26	1,85

рации раствора. В предыдущей работе [3] мы уже сталкивались с подобными явлениями и останавливались на их возможном объяснении.

В конце ряда находятся изомеры, у которых окси- и нитро-группа находятся в разных кольцах, и спектры поглощения аммиачных растворов которых по сравнению с водными изменяются в видимой области наиболее сильно. Мы объясняли это тем, что смещение электронного облака оксигруппы к нитрогруппе, находящихся в разных кольцах, затруднен, как указывалось, это обстоятельство благоприятствует образованию ко-

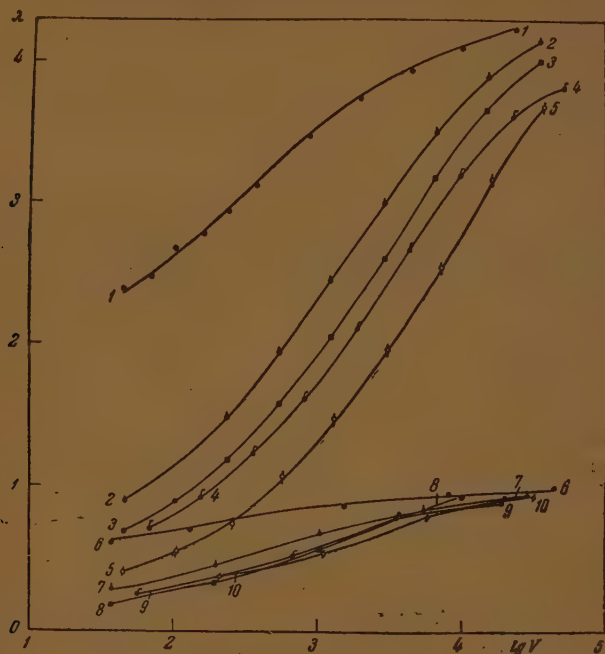


Рис. 9. Эквивалентная электропроводность растворов нитро-нафтолов в жидком аммиаке при 25 и  $-78^{\circ}\text{C}$ . 1 — 4-нитро-1-нафтолят (25°); 2 — 2-нитро-1-нафтолят (25°); 3 — 1-нитро-2-нафтолят (25°); 4 — 1-нитро-5-нафтолят (25°); 5 — 8-нитро-2-нафтолят (25°); 6 — 4-нитро-1-нафтолят ( $-78^{\circ}$ ); 7 — 2-нитро-1-нафтолят ( $-78^{\circ}$ ); 8 — 2-нитро-5-нафтолят ( $-78^{\circ}$ ); 9 — 1-нитро-2-нафтолят ( $-78^{\circ}$ ); 10 — 8-нитро-2-нафтолят ( $-78^{\circ}$ )

плекса. Возникновение же комплекса приводит к увеличению размера иона, что должно понизить электропроводность. Кроме того, от условий смещения электронного облака зависит заряд кислорода ионизированной оксигруппы; чем более отрицателен кислород ионизированной оксигруппы, тем легче должны возникать ионные пары и тем ниже будет электропроводность раствора.

Обращает на себя внимание тот факт, что электропроводность растворов 1-нитро-2-нафтолята мало отличается от электропроводности растворов 5-нитро-1-нафтолята. Но уже в прошлой статье [3] отмечалось, что нельзя пренебрегать возможной ионизацией комплекса и вызванным этим повышением электропроводности раствора изомера, дающего комплекс.

Заканчивая изложение, заметим, что данные, приведенные в этой работе, в общем согласуются с предложенным ранее схематическим и качественным объяснением явлений, наблюдающихся в аммиачных растворах нитрофенолятов. Однако раньше мы обращали внимание преимущественно на изменения, происходящие в длинноволновой части спектра. Сейчас показано, что и в коротковолновой области происходят сильные измене-

причем эти изменения наблюдаются и в спектрах изомеров, для которых образование комплекса менее вероятно.

### ВЫВОДЫ

1. Измерены спектры поглощения растворов 4-нитро-1-нафтолята, 1-нитро-2-нафтолята, 2-нитро-1-нафтолята, 8-нитро-2-нафтолята и разбавленной водной щелочи и в жидком аммиаке.
2. Измерена электропроводность растворов названных изомеров и 1-нитро-1-нафтолята в жидком аммиаке при 25 и  $-78^{\circ}\text{C}$ .
3. На примере метанитрофенолята и 2,4-динитрофенолята доказана асимметрия изменений спектров нитрофенолятов в жидком аммиаке.
4. Измерен спектр поглощения растворов метанитрофенолята в жидком аммиаке с добавлением хлористого аммония. Результаты измерений согласуются с объяснением, по которому причиной изменений спектра в длинноволновой области является образование комплекса кислотно-основного типа.
5. Отмечено сходство между спектрами фенолята и анилина и их нитропроизводных и между спектрами нафтолятов и нафтиламинов и их нитропроизводных.

Физико-химический институт  
им. Л. Я. Карпова  
Москва

Поступила  
3. IV. 1950

### ЛИТЕРАТУРА

- А. И. Шатенштейн, Е. А. Израилевич, Журн. физ. хим., 16, 73, 1942.  
А. И. Шатенштейн, А. Е. Израилевич, Журн. физ. хим., 13, 1791, 1939.  
Н. М. Дыхно, А. И. Шатенштейн, Журн. физ. хим., 22, 461, 1948.  
И. М. Варшавский, А. И. Шатенштейн, Журн. физ. хим., 22, 475, 1948.  
А. И. Шатенштейн, Я. М. Варшавский, Журн. физ. хим., 22, 529, 1948.  
Н. М. Дыхно, А. И. Шатенштейн, Журн. физ. хим., 20, 175, 1946.  
G. Kortüm, Zs. phys. Chem., B. 42, 39, 1939.  
H. H. Hodgson, D. E. Hathway, Trans. Farad. Soc., 41, 115, 1945; 43, 643, 1947.  
G. Ewig, E. Steck, Journ. Amer. Chem. Soc., 68, 2181, 1946.  
R. A. Morton, A. McGookin, Journ. Chem. Soc., 901, 1934.  
J. Kolthoff, Säure-BasenIndikatoren, 1932.  
A. Brison, Trans. Farad. Soc., 45, 257, 1949.  
H. v. Halban, Helv. Chim. Acta, 20, 746, 1937; 24, 38, 1941; 26, 771 1943; 31, 1963, 1948.



## ДИНАМИЧЕСКОЕ ДВОЙНОЕ ЛУЧЕПРЕЛОМЛЕНИЕ ЖИДКОСТЕЙ С ЦЕПНЫМИ МОЛЕКУЛАМИ

Э. В. Фрисман и В. Н. Цветков

Согласно современной теории, динамооптическая постоянная  $M$ , характеризующая двойное лучепреломление в потоке жидкости, состоящей из молекул с осью оптической симметрии, может быть выражена соотношением:

$$M = \frac{\Delta n}{g\eta} = \frac{(n^2 - 1)(n^2 + 2)}{30n} \cdot \frac{b_1 - 1/2(b_2 + b_3)}{b_1 + b_2 + b_3} \cdot \frac{P^2 - 1}{P^2 + 1} \cdot \frac{1}{\eta D}$$

Здесь  $\Delta n$  — величина двойного лучепреломления, наблюдаемого при градиенте скорости потока  $g$  и вязкости  $\eta$ ;  $n$  — показатель преломления жидкости;  $b_1, b_2, b_3$  — главные поляризуемости молекулы;  $P$  — отношение геометрических осей;  $D$  — постоянная вращательной диффузии молекул. Если представлять гидродинамическую модель молекулы в виде эллипсоида вращения, то

$$D = \frac{kT}{\eta\omega f},$$

где  $\omega$  — объем молекулы,  $f$  — коэффициент ее формы, зависящий только от  $P$ .

Измерение эффекта в ряде нормальных спиртов [1] показало, что экспериментальные значения  $M$  значительно меньше величин, которые получаются из формул (1) и (2). Кроме того, ход зависимости  $M$  от длины молекулярной цепи соответствует уравнению (1) лишь в области малых молекулярных весов, тогда как с ростом длины молекулы обнаруживает значительное отклонение. Эти отклонения экспериментальных результатов от предсказываемых теорией не являются неожиданными, так как последняя исходит из чисто гидродинамических соображений без учета структурных особенностей жидкости. В связи с этим в настоящей работе производилось сравнительное изучение динамооптического эффекта в жидких системах, построенных из молекул, сходных своей геометрической конфигурацией, но различающихся характером межмолекулярного взаимодействия.

### Аппаратура

Помимо гомологического ряда нормальных спиртов были изучены растворы тех же спиртов в циклогексаноле, а также ряд жирных кислот. Таким образом, в случае растворов мы имели систему с ослабленным межмолекулярным взаимодействием, тогда как в кислотах это взаимодействие усилено ассоциацией и водородной связью.

Измерения велись в хромированном цилиндрическом приборе с рубашкой водяного охлаждения и нагревания. При измерениях с чистыми спиртами и кислотами применялся зазор между ротором и статором 0,1 мм. Для исследования растворов спиртов был использован зазор 0,3 мм. В последнем случае измерения двойного лучепреломления производились с применением полутеневого метода. Компенсатором служила слюдяная пластинка 0,04  $\lambda$ .

## Полученные результаты

Зависимость  $\Delta n = f(g)$ , полученная для кислот и спиртов, представлена на рис. 1. Во всех случаях она оказывается прямолинейной. Такой же

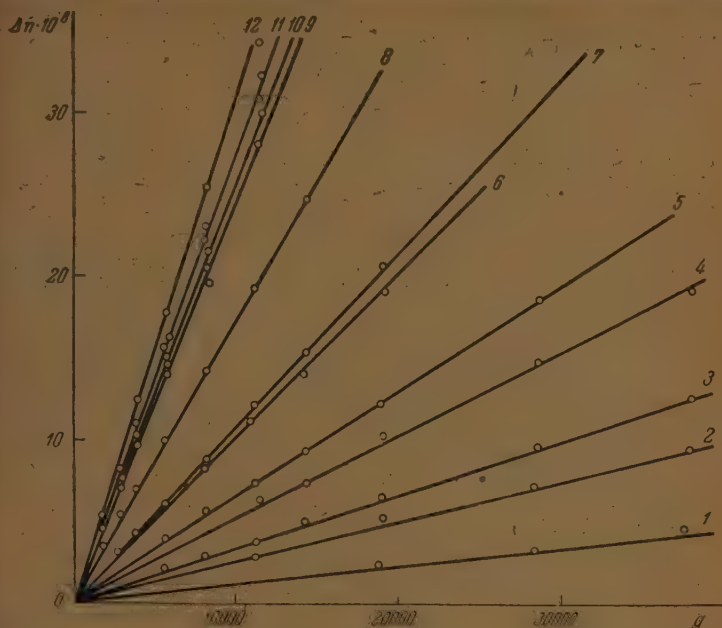


Рис. 1. Зависимость величины двойного лучепреломления от градиента скорости для ряда жирных кислот и спиртов

1 —  $C_6H_{13}OH$ ; 3 —  $C_7H_{15}OH$ ; 5 —  $C_8H_{17}OH$ ; 7 —  $C_9H_{19}OH$ ; 8 —  $C_{10}H_{21}OH$ ; 11 —  $C_{11}H_{23}OH$  и  $C_{16}H_{33}OH$ ; 9 —  $C_{18}H_{37}OH$  и  $C_{26}H_{53}OH$ ; 2 —  $H_7C_3OOH$ ; 4 —  $H_{11}C_5OOH$ ; 6 —  $H_{13}C_7OOH$ ; 10 —  $H_{17}C_9OOH$ ; 11 —  $H_{27}C_{14}OOH$  и  $H_{35}C_{18}OOH$ ; 12 —  $H_{31}C_{16}OOH$

д имеет эта зависимость и для растворов нормальных спиртов в циклогексаноле (рис. 2). Величины  $\frac{\Delta n}{g}$ , а также динамооптические постоянные  $M$ , численные из наклона прямых рис. 1, приведены в табл. 1. В последнем столбце таблицы приведены значения величины  $MT$ , которая, согласно уравнениям (1) и (2), зависит только от геометрических размеров и главных оптических характеристик молекулы. Здесь же приведены те же данные для нормальных спиртов.

При вычислении динамооптической постоянной  $M$  растворенного вещества мы исходили из предположения об аддитивности эффектов двойного лучепреломления растворителя и растворенного спирта, что приводит к зависимости:

$$M = \left( \frac{\Delta n}{g} \right) \frac{1}{\eta} \frac{1}{c_v} - \left( \frac{\Delta n}{g} \right)_0 \frac{1}{\eta_0} \frac{c_v^0}{c_v} \quad (3)$$

здесь  $\frac{\Delta n}{g}$  — отношение двойного лучепреломления раствора к соответствующему значению градиента скорости  $g$ ,  $\eta$  — вязкость раствора,  $c_v$  — объемная концентрация растворенного спирта,  $c_v^0$  — объемная концентрация растворителя (циклогексанол) в растворе;  $\left( \frac{\Delta n}{g} \right)_0$  — отношение двойного луче-

преломления к соответствующему градиенту скорости  $g$ , найденное в чистом растворителе,  $\eta_0$  — вязкость чистого растворителя.

В наших опытах для всех растворов:  $c_v = 11,3\%$ ;  $c_v^0 = 88,7\%$ . Изменение эффекта в чистом циклогексаноле дало возможность определить величину  $\left(\frac{\Delta n}{g}\right)_0 \frac{1}{\eta_0} \frac{c_v^0}{c_v} = 61,3 \cdot 10^{-12}$  для всех растворов.

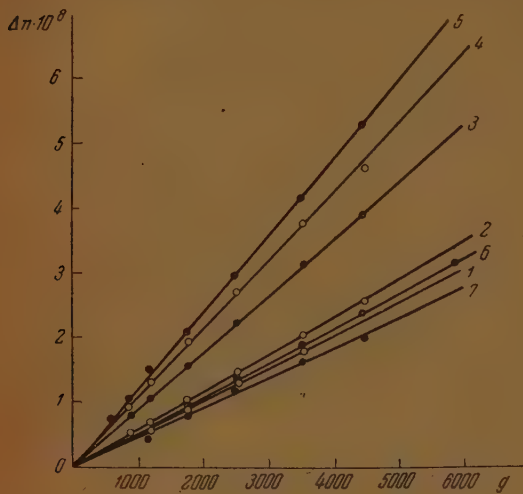


Рис. 2. Зависимость величины двойного лучепреломления от градиента скорости для растворов нормальных спиртов в циклогексаноле

1 —  $C_9H_{19}OH$ ; 2 —  $C_{10}H_{21}OH$ ; 3 —  $C_{14}H_{29}OH$ ; 4 —  $C_{16}H_{33}OH$ ; 5 —  $C_{16}H_{33}OH$ ; 6 —  $C_{26}H_{53}OH$ ; 7 — циклогексанол (растворитель)

Таблица 1

Динамооптические постоянные жирных кислот, нормальных спиртов и растворов нормальных спиртов

Название образца		$T^\circ$	$\eta$ пуазы	$\frac{\Delta n}{g} \cdot 10^{12}$	$\frac{\Delta n}{g \eta} \cdot 10^{14}$	МТ · 10
Жирные кислоты (предельные)	$H_7C_4OOH$ . . . . .	293	0,0173	2,47	14,2	41,6
	$H_{11}C_6OOH$ . . . . .	293	0,0270	5,15	19,1	56,0
	$H_{13}C_7OOH$ . . . . .	293	0,0430	10,1	23,5	69,9
	$H_{17}C_9OOH$ . . . . .	293	0,0918	26,1	28,5	83,4
	$H_{27}C_{14}OOH$ . . . . .	331	0,0779	27,0	34,6	115
	$H_{31}C_{16}OOH$ . . . . .	340	0,0864	30,6	35,0	119
	$H_{35}C_{18}OOH$ . . . . .	343	0,0848	27,4	32,3	111
Нормальные спирты	$C_6H_{13}OH$ . . . . .	293	0,0426	1,20	2,82	8,2
	$C_7H_{15}OH$ . . . . .	293	0,0664	3,35	5,04	14,7
	$C_8H_{17}OH$ . . . . .	293	0,0900	6,50	7,22	21,2
	$C_9H_{19}OH$ . . . . .	293	0,1115	10,7	9,60	28,1
	$C_{10}H_{21}OH$ . . . . .	293	0,1390	17,4	12,5	36,6
	$C_{14}H_{29}OH$ . . . . .	312	0,1300	27,5	21,1	65,7
	$C_{16}H_{33}OH$ . . . . .	324	0,1145	28,0	24,5	79,5
	$C_{18}H_{37}OH$ . . . . .	338	0,0968	25,2	26,0	88,0
	$C_{26}H_{53}OH$ . . . . .	365	0,0792	24,8	31,3	114
	$C_9H_{19}OH$ . . . . .	293	0,3990	5,10	1,28	15,2
Растворы спиртов в циклогексаноле	$C_{10}H_{21}OH$ . . . . .	293	0,4065	5,68	1,40	18,2
	$C_{14}H_{29}OH$ . . . . .	293	0,4510	8,75	1,94	32,3
	$C_{16}H_{33}OH$ . . . . .	293	0,4750	10,5	2,21	39,3
	$C_{18}H_{37}OH$ . . . . .	293	0,4870	11,7	2,42	44,8
	$C_{26}H_{53}OH$ . . . . .	318	0,1372	5,31	3,87	85,0
Циклогексанол (растворитель)		293	0,565	4,42	0,783	2,2



вычисленные по уравнению (3) динамооптические постоянные  $M$  спиртов в растворе, умноженные на соответствующие температуры, приведены в табл. 1. Величины  $MT$  для кислот, спиртов и спиртов в растворе представлены графически на рис. 3 в зависимости от  $Z$  — числа углеродных атомов в молекуле (кривые I, II, III). Здесь же представлена теоретическая кривая, вычисленная по уравнениям (1) и (2) (о значениях главных поляризуемостей молекул и коэффициентов формы см. работы [1] и [2]). Масштаб по оси  $MT$  уменьшен в 25 раз.

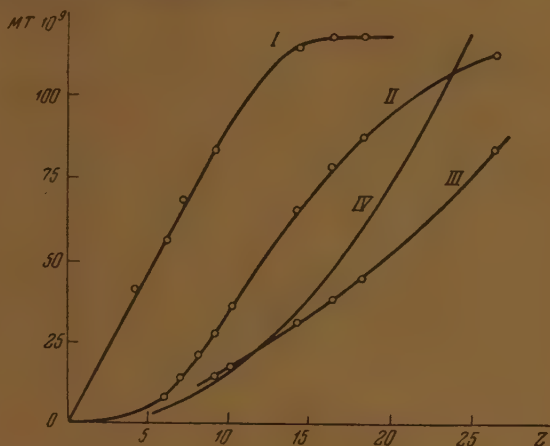


Рис. 3. Динамическое двойное лучепреломление в зависимости от числа углеродных атомов  $Z$  в молекуле. I — жирные кислоты; II — нормальные спирты; III — нормальные спирты в растворе; IV — теоретическая кривая (в масштабе, уменьшенном в 25 раз)

### Обсуждение результатов

Как показывает сравнение приведенных кривых, теоретические значения динамооптической постоянной во много раз превышают ее величины, полученные экспериментально. Так как значения главных поляризуемостей  $b_1$ ,  $b_2$  и  $b_3$  молекул с плоской парафиновой углеродной цепью известны достаточно хорошо [2], указанное обстоятельство означает, что коэффициенты вращательной диффузии молекул  $D$ , определяемые из эксперимента по двойному лучепреломлению в потоке, оказываются значительно больше, нежели их значения, которые можно получить теоретически из рассмотрения молекулы как жесткий эллипсоид и применяя к ней законы макроскопической гидродинамики.

Этот факт, обнаруживаемый, помимо того, и в других опытах (электрическая релаксация жидкостей в полях высокой частоты, акустическое двойное лучепреломление), можно было бы рассматривать как показатель того, что величина «микровязкости»  $\eta$ , входящая в формулу (2), меньше макроскопического значения вязкости жидкости. Впрочем, такому рассмотрению не следует придавать слишком большого количественного значения, поскольку и объем  $\omega$  и коэффициент формы  $f$  для частиц молекулярных размеров имеют довольно условное значение.

Сравнение кривых I, II, III позволяет сделать следующее замечание. Исследованной области значений  $Z$  кривая  $MT$  для кислот расположена выше, нежели для спиртов, а последняя выше, нежели для растворов. Удлинением молекулярной цепи кривые обнаруживают перегиб и тенденцию к «насыщению», наступающему для ряда кислот ранее, нежели для

спиртов. Таким образом, увеличение межмолекулярного взаимодействия приводит к возрастанию динамооптического эффекта для коротких цепных молекул. С ростом цепи это влияние становится менее заметным.

Этот факт существенно отличает явление анизотропии жидкости в токе от двойного лучепреломления в электрическом поле, которое, правило, уменьшается с возрастанием межмолекулярного взаимодействия (постоянная Керра, отнесенная к одной молекуле в жидкой фазе, обычно меньше, нежели в газообразной [3]). Причиной этого различия является, по видимому, то, что при динамическом двойном лучепреломлении идет не о силах, вращающих молекулу из положения равновесия, определяемого взаимодействием ее с близлежащими соседями (ближний порядок), как в случае ориентации в электрическом поле. Напротив, имеет движение окружающей молекулу среды вызывает и определяет ее кинетическую ориентацию в потоке. Поэтому увеличение межмолекулярного взаимодействия, которое у достаточно малых и жестких молекул может приводить к образованию молекулярных агрегатов и, следовательно, кажущемуся увеличению объема молекулы, должно способствовать возрастанию динамооптического эффекта. То обстоятельство, что с удлинением молекулярной цепи кривые обнаруживают тенденцию к «насыщению» означает, что парафиновые цепи, содержащие около двадцати углеродных атомов, в ламинарном потоке нельзя рассматривать, как вполне прямые и жесткие образования. При таких длинах молекулярных цепей начинает сказываться их изгибаемость. В менее концентрированном

Таблица 2

Времена релаксации анизотропии  $\tau$  нормальных спиртов и кислот

Название образца	$n$	$\lambda$	$\beta \cdot 10^{11}$	$\tau \cdot 10^{11}$
Жирные кислоты (предельные)	$H_7C_4OON$ . . . .	1,397	0,30	8,12
	$H_{11}C_6OON$ . . . .	1,414	0,30	7,79
	$H_{13}C_7OON$ . . . .	1,423	0,30	7,60
	$H_{17}C_9OON$ . . . .	1,433	0,30	7,16
	$H_{27}C_{14}OON$ . . . .	1,431	0,30	8,00
	$H_{31}C_{16}OON$ . . . .	1,430	0,30	7,90
	$H_{35}C_{18}OON$ . . . .	1,430	0,30	7,84
Нормальные спирты	$C_6H_{13}OH$ . . . .	1,418	0,17	8,28
	$C_7H_{15}OH$ . . . .	1,422	0,19	8,17
	$C_8H_{17}OH$ . . . .	1,428	0,21	7,97
	$C_9H_{19}OH$ . . . .	1,432	0,23	7,88
	$C_{10}H_{21}OH$ . . . .	1,434	0,24	7,85
	$C_{14}H_{29}OH$ . . . .	1,439	0,28	7,88
	$C_{16}H_{33}OH$ . . . .	1,438	0,29	8,52
	$C_{18}H_{37}OH$ . . . .	1,436	0,30	8,74
	$C_{26}H_{53}OH$ . . . .	1,436	0,35	8,79

стоянии (раствор) эта изгибаемость менее заметна (кривая 3 рис. 1, см. также цитированную работу [2]).

Характерно, что значения динамооптических постоянных, полученные для наиболее высокомолекулярных кислот и спиртов, по порядку величины близки к значениям  $M$ , найденным для других цепных молекул той же длины — триглицеридов различных растительных масел [4]. С другой стороны, динамооптические постоянные, найденные для ряда линейных высокомолекулярных полимеров [5], [6] (с длинами цепей в 100—1000 раз большими, нежели изучаемые в настоящей работе), на 2—3 порядка выше значений, соответствующих «насыщению», кривых рис. 1 и возрастают приблизительно пропорционально молекулярному весу полимера.

то это позволяет думать, что отрезок углеводородной цепи, содержащий 10—20 углеродных звеньев, в явлении динамического двойного лучепреломления следует рассматривать как среднюю «кинетическую единицу», в некоторой мере эквивалентную статистическим элементам, на которые может быть разбита статистически свернутая молекулярная цепь (данные, приведенные в табл. 1, могут служить для вычисления времени релаксации анизотропии в исследуемых жидкостях).

Как показал М. А. Леонтович [8], между динамооптической постоянной жидкости  $M$ , степенью деполаризации рассеянного ею света  $\Delta$ , сжимаемостью жидкости  $\beta$  и временем релаксации  $\tau$  существует зависимость:

$$M = \frac{\Delta n}{g\eta} = \frac{(n^2 - 1)(n^2 + 2)}{12n} \sqrt{\frac{\tau\beta}{\eta}} \sqrt{\frac{12\Delta}{6 - 7\Delta}}. \quad (4)$$

Выражение (4) имеет феноменологический характер и не зависит от применяемой молекулярной модели. Для вычисления  $\tau$  по уравнению (4) были использованы значения сжимаемостей  $\beta^*$ , найденные В. Н. Цветковым и А. Марининым [9] из ультразвуковых измерений и величины  $\Delta$  из их измерений.

Вычисленные таким образом значения  $\tau$  приведены в табл. 2. Из сравнения их видно, что время релаксации анизотропии быстро возрастает с удлинением молекулярной цепи и для наиболее длинных цепей порядок величины хорошо согласуется со значениями  $\tau$ , полученными триглицеридами по измерениям акустического двойного лучепреломления [10].

### Выводы

В работе производятся измерения двойного лучепреломления в потоке жидкостей: жирных кислот, нормальных спиртов и их растворов. Результаты измерений приводят к заключению, что отрезок линейной углеводородной цепи, содержащий 10—20 углеродных атомов, в явлении динамического двойного лучепреломления ведет себя, как «кинетическая единица». Опыты показывают, что увеличение межмолекулярного взаимодействия линейных молекул приводит к увеличению динамооптического эффекта. Полученные данные позволяют вычислить время релаксации оптической анизотропии исследованных жидкостей.

Ленинградский государственный университет  
им. А. А. Жданова  
Физический институт

Поступила  
19. IV. 1950

### ЛИТЕРАТУРА

- В. Н. Цветков и Э. В. Фрисман, ДАН, 67, 49, 1949.  
В. Н. Цветков и В. А. Маринин, ДАН, 62, 67, 1948.  
В. Н. Цветков и В. А. Маринин, ЖЭТФ, 18, 641, 1948.  
В. Н. Цветков, А. А. Миндлина и Г. И. Макаров, ЖЭТФ, 16, 891, 1946.  
В. Н. Цветков и А. И. Петрова, Журн. техн. физ., 14, 289, 1944; Журн. физ. хим., 23, 368, 1949.  
В. Н. Цветков и Э. В. Фрисман, ЖЭТФ, 15, 276, 1945; Журн. физ. хим., 21, 261, 1947.  
В. Н. Цветков, Вестн. Ленингр. ун-та, 1, 53, 1947.  
М. А. Леонтович, Journ. of Phys., 4, 499, 1941.  
В. Н. Цветков и В. А. Маринин, ДАН, 68, 49, 1949.  
В. Н. Цветков и В. Е. Эскин, ДАН, 67, 263, 1949.

\* Изотермическая сжимаемость  $\beta$  принималась на 20% больше найденной адiabатической.

## ПОДВИЖНОСТЬ АТОМОВ ВОДОРОДА В СОЛЯХ УКСУСНОЙ КИСЛОТЫ\*

Г. П. Миклушин

В органической химии известен ряд реакций, в которых соли той или иной кислоты, образованные различными металлами, реагируют различно. Например, галогидные алкилы образуют с азотисто-кислым калием преимущественно эфиры, а с азотисто-кислым серебром — нитропарафины.

В этой работе были исследованы обменные реакции между различными солями уксусной кислоты и тяжелой водой с целью выяснения влияния замены одного металла другим на изменение способности к изотопному обмену атомов водорода метильной группы кислотного остатка.

В литературе по этому поводу имеются указания [1] о том, что период обмена между уксусной кислотой, а также уксусно-кислым калием и тяжелой водой составляет больше чем 100 час. при 160°. Так же медленно обменивается и уксусно-кислый натрий [2]. Уксусно-кислое серебро [3] быстрее обменивает свои атомы водорода.

### Опыты

Для сравнения реакционности атомов водорода различных солей уксусной кислоты при реакциях водородного обмена применялась следующая методика. Навески сухих солей (высушенных в вакууме при 130—150°) и тяжелой воды запаивались в стеклянные ампулы и нагревались в печах, снабженных терморегуляторами и реле для поддержания в них постоянной температуры. После нагревания ампула вскрывалась и ее содержимое быстро переносилось в круглодонную колбу. Колба присоединялась к вакуумной рубашке, охлаждаемой жидким воздухом, и вода из пробы отгонялась в вакууме (7—10 мм) при температуре 130—150°. Полученные образцы воды после обмена очищались обычным способом и анализировались на содержание в них дейтерия ( $\Delta d_{\text{обм}}$  в единицах  $\gamma$  для плотности). Зная содержание дейтерия в исходной тяжелой воде ( $\Delta d_{\text{нач}}$ ), применяемой для обмена, по стехиометрическому уравнению обменной реакции, легко определить число атомов водорода соли X, обменивающихся на дейтерий.

Обозначив через  $M_B$  и  $M_C$  молекулярные веса воды и соли и через  $S$  веса их (в граммах), употребленные в опытах, найдем

$$\frac{S_B}{M_B} 2\Delta d_{\text{нач}} = \frac{S_B}{M_B} 2\Delta d_{\text{обм}} + \frac{S_C}{M_C} X \Delta d_{\text{обм}},$$

где 2 — число атомов водорода в воде. Из уравнения (1) следует

$$X = \frac{\frac{S_B}{M_B} 2(\Delta d_{\text{нач}} - \Delta d_{\text{обм}})}{\frac{S_C}{M_C} \Delta d_{\text{обм}}}.$$

\* Доложено на Украинской конференции по органической химии 13 октября 1949 года.



Таблица 1

Обменные реакции между тяжелой водой и уксуснокислыми солями натрия, кальция, бария, кадмита, кадмия, ртути и свинца\*

Талл Оли	Соотношение количеств соль/вода в г/г	Избыточная плот- ность воды в у		Время, часы	Темпера- тура, °C	Количе- ство обмен- явшихся атомов водорода
		до обмена	после обмена			
	7,0134/2,9151	2670	2405	24	150±3	0,4
	7,7048/3,0767	2000	1750	47,5	150±3	0,6
	7,2510/2,9514	2670	2250	69,5	150±3	0,7
	7,5210/3,0476	2000	1500	140	150±3	1,2
	7,4007/3,0008	2000	1290	199	150±3	2,0
	7,7288/3,0882	2500	1460	290	150±3	2,6
	10,5730/3,0113	2000	1665	72,5	150±3	1,05
	10,5666/3,5340	970	830	120	147±3	1,0
	27,1785/3,4347	1560	1480	48	150±3	0,2
	8,4627/3,6515	2500	2330	70	152±3	0,9
	27,7263/6,0367	2000	1770	96	150±3	0,8
	10,3735/3,2080	2500	2130	240	152±3	1,5
	7,2713/2,9990	970	850	27,5	154±3	1,1
	7,9163/3,0277	2000	1720	40,5	150±3	1,2
	7,5954/3,0179	2000	1620	70	150±3	1,8
	7,9084/3,0353	2000	1380	140,5	150±3	3,4
	8,1459/2,9640	2500	2345	6	150±3	0,6
	7,0135/2,8956	2500	2170	17,5	150±3	1,6
	8,0415/2,3212	970	755	24	150±3	1,8
	7,7026/3,0204	2000	1760	28,5	150±3	1,4(?)
	7,6175/2,8730	2500	1985	33,5	150±3	2,5
	8,6218/3,0768	970	740	46,5	150±3	2,8
	8,1760/3,4810	2000	1490	71,5	150±3	3,6
	7,9120/3,0648	2000	1430	72	152±3	3,9
	9,0459/3,0781	970	625	152	150±3	4,9
	10,2317/3,5365	2500	1560	210	150±3	5,9
	6,8204/2,7808	2500	2220	8	150±3	1,8
	6,7291/2,8083	970	870	11	150±3	1,7
	8,5002/2,9698	970	805	18	150±3	2,5
	7,7105/2,9744	2500	2030	24	150±3	3,2
	6,3847/2,4617	2500	2050	46	150±3	3,2(?)
	4,5194/2,6170	2500	2040	70	150±3	4,6
	30,4890/2,9456	1560	1070	45	120±2	1,6
	29,5235/3,0513	2000	1140	80	120±2	2,9
	28,4983/3,0370	1560	820	135	120±2	3,5
	34,7905/3,5159	1560	705	242	120±2	4,5
	28,7362/3,0067	1560	890	7,5	150±2	2,9
	28,6094/2,9787	1560	680	20,5	150±2	4,8
	31,4312/3,0236	2000	890	21,5	150±2	4,5
	23,9070/2,5454	2000	810	39,5	150±2	5,7
	22,5880/2,1430	1020	880	44,5	150±2	5,4
	29,6596/3,0945	2000	800	45	150±2	5,7
	29,4431/3,0360	2000	800	213	150±2	5,6
	26,1010/3,0488	7000	3150	21,0	150±2	5,6***

\* Различные экспериментальные погрешности приводят к возможным ошибкам в определении значений  $X$ , составляющим максимум  $\pm 0,2$  атома при абсолютном обмене в 2—3 атома водорода. При меньшем размере обмена эти ошибки не только снижаются.

\*\* При длительном нагревании уксуснокислая ртуть заметно разлагается, и соответствующие данные мало достоверны.

\*\*\* Прибавлено 1,0290 г  $\text{CH}_3\text{COONa}$ .

По этой формуле (2) и рассчитаны все данные о числах обменивающихся атомов водорода в солях, приведенные в табл. 1. Зависимость чисел обменивающихся атомов водорода от времени контакта с тяжелой водой графически представлена на рис. 1. Данные о полупериодах обмена найдены из кривых, изображенных на рисунке.

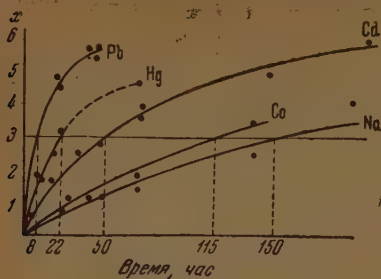


Рис. 1

ному обмену. Найденные экспериментально (рис. 1) полупериоды обмена исследованных солей при 150° приведены (в табл. 2).

Изученные менее подробно уксуснокислые соли кальция и бария обмениваются во всяком случае не быстрее уксуснокислого натрия.

Во всех опытах количество молей воды превышало количество молей соли в 2—3 раза. При таком соотношении смеси уксуснокислых свинца и натрия с водой представляли собой гомогенные растворы (в условиях опытов обмена). Во всех остальных случаях обмен происходил в гетерогенных двухфазных системах (раствор — твердая соль). Это различие физического состояния не объясняет различия в скоростях обмена, так как, во-первых, специально поставленные опыты, в которых применялись количества воды, достаточные для растворения солей, показали, что скорость обмена при этом заметно не изменяется, и, во-вторых, атомы водорода метильных групп уксуснокислых свинца и натрия обладают совершенно различной подвижностью, несмотря на то что обе соли обменивались в растворенном состоянии. Различная способность солей к водородному обмену не может быть приписана также и гидролизу некоторых из них, так как свободная уксусная кислота, как было указано выше, обменивается с тяжелой водой очень медленно даже в присутствии основных катализаторов [1].

При объяснении различной подвижности атомов водорода солей необходимо учитывать, что уксуснокислый калий в разбавленном растворе обменивает свои атомы водорода очень медленно [1]. Отсюда следует, что обменная реакция ацетатных ионов требует высокой энергии активации и найденный в этой работе быстрый обмен в ряде солей происходит, очевидно, не в ионах, а в небольшом остатке недиссоциированных молекул соли, присутствующих в растворе. Если же исследованные здесь соли нацело распадаются в растворе на обычные ионы, то влияние катиона на реакционную способность метильных водородов должно быть приписано различной деформации аниона катионами. При этом механизм этого деформирующего влияния можно, вероятно, уподобить механизму влияния металла на остальную часть недиссоциированной молекулы соли.

Известно, что уксусноэтиловый эфир обменивает водороды метильной группы значительно быстрее, чем уксусная кислота или уксуснокислый натрий [4]. Этильный радикал не способен оказывать непосредственное

## Обсуждение результатов

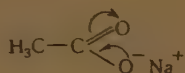
Из приведенных данных видно, что атомы водорода метильных групп различных уксуснокислых солей обладают резко отличающейся способностью к водородному обмену.

Таблица 2

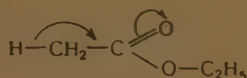
Полупериоды обмена солей уксусной кислоты с тяжелой водой

Название соли	Полупериоды обмена, час.
Уксуснокислый свинец	8
Уксуснокислая ртуть	22
Уксуснокислый кадмий	50
» кобальт	115
» натрий	150

не на водороды  $\text{CH}_3$ -группы. Можно предположить, однако, что раз- в способности к обмену между уксусной кислотой и ее эфиром объяс- и различной степенью ковалентности связей  $\text{O}-\text{H}$  и  $\text{O}-\text{C}_2\text{H}_5$ . Оче- , что если связь  $\text{O}-\text{R}$  ( $\text{R} = \text{H}, \text{C}_2\text{H}_5$ , металлы и т. д.) имеет ионный тер, то поляризация связи  $\text{C}=\text{O}$ , имеющейся в эфире, в направле- реверращения в связь  $\text{C}^+-\text{O}^-$  не может оказывать активизирующего ия на атомы водорода  $\text{CH}_3$ -группы, как это имеет место, например, оне, так как на кислород этой связи будет оттягиваться преимуще- о свободный отрицательный заряд от кислорода полной  $\text{O}-\text{R}$  связи , однако если связь  $\text{O}-\text{R}$  ковалентна, то на кислород поляризованной связи будут оттягиваться электроны от других связей в молекуле, ности и от связей  $\text{C}-\text{H}$  метильной группы (II):

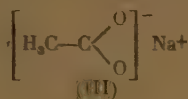


(I)



(II)

зи с этим на атомах водорода метильной группы появляется некото- оложительный заряд и они становятся более подвижными. В ионной претации сказанное равнозначно известному факту связи катиона окислого натрия с карбоксильной группой  $\text{COO}$  аниона кислоты ом (III) (а не только с данным атомом кислорода), откуда следует, что ой двойной связи  $\text{C}=\text{O}$  в этой соли нет, тогда как в уксусноэтиловом



такая связь имеется, и ее поляризация проявляется в увеличении оности  $\text{H}-\text{C}$  связи.

ходя из этих соображений, различное влияние металлов на реак- ю способность атомов водорода  $\text{CH}_3$ -групп можно приписать тому, вязи кислород—металл обладают различной степенью ковалентности. идно, что металлы должны тем сильнее активировать атомы водорода, олее ковалентна его связь с кислородом в молекуле соли.

тепень ковалентности той или иной связи может быть оценена на осно- и данных об электроотрицательностях ( $X$ ) атомов, составляющих эту . Имеющиеся данные [5] об электроотрицательностях интересующих лементов и вычисленных из разностей электроотрицательностей кис- д — элемент ( $X_{\text{O}} - X_{\text{E}}$ ) степенях ковалентности связей приведены л. 3.

равнение данных, приведенных в этой таблице, с результатами иссле- ний способности производных уксусной кислоты к обмену приводит естественному подтверждению высказанного выше предположения. твительно, соединения, содержащие связи  $\text{O}-\text{E}$ , характеризующиеся ачительной долей ковалентности (20%), обмениваются трудно (соли  $\text{Ca}$ ,  $\text{Ba}$ ). С увеличением степени ковалентности до 40—50% способ- к обмену резко возрастает (соли  $\text{Cd}$ ,  $\text{Co}$ ,  $\text{Hg}$ ,  $\text{Pb}$ ). Дальнейший рост ни ковалентности связи  $\text{O}-\text{E}$  ведет к еще большему увеличению спо- сти к обмену (уксусноэтиловый эфир, связь  $\text{O}-\text{C}$ ).

Некоторая несогласованность между порядком увеличения степени лентности и ростом способности к обмену внутри каждой группы (на- ер, связь  $\text{O}-\text{Cd}$  менее ковалентна, чем связь  $\text{O}-\text{Co}$ , однако соль

кобальта обменивается медленнее соли кадмия) может быть причиной неточности определения степени ковалентности, а также другим факторами, которые сейчас учесть трудно (рН среды, различные степени и виды ассоциации и др.).

Таблица 3

## Степени ковалентности связей

Элемент	$\chi$	$\chi_o - \chi_E$	Степень ковалентности в %
O . . . . .	3,5	—	—
Na . . . . .	0,9	2,6	18
Ca . . . . .	0,9	2,6	18
Ba . . . . .	1,0	2,5	20
Cd . . . . .	1,5	2,0	37
Co . . . . .	1,7	1,8	45
Pb . . . . .	1,8	1,7	51
Hg . . . . .	1,9	1,6	53
C . . . . .	2,5	1,0	78
H . . . . .	2,1	1,4	61

Уксусная кислота обменивает атомы водорода в  $\text{CH}_3$ -группе медленно, казалось бы, противоречит высказанному выше предположению, как связь  $\text{O}-\text{H}$  должна быть, на основании данных об электроотрицательностях, в значительной мере ковалентной. Однако за счет образования водородных связей ионный характер этой связи должен быть сильно личенным. Поэтому данные об электроотрицательностях кислорода и водорода, повидимому, недостаточны для оценки действительной степени ковалентности связи  $\text{O}-\text{H}$ .

Таким образом, предполагается, что увеличение способности к обмену производных уксусной кислоты, содержащих углеводородный радикал или тяжелый металл вместо гидроксильного водорода, объясняется увеличением полярности  $\text{C}-\text{H}$  связей этих соединений. Положительный заряд на водороде связей  $\text{C}-\text{H}$  увеличивается, углерод приобретает отрицательный заряд и атака дейтериевых атомов из раствора на него облегчается [6]. Видно, что обменные реакции этого типа должны ускоряться основаниями, способствующими отщеплению протонов. Этот дополнительный факт, т. е. реакция среды (в результате гидролиза соли), в работе изучен не и требуются дальнейшие исследования для расшифровки его влияния. Основного вывода эти исследования изменить не могут, так как наиболее основными реакциями обладают растворы солей, обменивающихся медленно ( $\text{Na}$ ,  $\text{Ca}$ ,  $\text{Ba}$ ). Однако возможно, что уксусная кислота обменивается медленно также и потому, что реакция среды в этом случае кислая, тогда растворы солей имеют обычно рН выше 7.

Логично было предположить, что высокая подвижность атомов водорода в уксуснокислом свинце должна проявляться не только в реакциях обмена водородом, но и при других процессах. Это предположение подтвердилось: уксуснокислый свинец легко конденсируется с бенальдегидом в обычных условиях реакции Перкина, но без применения уксусного ангидрида. Условия этой разновидности синтеза Перкина описаны в моей статье [7].

Я благодарен действительному члену АН УССР А. И. Бродскому за постоянный интерес к этому исследованию и ряд ценных указаний. В работе мне помогали Л. Л. Червяцова и А. Ф. Рекашева, которым выражаю мою благодарность.



## Выводы

Изучены водородные обменные реакции между тяжелой водой и солей уксусной кислоты.

Найдено, что металл, входящий в состав соли, оказывает значительное влияние на скорость изотопного обмена между атомами водорода метильной группы солей и тяжелой водой.

Предположено, что одним из основных факторов, объясняющих активность солей уксусной кислоты и других ее производных к изотопному обмену, есть увеличение степени ковалентности связей  $O-R$  в этих соединениях.

академия наук УССР  
институт физической химии  
Л. В. Писаржевского  
Киев

Поступила  
4. V. 1950

## ЛИТЕРАТУРА

- Вок, К. Geib, *Ze. phys. Ch. A*, **183**, 353, 1939.  
Ives, *Journ. Chem. Soc.*, London, **81**, 1938.  
Herbst, D. Rittenberg, *Journ. org. Chem.*, **8**, 380, 1943.  
G. Brown, K. Eberley, *Journ. Am. Chem. Soc.*, **62**, 113, 1940.  
Haissinsky, *Journ. Chim. phys.*, **46**, 298, 1949.  
И. Бродский, *Изв. АН СССР, Сер. хим.*, стр. 3, 1949.  
П. Миклухин, *ДАН*, **73**, 117, 1950.

## ТЕРМОДИНАМИКА ТВЕРДЫХ И ЖИДКИХ РАСТВОРОВ ОКИСЛОВ ЖЕЛЕЗА

*В. А. Кожеуров*

Согласно диаграмме состояний системы Fe—O в ней имеется ряд твердых (вюстит) и жидких растворов окислов железа. По последним данным, например, [1] и [2] минимальное содержание кислорода и в тех, и в других больше, чем содержание кислорода в чистой закиси железа. Следовательно, стехиометрически эти растворы могут быть представлены как смеси FeO и Fe<sub>2</sub>O<sub>3</sub>. Наиболее новые данные по равновесию вюстита и жидких растворов окислов железа с газовой фазой были получены в последнее время Даркеном и Гарри [1, 2]. Как указывают авторы, экспериментальные данные не удается удовлетворительно интерпретировать, принимая существование в растворе молекул различного типа и считая справедливым идеальный закон действующих масс для реакций этих молекул между собой и с компонентами газовой фазы. Точно так же не дает удовлетворительных результатов и попытка рассматривать растворы окислов железа как регулярные растворы закиси и окиси железа.

Полученное нами ранее [3] уравнение для свободной энергии ионных растворов отличается от соответствующего уравнения для регулярных растворов тем, что в него входят не молярные, а ионные доли. В смесях FeO + Fe<sub>2</sub>O<sub>3</sub> ионные доли катионов Fe<sup>++</sup> и Fe<sup>+++</sup> не совпадают с молярными долями окислов. Поэтому представляло интерес проверить применимость к ним нашего выражения для свободной энергии ионных растворов.

### Твердые и жидкие растворы окислов железа как ионные растворы без «перестановочной» энтропии смешения

Если считать, что твердый или жидкий раствор окислов железа состоит из ионов Fe<sup>++</sup>, Fe<sup>+++</sup> и O<sup>—</sup>, то свободная энергия его, рассчитанная на 1 моль катионов, должна быть равна

$$F = x_1 F_1 + x_2 F_2 + RT(x_1 \ln x_1 + x_2 \ln x_2) + x_1 x_2 Q_{12}.$$

Здесь  $Q_{12}$  — энергия смешения, а  $x_1$  и  $x_2$  — ионные доли катионов Fe<sup>++</sup> и Fe<sup>+++</sup>, т. е.

$$x_1 = \frac{n_1}{n_1 + 2n_2}, \quad x_2 = \frac{2n_2}{n_1 + 2n_2},$$

где  $n_1$  и  $n_2$  — числа молей FeO и Fe<sub>2</sub>O<sub>3</sub> в растворе. Далее,  $F_1$  — свободная энергия 1 моля чистой FeO и  $F_2$  — свободная энергия 1/2 моля Fe<sub>2</sub>O<sub>3</sub>. Умножая обе части (1) на  $n_1 + 2n_2$  — полное число молей катионов в данном количестве раствора — и дифференцируя по  $n_1$  и  $n_2$ , получим для химических потенциалов окислов следующие выражения:

$$\mu_1 = F_1 + RT \ln x_1 + x_2^2 Q_{12},$$

$$\mu_2 = 2F_2 + RT \ln x_2^2 + 2x_1^2 Q_{12}.$$

овательно, активности окислов будут равны

$$\begin{aligned} a_1 &= x_1 e^{\frac{x_2^2 Q_{12}}{RT}}, \\ a_2 &= x_2^2 e^{\frac{2x_1^2 Q_{12}}{RT}}. \end{aligned} \quad (3)$$

действие раствора окислов с газовой фазой можно выразить уравнением



и действующих масс для этой реакции должен иметь вид:

$$K = \frac{a_1^2 p_{\text{O}_2}^{1/2}}{a_2}. \quad (4)$$

ставляя в (4) значения активностей из (3), получим

$$K = p_{\text{O}_2}^{1/2} \frac{x_1^2}{x_2^2} e^{\frac{2Q_{12}}{RT} (x_2^2 - x_1^2)} = K_x e^{\frac{2Q_{12}}{RT} (x_2^2 - x_1^2)}, \quad (5)$$

$K_x$  — «константа» равновесия идеального закона действующих масс. Зависимость ее от состава твердого или жидкого раствора окислов согласно (5) выразится уравнением:

$$\lg K_x = \lg K - \frac{2Q_{12}}{4,575T} (x_2^2 - x_1^2) = \text{const} - \frac{2Q_{12}}{4,575T} (x_2 - x_1), \quad (6)$$

как  $x_2^2 - x_1^2 = (x_2 - x_1)(x_2 + x_1) = x_2 - x_1$ . На рис. 1 представлены значения  $\lg K_x$  в зависимости от  $x_2 - x_1$  для жидких растворов окислов железа при  $1600^\circ\text{C}$ , по данным Даркена и Гарри [2]. Экстраполируемая уравнением (6) линейная зависимость совершенно не выполняется. Следовательно, и наше уравнение (4) к растворам окислов железа неприменимо. Однако эта точка зрения на них не распространяется на растворы ионные, что позволяет легко уяснить причины этого обстоятельства.

Уравнение (1) получено в помощи следующих выражений для энергии и энтальпии раствора:

$$E = x_1 E_1 + x_2 E_2 + x_1 x_2 Q_{12}, \quad (7)$$

$$S = x_1 S_1 + x_2 S_2 - R(x_1 \ln x_1 + x_2 \ln x_2). \quad (8)$$

Последнее из этих уравнений для растворов окислов железа может быть справедливым только в том случае, когда при смешении двух- и трехвалентных ионов железа лишние электроны ионов  $\text{Fe}^{2+}$  остаются локализованными около определенных частиц, так как только в этом случае ионы  $\text{Fe}^{2+}$  и  $\text{Fe}^{3+}$  можно считать частицами различимыми. Хотя это предположение и соответствует общепринятой точке зрения, тем не менее

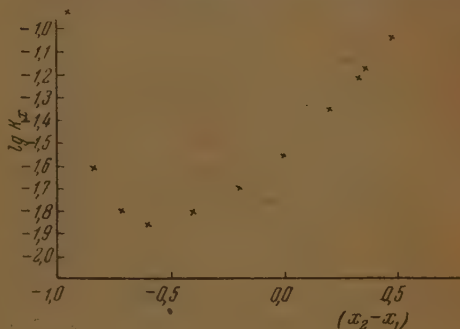


Рис. 1

оно не кажется очевидным. Более вероятным является представление о непрерывном обмене электронами между ионами  $\text{Fe}^{++}$  и  $\text{Fe}^{+++}$ , в результате которого средний заряд всех катионов делится одинаковым, а сами они неразличимыми. В этом случае «перестановочная» энтропия смешения должна быть равна нулю.

Уравнение (7) получено путем учета взаимного влияния катионов на энергию взаимодействия их с анионами. Применявшийся при этом метод вычисления утрачивает свой смысл, если все катионы одинаковы. Несмотря на это, окончательное выражение (7) для энергии системы должно сохранить, по всей вероятности, свою применимость. Дополнительная энергия стабилизирующая систему, обусловлена электронным обменом, а поскольку она, очевидно, должна быть пропорциональна числу пар ионов  $\text{Fe}^{++}$  и  $\text{Fe}^{+++}$ , введенных в систему, т. е. произведению  $x_1 x_2$ .

Таким образом, если сохранить выражение (7) для энергии системы и опустить в (8) «перестановочную» энтропию смешения, то вместо (1) для свободной энергии раствора окислов железа будем иметь

$$F = x_1 F_1 + x_2 F_2 + x_1 x_2 Q_{12}.$$

Отсюда для активностей  $\text{FeO}$  и  $\text{Fe}_2\text{O}_3$  получим

$$\left. \begin{aligned} a_1 &= e^{\frac{x_2^2 Q_{12}}{RT}} \\ a_2 &= e^{\frac{2x_1^2 Q_{12}}{RT}} \end{aligned} \right\} \quad (4)$$

Подставляя эти значения активностей в (4), будем иметь вместо (5)

$$K = p_{\text{O}_2}^{1/2} e^{\frac{2Q_{12}}{RT}(x_2^2 - x_1^2)} \quad (1)$$

или

$$\lg p_{\text{O}_2} = 2 \lg k - \frac{4Q_{12}}{4,575 T} (x_2^2 - x_1^2) = \text{const} - \frac{4Q_{12}}{4,575 T} (x_2^2 - x_1^2). \quad (1)$$

На рис. 2. представлены значения  $\lg p_{\text{O}_2}$  в зависимости от  $x_2$  — для вюстита при различных температурах по данным Даркена и Гарри [1].

Для подсчета  $\lg p_{\text{O}_2}$  по значениям  $\lg \frac{p_{\text{CO}_2}}{p_{\text{CO}}}$  использованы величины константы равновесия реакции  $2\text{CO}_2 = 2\text{CO} + \text{O}_2$ , приведенные в той же статье [1]. На рис. 3 изображены аналогичные данные этих авторов для жидких растворов окислов железа. Как видно из рисунков, требуемая уравнением (12) линейная зависимость  $\lg p_{\text{O}_2}$  от  $x_2 - x_1$  соблюдается вполне удовлетворительно.

Даркен и Гарри [2] отмечают, что изотермы, изображающие зависимость  $\lg (p_{\text{CO}_2}/p_{\text{CO}})$  или  $\lg p_{\text{O}_2}$  от  $\frac{N_2}{N_1}$ , где  $N_1$  и  $N_2$  — атомные доли железа и кислорода, имеют приблизительно линейный характер. Обозначив переменную  $\frac{N_2}{N_1}$  через  $\xi$ , можно выразить  $x_1$  и  $x_2$  через эту величину. Получим  $x_1 = 3 - 2\xi$  и  $x_2 = 2(\xi - 1)$ ; следовательно,  $x_2 - x_1 = 4\xi - 5$ . Подстановка в (12) приводит, действительно, к линейной зависимости  $\lg p_{\text{O}_2}$  от  $\xi$ .

По первому из уравнений (10) можно вычислить активность  $\text{Fe}$  в растворах окислов железа. Результаты вычисления для расплава  $\text{FeO} + \text{Fe}_2\text{O}_3$  при  $1600^\circ\text{C}$  представлены кривой на рис. 4. Для вычисления



было принято  $Q_{12} = -11600$  кал. В качестве стандартного состояния Даркена и Гарри [2] выбран расплав, в котором  $x_2 = 0,14$ ;  $\left(\frac{N_2}{N_1} = 1,07\right)$ . Целей сравнения наши значения активностей также отнесены к этому

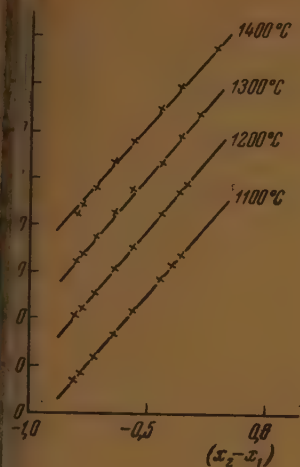


Рис. 2

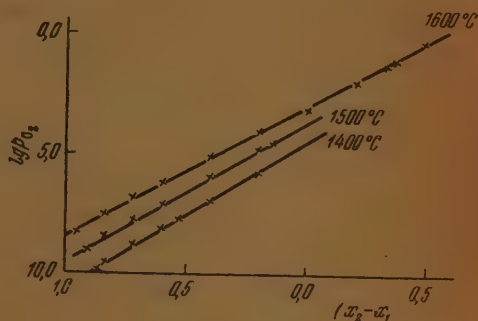


Рис. 3

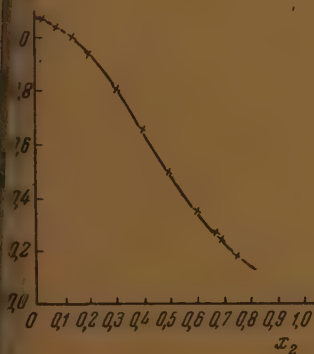


Рис. 4

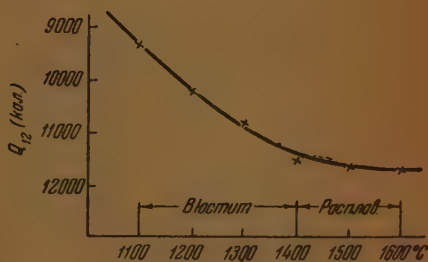


Рис. 5

расплаву, как к стандартному состоянию. Поэтому кривая рис. 4 вычислена по уравнению:

$$\lg a_{\text{FeO}} = \frac{11600}{4,575 \cdot 1873} \cdot (x_2^2 - 0,14^2).$$

Точками на рис. 4 отмечены экспериментальные значения Даркена и Гарри. Как показывает рис. 4, совпадение очень хорошее во всем интервале составов.

Таким образом, вюстит и жидкие растворы окислов железа можно рассматривать как ионные растворы без «перестановочной» энтропии смешения.

### Температурная зависимость энергии смешения

По наклону прямых рис. 2 и 3 можно определить величину энергии смешения  $Q_{12}$ . Оказывается, что она зависит от температуры, причём с повышением последней температурный коэффициент  $Q_{12}$  уменьшается. Температурная зависимость энергии смешения изображена на рис. 4. Для расплава в первом приближении можно даже вообще пренебречь температурной зависимостью  $Q_{12}$  и оперировать со средним значением. Это видно из рис. 3, все три прямые которого проведены таким образом, что каждой из них отвечает одно и то же значение  $Q_{12} = -11\,600$  ккал/моль.

Наше уравнение (1), а значит, и частный случай его (9), даёт только конфигурационную часть свободной энергии ионного раствора. Поэтому входящая в него энергия смешения не должна зависеть от температуры. Действительно, легко видеть, что температурная зависимость энергии смешения несовместима с нашим исходным уравнением для энтропии. Если продифференцировать выражение для свободной энергии по температуре, учтя при этом обнаруживаемую из опыта зависимость  $Q_{12}$  от

то в энтропии,  $S = -\frac{\partial F}{\partial T}$ , появится дополнительное слагаемое:  $-x_1 x_2 \frac{dQ_{12}}{dT}$

не содержащееся в исходном уравнении.

Как показано ниже, уравнение (1) для свободной энергии ионного раствора содержит, кроме оговоренных явно, также предположение о том, что статистическая сумма по вибрационным и электронным состояниям раствора может быть представлена в виде произведения двух множителей, относящихся к чистым компонентам. Невыполнение этого предположения должно при известных обстоятельствах приводить только к появлению температурной зависимости энергии смешения, не нарушая вида уравнения (1).

Если отказаться временно от предположения о случайном распределении катионов по катионным местам, то, как легко показать, энергия ионного раствора, содержащего  $N_1$  молекул  $AC$  и  $N_2$  молекул  $BC$ , где  $A$  и  $B$  разные катионы, а  $C$  общий анион, будет равна

$$E = N_1 \epsilon_{11} + N_2 \epsilon_{22} + X (\epsilon_{12} + \epsilon_{21} - \epsilon_{11} - \epsilon_{22}) = \\ = \frac{1}{N} (N_1 E_1 + N_2 E_2 + X Q_{12}), \quad (13)$$

где  $N$  — число Авогадро. Величина  $X$  определяется тем, что  $zX$  представляет собой число разнородных пар катионов, расположенных в соседних катионных местах, причём  $z$  — координационное число «катионной решетки» раствора.

При вычислении статистической суммы ионного раствора его следует рассматривать как единую квантово-механическую систему, состоящую из определенных атомных ядер и электронов. При этом конфигурационную энергию (13) следует отождествлять с энергией основного квантового состояния, т. е. относить ее к температуре абсолютного нуля. Этим отождествлением величинам  $\epsilon_{ij}$  придается смысл не просто потенциальной энергии катиона по отношению к ближайшим анионам, а энергии «химических связей» между ними. Только в предельном случае чисто электростатической связи энергия ее может быть сведена к кулоновскому взаимодействию ионов с определенной электронной структурой.

На основании этого полную статистическую сумму раствора можно представить в таком виде:

$$Z = \sum_X g(N_1, N_2, X) e^{-\frac{N_1 E_1 + N_2 E_2 + X Q_{12}}{RT}} \cdot \varphi(T, N_1, N_2, X). \quad (14)$$

ть  $g(N_1, N_2, X)$  есть число конфигураций, при которых число катионных пар  $A-B$  равно  $zX$ , а  $\varphi(T, N_1, N_2, X)$  представляет собой статистическую сумму по возбужденным квантовым состояниям системы. Подобно тому как это имеет место для обычных молекул, состоящих из большого числа атомов, величина  $\varphi$  во многих случаях может быть разложена на два множителя, один из которых представляет собой статистическую сумму для движения ядер, а второй является статистической суммой по электронным состояниям системы. Поэтому мы будем называть  $\varphi$  статистической суммой по вибрационным и электронным состояниям. Чтобы (14) было справедливым, необходимо, чтобы величина  $\varphi$  для всех конфигураций с одним и тем же  $X$  была одинаковой.

Если ввести величину  $X$  [5], определяемую соотношением

$$e^{-\frac{\bar{X}Q_{12}}{RT}} \sum_X g(N_1, N_2, X) = \sum_X g(N_1, N_2, X) \cdot e^{-\frac{XQ_{12}}{RT}},$$

выражению (14) можно придать вид:

$$Z = \frac{(N_1 + N_2)!}{N_1! N_2!} \cdot e^{-\frac{N_1 E_1 + N_2 E_2 + \bar{X} Q_{12}}{RT}} \bar{\varphi}(T, N_1, N_2), \quad (15)$$

где  $\bar{\varphi}(T, N_1, N_2)$  есть среднее значение  $\varphi$  по всем конфигурациям системы. В нашем приближении для энергии основного квантового состояния уравнение (15) является наиболее общим выражением статистической суммы чистого раствора.

Чтобы получить из (15) уравнение (1) для свободной энергии, необходимо, во-первых, принять случайное распределение катионов по катионным местам, т. е. положить

$$X = \bar{X} = \frac{N_1 N_2}{N_1 + N_2}, \quad (16)$$

во-вторых, считать, что статистическая сумма по вибрационным и электронным состояниям раствора может быть представлена как произведение аналогичных сумм для чистых компонентов, т. е. что справедливо соотношение:

$$\bar{\varphi}(T, N_1, N_2) = [v_1^0(T)]^{N_1} [v_2^0(T)]^{N_2}. \quad (17)$$

Возможность представить статистическую сумму чистого компонента выражением вида  $[v^0(T)]^N$  вытекает из того очевидного обстоятельства, что логарифм статистической суммы является экстенсивным свойством системы. Нетрудно убедиться, что в результате подстановки (16) и (17) в (15), последнего в формулу  $F = -kT \ln Z$ , после ряда преобразований, при которых необходимо учесть, что свободная энергия чистого компонента  $F_i = E_i = RT \ln v_i^0(T)$  и пересчета свободной энергии на такое количество раствора, в котором содержится 1 моль катионов, мы, действительно, получим уравнение (1). В этом случае энергия смешения не должна зависеть от температуры.

В общем случае вместо (17) можно положить, что

$$\bar{\varphi}(T, N_1, N_2) = [v_1(T, x)]^{N_1} [v_2(T, x)]^{N_2}, \quad (18)$$

где  $x$  — ионная доля какого-нибудь из катионов.  $v_1(T, x)$  и  $v_2(T, x)$  должны быть такими функциями состава, которые обращаются в  $v_1^0(T)$  и  $v_2^0(T)$  при исчезающе малом количестве другого компонента. Если, кроме того, считать, что  $\ln v_1(T, x_2)$  и  $\ln v_2(T, x_1)$  являются медленно

меняющимися функциями состава, то, разложив их в ряд по степеням  $x_2$  и  $x_1$  соответственно, можно при любых значениях  $x_1$  и  $x_2$  ограничиться лишь первыми членами разложения. В этом случае для свободной энергии раствора, после пересчета ее на 1 моль катионов, получим

$$F = x_1 F_1 + x_2 F_2 + RT (x_1 \ln x_1 + x_2 \ln x_2) + x_1 x_2 [Q_{12} - T\alpha(T)], \quad (19)$$

где

$$\alpha(T) = R \left\{ \left[ \frac{\partial \ln v_1(T, x_2)}{\partial x_2} \right]_{x_2=0} + \left[ \frac{\partial \ln v_2(T, x_1)}{\partial x_1} \right]_{x_1=0} \right\}.$$

Таким образом, в этом случае «термодинамическая» энергия смешения

$$Q'_{12} = Q_{12} - T\alpha(T) \quad (20)$$

оказывается функцией температуры. В выражении для энтропии, кроме «перестановочной» энтропии смешения, появляется дополнительное слагаемое, равное

$$x_1 x_2 \left[ \alpha(T) + T \frac{d\alpha(T)}{dT} \right],$$

а «калориметрическая» или «термохимическая» энергия смешения будет равна

$$Q''_{12} = Q_{12} + T^2 \frac{d\alpha(T)}{dT}. \quad (21)$$

В общем случае между  $Q'_{12}$  и  $Q''_{12}$  должно иметь место соотношение:

$$Q''_{12} = Q'_{12} - T \frac{dQ'_{12}}{dT}. \quad (22)$$

Что касается растворов окислов железа, то для них вместо (15) можно написать сразу

$$Z = e^{-\frac{(N_1 E_1 + N_2 E_2 + Q_{12} N_1 N_2) / (N_1 + N_2)}{RT}} \cdot \varphi(T, N_1, N_2), \quad (23)$$

так как ввиду неразличимости катионов процесс усреднения по конфигурациям выпадает. При высоких температурах, порядка  $1100^\circ \text{C}$  и выше, при которых мы рассматривали термодинамические свойства растворов окислов железа, вибрационные степени свободы, повидимому, полностью возбуждены. При  $1300^\circ \text{K}$  теплоемкость  $C_p$  для  $\text{Fe}_2\text{O}_3$  равна 45,3, а для  $\text{Fe}_3\text{O}_4$  равна 64,1 кал/град моль. Поэтому несоблюдение (17) здесь следует относить за счет статистических сумм по электронным, а не вибрационным состояниям.

Одной из причин невозможности представить статистическую сумму по электронным состояниям раствора в виде произведения статистических сумм чистых компонентов является, повидимому, электронный обмен между ионами  $\text{Fe}^{++}$  и  $\text{Fe}^{+++}$ , приводящий к своего рода обменному вырождению энергетического спектра связывающего электрона. Это должно приводить к появлению в правой части (17) дополнительного множителя, зависящего от температуры и состава системы. Разумеется, точный вид этой зависимости может быть раскрыт только в результате правильного учета всех условий и статистических следствий электронного обмена. Тем не менее самое появление такого множителя в (17) даст в выражении для свободной энергии дополнительное отрицательное слагаемое, а в выражении для энтропии — положительное. Величина этих дополнительных членов должна быть, по крайней мере в первом приближении, пропор-



ональна произведению чисел ионов  $Fe^{++}$  и  $Fe^{+++}$ , введенных в систему, т. е. величине  $x_1 x_2$ . Следовательно, для термодинамической энергии смешения должно получиться выражение типа (20); при этом температурный коэффициент  $Q_{12}$  будет отрицательным.

Пользуюсь случаем выразить благодарность Я. И. Френкелю и И. Ансельму за интерес к работе и ценные замечания.

### Выводы

1. Термодинамические свойства твердых и жидких растворов окислов железа могут быть описаны как свойства ионных растворов без переставочной энтропии смешения. Физически это объясняется тем, что в результате непрерывного электронного обмена ионы железа в растворе неразличимы.

2. Показано, что в основе приближенного уравнения (1) для свободной энергии ионных растворов, кроме принятых ранее допущений, содержится также предположение о том, что статистическая сумма по вибрационным и электронным состояниям раствора может быть представлена как произведение аналогичных статистических сумм чистых компонентов. Выполнение этого предположения должно приводить к температурной зависимости энергии смешения. Когда последняя имеет место, термодинамическая и калориметрическая энергии смешения не совпадают друг с другом. Между ними должна существовать связь, являющаяся частным случаем уравнения Гиббса — Гельмгольца.

3. Температурная зависимость энергии смешения в растворах окислов железа может быть, по видимому, объяснена статистическими эффектами, связанными с «коллективизацией» электронов. Именно этими эффектами должна быть обусловлена в данном случае невозможность представить статистическую сумму по электронным состояниям раствора в виде произведения электронных статистических сумм чистых компонентов.

Академия Наук СССР  
Институт химии силикатов  
Ленинград

Поступила  
25. V. 1950

### ЛИТЕРАТУРА

1. L. S. Darken a. R. W. Gurry, Journ. Amer. Chem. Soc., **67**, 1398, 1945.
2. L. S. Darken a. R. W. Gurry, Journ. Amer. Chem. Soc., **68**, 798, 1946.
3. В. А. Кожеев, Журн. физ. химии, **23**, 484, 1949.
4. В. А. Кожеев, Журн. прикл. химии, **23**, 233, 1950.
5. R. H. Fowler a. E. A. Guggenheim\*, Statistical Thermodynamics, 1939, с. р. 355.
6. Термические константы неорганических веществ, М.-Л., 1949, стр. 976

\* Имеется русский перевод, но соответствующая глава переводчиками выпущена.

# ИССЛЕДОВАНИЕ ВОДОРОДНОЙ СВЯЗИ ФЕНОЛА С НЕКОТОРЫМИ ОРГАНИЧЕСКИМИ СОЕДИНЕНИЯМИ ПО СПЕКТРАМ ПОГЛОЩЕНИЯ ИХ РАСТВОРОВ В БЛИЗКОЙ ИНФРАКРАСНОЙ ОБЛАСТИ

*В. М. Зезюлинский*

Инфракрасные спектры поглощения непосредственно фенола и его растворов в четыреххлористом углероде достаточно подробно исследованы как в основных частотах, так и в области I и II обертонов валентной связи OH [1—4]. Однако исследования спектров поглощения смесей фенола с другими органическими веществами, особенно в области обертонов, весьма немногочисленны [5, 3]. Целью настоящей работы являлось спектроскопическое изучение в близкой инфракрасной области межмолекулярного взаимодействия фенола с ацетоном, ацетилацетоном, ацетоуксусным эфиром и пировиноградной кислотой.

Насколько нам известно, в литературе совершенно отсутствуют работы по изучению в инфракрасной области спектров указанных двойных систем, в то же время было чрезвычайно интересно в качестве акцептора протона водородной связи исследовать молекулы таких биохимически важных органических соединений, как ацетоуксусного эфира ацетилацетона и пировиноградной кислоты. В данной работе нами применена та же методика исследования, которая была описана в предыдущей статье [6].

## Результаты исследования

Как указывалось выше, инфракрасный спектр поглощения фенола и его растворов в четыреххлористом углероде неоднократно являлся объектом исследования многих исследователей, работающих как в области основных частот, так и первого и второго обертонов — колебания валентной связи OH.

Результаты наших исследований и некоторых других авторов приведены в табл. 1.

Таблица 1

	Частота полосы поглощения OH фенола в $\text{см}^{-1}$		Относительное смещение в процентах $\frac{\Delta\nu}{\nu} \cdot 100$	Авторы
	расплав. фенола	раствор 1,0 М фенола в $\text{CCl}_4$		
Основная частота . .	3 400	3 600	5,5	Фокс и Мартин [1] Горди и Нильсен. [2]
Первый обертон группы OH . . . .	6 250	7 040	11,2	Н. Г. Ярославский [3], В. М. Зезюлинский [6]
Второй обертон группы OH . . . .	14 000	1 0330	2,1	В. М. Зезюлинский [6], Кемптер и Мекке [4]

ак следует из табл. 1, всеми авторами установлен эффект смещения сы поглощения ОН фенола в сторону меньших частот при переходе растворов в четыреххлористом углероде к расплавленному фенолу, что свидетельствует об ассоциации молекул фенола посредством их гидроксиль-групп.

Следует отметить, что в отличие от пиррола и других веществ, ассоциационных посредством группы NH, где величина относительного смещения в процентах  $\frac{\Delta\nu}{\nu} \cdot 100$  понижается от основной частоты к первому и второму тонам, у фенола наибольшая величина относительного смещения падает в области первого обертона, а наименьшая — во втором обертоне втнтой связи ОН. Тем самым показана различная закономерность изменения коэффициента ангармоничности у веществ, ассоциирующихся посредством групп NH или ОН.

### Фенол — ацетон, ацетилацетон, ацетоуксусный эфир

Ранее сообщалось, что в спектрах поглощения ацетона, ацетилацетона и ацетоуксусного эфира, полученных в области  $5500\text{--}7500\text{ см}^{-1}$  (1,3—1,4  $\mu$ ), отсутствует полоса поглощения ОН заметной интенсивности (рис. 1).

Исходя из данных Д. Н. Шигора [7], можно полагать, что в жидком ацетилацетоне или ацетоуксусном эфире одновременно существуют формы энольных изомеров; с введением фенола следует ожидать: во-первых, образования межмолекулярной водородной связи между молекулами фенола и ацетилацетона или ацетоуксусного эфира и, во-вторых, смещения равновесия трех форм энльных изомеров.

В исследуемой нами области ( $5000\text{--}7500\text{ см}^{-1}$ ) возможно регистрировать только наличие третьей формы энльного изомера ацетилацетона или ацетоуксусного эфира, которая по мнению Д. Н. Шигорина соответствует ассоциации по у спиртов, так как две другие энльные формы этих молекул, занятые внутримолекулярной водородной связью, в данной области не могут проявляться [8,9].

Экспериментальные данные подтверждают правильность высказанного предположения о смещении трех энльных изомеров у ацетилацетона и ацетоуксусного эфира.

Действительно, в спектре поглощения тройной смеси фенол — ацетилацетон — четыреххлористый углерод и фенол — ацетоуксусный эфир — четыреххлористый углерод наблюдается значительное смещение полосы поглощения ОН фенола в сторону длинных волн вызванное образованием водородной связи между молекулами взаимодействующих веществ, а также резкое снижение интенсивности полосы поглощения ОН молекул фенола (1,43  $\mu$ ) (рис. 2, кривые 2 и 3).

Данную полосу поглощения (1,43  $\mu$ )  $7000\text{ см}^{-1}$  вряд ли следует отнести к остаткам свободных молекул фенола, так как даже при четырехкратном разведении (рис. 3, кривые 1, 2 и 3) эта полоса остается неизмен-

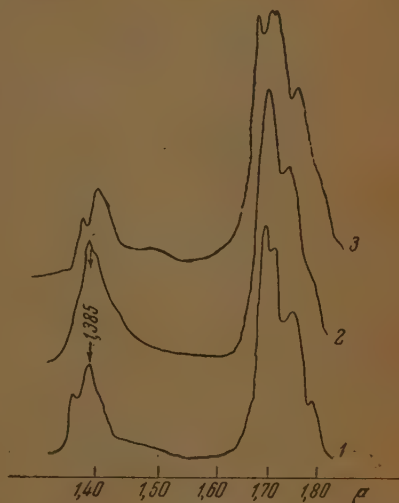


Рис. 1. Спектры поглощения ацетона, ацетилацетона и ацетоуксусного эфира в области  $5000\text{--}7500\text{ см}^{-1}$ , 1 — ацетон,  $d = 0,5\text{ см}$ ; 2 — ацетилацетон,  $d = 0,5\text{ см}$ ; 3 — ацетоуксусный эфир,  $d = 0,5\text{ см}$ .

ной по интенсивности, в то время как смещенная полоса ОН фенола 1,51 сохраняя неизменное положение максимума, постепенно понижается интенсивности.

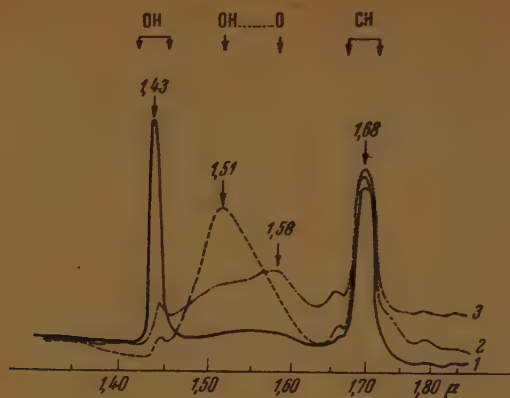


Рис. 2. Влияние ацетоуксусного эфира и ацетилацетона на полосу поглощения ОН молекулы фенола. 1 — спектр поглощения 1,0 *M* раствора фенола в четыреххлористом углероде,  $d = 0,5$  см; 2 — спектр поглощения 2,25 *M* раствора ацетоуксусного эфира в 1,0 *M* растворе фенола в четыреххлористом углероде,  $d = 0,5$  см; компенсирующая кювета содержит 2,25 *M* раствор ацетилацетона в четыреххлористом углероде,  $d = 0,5$  см; 3 — спектр поглощения 2,9 *M* ацетилацетона в 1,0 *M* растворе фенола в четыреххлористом углероде,  $d = 0,5$  см. Компенсирующая кювета содержит 2,9 *M* раствор ацетилацетона в четыреххлористом углероде

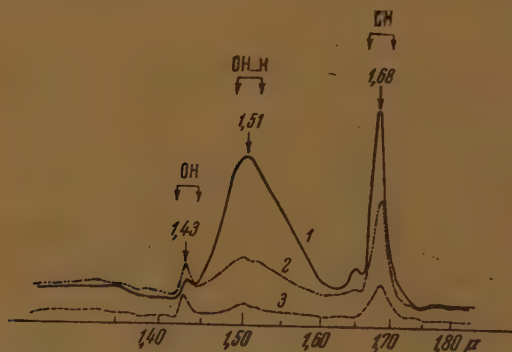


Рис. 3. Спектры поглощения смеси фенола с ацетоуксусным эфиром при разбавлении раствора четыреххлористым углеродом. 1 — 1,0 *M* фенол + 2,25 *M* ацетоуксусного эфира в четыреххлористом углероде,  $d = 0,5$  см; 2 — 0,5 *M* фенола + 1,12 *M* ацетоуксусного эфира в четыреххлористом углероде,  $d = 0,5$  см; 3 — 0,25 *M* фенол + 0,56 *M* ацетоуксусного эфира в четыреххлористом углероде,  $d = 0,5$  см. Компенсирующая кювета во всех случаях содержит соответствующий раствор ацетоуксусного эфира в четыреххлористом углероде

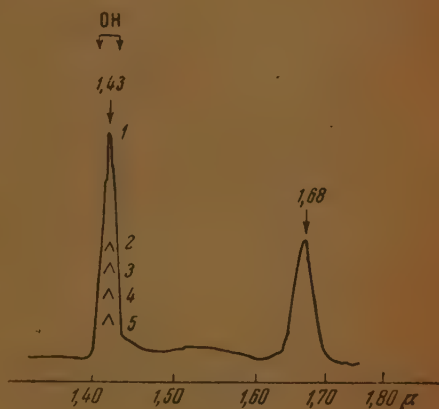
Последнее обстоятельство указывает на то, что смещение полосы О не зависит от концентрации, а лишь от акцепторных свойств второго партнера водородной связи.



Различные полосы поглощения  $1,43 \mu$  в спектрах указанных тройных смесей мы объясняем образованием третьей формы энольных изомеров молекул ацетилацетона и ацетоуксусного эфира, ассоциированных по типу спиртов. Приблизительный подсчет (без учета коэффициента аугментации) показывает, что частота  $7000 \text{ см}^{-1}$  ( $1,43 \mu$ ) есть первый обертоп основного колебания молекул ацетилацетона, ассоциированных по типу спиртов находящегося по Д. Н. Шигорину у  $3490\text{--}3500 \text{ см}^{-1}$ .

Другим доказательством того, что полоса поглощения  $1,43 \mu$  специфична именно для взаимодействия фенола с ацетилацетоном и ацетоуксусным эфиром, является отсутствие ее во всех других исследованных нами случаях межмолекулярного взаимодействия фенола с различными веществами. Следует отметить, что, как и при межмолекулярном взаимодействии пиррола, растворенного в четыреххлористом углероде с ацетоном тридином [6], в данном случае также наблюдалось постепенное понижение интенсивности полосы поглощения ОН молекул фенола при ступенчатом добавлении ацетоуксусного эфира в одномольный раствор фенола в четыреххлористом углероде (рис. 4).

Рис. 4. Изменение интенсивности полосы поглощения ОН фенола ( $1,43 \mu$ ) при постепенном добавлении ацетоуксусного эфира. Во всех случаях  $d = 0,5 \text{ см}$ . 1 —  $1,0 \text{ М}$  фенола в четыреххлористом углероде; 2 —  $1,0 \text{ М}$  фенола +  $0,2 \text{ М}$  ацетоуксусного эфира в четыреххлористом углероде; 3 —  $1,0 \text{ М}$  фенола +  $0,4 \text{ М}$  ацетоуксусного эфира в четыреххлористом углероде; 4 —  $1,0 \text{ М}$  фенола +  $0,8 \text{ М}$  ацетоуксусного эфира в четыреххлористом углероде; 5 —  $1,0 \text{ М}$  фенола +  $1,6 \text{ М}$  ацетоуксусного эфира в четыреххлористом углероде



Таким образом, полученные экспериментальные данные показывают, что при межмолекулярном взаимодействии фенола с ацетилацетоном и ацетоуксусным эфиром, судя по смещению полосы ОН фенола в сторону длинной волны, между молекулами взаимодействующих веществ образуется водородная связь, очевидно, по типу  $\text{ОН} \cdots \text{O}=\text{C}$ , в то же время происходит смещение равновесия трех энольных форм молекул ацетилацетона и ацетоуксусного эфира в сторону увеличения количества молекул, ассоциированных посредством их гидроксильных групп. Такое смещение, вероятно, происходит вследствие конкурирующего действия молекул фенола и следующего разрыва внутримолекулярной водородной связи у молекул, разрывших две первые формы энольных изомеров.

Естественным продолжением исследований по данному разделу явилось изучение спектра поглощения двойной системы фенол — ацетон. Как видно на рис. 5, кривая 2 спектра поглощения  $2,0 \text{ М}$  раствора фенола в ацетоне существенно отличается от спектра поглощения раствора той же концентрации в четыреххлористом углероде. Максимум полосы поглощения ОН молекул фенола смещен еще дальше в сторону длинной волны по отношению разобранным ранее системам и находится у  $1,59 \mu$  ( $6300 \text{ см}^{-1}$ ). При этом спектре поглощения смеси совершенно отсутствует отмечавшаяся ранее полоса поглощения  $1,43 \mu$  ( $7000 \text{ см}^{-1}$ ), что подтверждает наше предположение о принадлежности этой полосы не фенолу, а другому компоненту смеси.

Изменение в спектре смеси полосы СН фенильной группы фенола очевидно, следует отнести за счет различной толщины слоя ацетона в компенсирующей и основной кюветах.

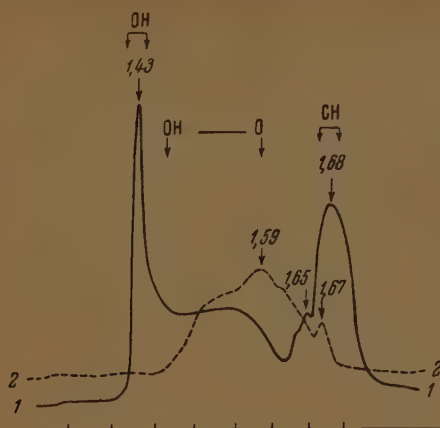


Рис. 5. Влияние ацетона на полосу поглощения ОН молекул фенола. 1 — спектр поглощения 2,0 М раствора фенола в четыреххлористом углероде,  $d = 0,5$  см; 2 — спектр поглощения 2,0 М раствора фенола в ацетоне, компенсирующая кювета содержит ацетон

Сравнение полученных спектров поглощения растворов фенола с ацетоном, ацетилацетоном и ацетоуксусным эфиром со спектрами растворов фенола той же концентрации в четыреххлористом углероде показывает, что величина смещения частоты максимума полосы поглощения ОН единичных молекул фенола убывает от ацетона к ацетилацетону и ацетоуксусному эфиру.

Таблица 2

Взаимодействующие вещества	Величина смещения в см <sup>-1</sup> *
Фенол — ацетон . . . . .	700
» — ацетилацетон . . . . .	670
» — ацетоуксусный эфир . . . . .	378

\*  $\Delta\nu = \nu - \nu_0$ , где  $\nu$  — частота максимума полосы поглощения ОН единичных молекул фенола,  $\nu_0$  — частота смещенного максимума полосы поглощения молекулы фенола.

Различная величина смещения  $\Delta\nu$ , очевидно, связана с различными основными свойствами (сродством к протону) веществ, являющихся акцепторами водородной связи.

### Тройная система фенол — пиридин — пировиноградная кислота

Исследование межмолекулярного взаимодействия фенола с пировиноградной кислотой было проведено нами ввиду той большой роли, которую играет пировиноградная кислота в процессе обмена веществ животного организма.

Так как единственным подходящим растворителем для пировиноградной кислоты оказался пиридин, то изучение взаимодействия фенола с пир-

градной кислотой осуществлялось в пиридиновых растворах. Для идентификации полос поглощения пировиноградной кислоты на рис. 6 приведены спектры поглощения пировиноградной и уксусной кислот (см. рис. 1, кривая 1). Сопоставляя структурные формулы этих трех химических соединений с их спектрами поглощения, мы приходим к выводу, что полосы  $1,36$  и  $1,385 \mu$ , очевидно, принадлежат обертому пирированного колебания  $\text{CH}_3 + \text{C} = \text{O}$ , так как эти группы имеются во всех трех исследованных веществах. Широкая непрерывная полоса поглощения, простирающаяся от  $1,4$  до  $1,8 \mu$ , судя по ее контуру, есть сложная полоса, которая является суммой полос  $\text{OH}$  молекул уксусной кислоты, ассоциированных как в димеры, так и в полимеры. Действительно, показано М. И. Батуевым [11] при помощи метода комбинационного рассеяния света в основных частотах, спектр уксусной кислоты занимает область частот от  $3500$  до  $2800 \text{ см}^{-1}$ , т. е. наблюдаемая нами полоса есть второй оберток валентной связи  $\text{OH}$  ассоциированных молекул уксусной кислоты.

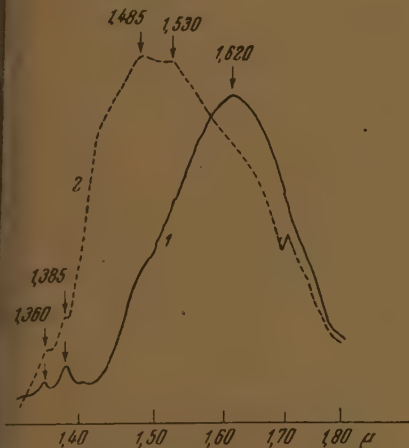


Рис. 6. Спектр поглощения уксусной и пировиноградной кислот в области  $5000-3000 \text{ см}^{-1}$ ,  $d = 0,5 \text{ см}$ . 1 — уксусная кислота; 2 — пировиноградная кислота

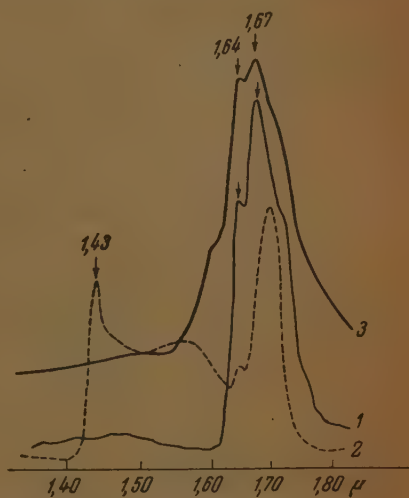


Рис. 7. Спектры поглощения в области  $5000-7500 \text{ см}^{-1}$ ,  $d = 0,5 \text{ см}$ . 1 — пиридин; 2 —  $4,5 \text{ M}$  раствор фенола в четыреххлористом углероде; 3 —  $4,5 \text{ M}$  раствор фенола в пиридине

Некоторое несовпадение основных полос поглощения пировиноградной и уксусной кислот легко объяснить различием их структурных формул. Прежде чем перейти непосредственно к спектру поглощения тройной смеси фенол — пировиноградная кислота — пиридин, следует рассмотреть фракрасные спектры поглощения двойных смесей фенол — пиридин и пировиноградная кислота — пиридин.

### Фенол — пиридин

На рис. 7 (кривая 1) представлен спектр поглощения пиридина, снятый в области  $1,4-1,8 \mu$ . Он состоит из двойной полосы с максимумом  $1,67 \mu$ , сличие которой, очевидно, связано с поглощением пиридинового кольца. Кривые 2 и 3 (рис. 7) дают спектры поглощения растворов равной концентрации фенола в четыреххлористом углероде и пиридине. Сравнение кривых 2 и 3 показывает на большое смещение полосы  $\text{OH}$  молекул фенола

в области длинных волн, что определенно указывает на образование водородной связи между молекулами пиридина и фенола. Столь большая величина смещения максимума полосы ОН фенола объясняется сильными основными свойствами пиридина, в результате чего протон гидроксильной группы фенола с большой силой оттягивается свободной парой электронов атома азота, пиридина. В то же время следует отметить, что в спектре поглощения бинарной смеси фенол — пиридин полоса СН пиридина не претерпевает существенных изменений.

### Пировиноградная кислота — пиридин

На рис. 8 (кривая 1) представлен спектр поглощения раствора пировиноградной кислоты в пиридине. Сравнение данного спектра со спектром жидкой пировиноградной кислоты (рис. 6, кривая 2) показывает, что положение основного максимума поглощения пировиноградной кислоты (1,485) остается почти неизменным, но зато в смеси пировиноградной кислоты с пиридином полностью исчезает меньший по интенсивности максимум 1,53 вследствие чего в спектре 1 рис. 8 наблюдается глубокий провал.

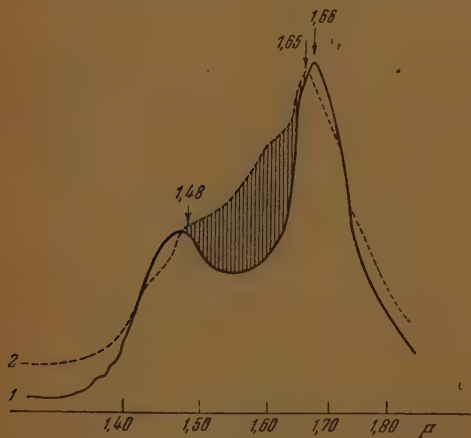


Рис. 8. Спектры поглощения в области 5000—7500  $\text{см}^{-1}$ ;  $d = 0,5$  см. 1 — 7,2 М раствор пировиноградной кислоты в пиридине; 2 — 4,3 М пировиноградная кислота + 4,5 М в четыреххлористом углероде

Кроме того, обращает на себя внимание значительное понижение интенсивности полос поглощения 1,36 и 1,38  $\mu$ . Иначе говоря, у спектра раствора пировиноградной кислоты в пиридине, по сравнению со спектром пировиноградной кислоты, основная широкая полоса, простирающаяся от 1,4 до 1,8  $\mu$ , урезана почти вдвое и занимает область всего лишь от 1,4 до 1,6  $\mu$ , в то же время полоса поглощения пиридина теряет свою дублетность, несколько смещается в сторону коротких волн, что свидетельствует о упрочнении связей пиридинового кольца. Наблюдаемое уменьшение ширины полосы поглощения пировиноградной кислоты с растворением ее в пиридине можно интерпретировать как следствие разрыва димеров цепочек молекул пировиноградной кислоты, происходящее из-за сильного конкурирующего действия молекул пиридина. В результате частичной диссоциации пировиноградной кислоты и соединения ее молекул посредством водородной связи с молекулами пиридина в спектре смеси (рис. 8, кривая 1) появляется хорошо выраженный максимум.

Завершающим этапом явилось изучение спектра тройной смеси фенол — пировиноградная кислота — пиридин.

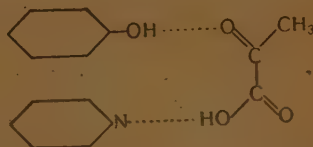


## Пировиноградная кислота — фенол — пиридин

Кривая 1 рис. 8 показывает, что совместное действие смеси трех исследуемых веществ приводит к еще большему понижению интенсивности поглощения 1,36 и 1,385  $\mu$ , приписываемых комбинации  $C=O$  и  $\pi$ , во-вторых, к появлению широкой области поглощения, представляющей собой выпуклость с центром 1,55  $\mu$ , заполняющую впадину имеющуюся в спектре пировиноградная кислота — пиридин.

Как одна из возможных интерпретаций возникновения непрерывной кривой поглощения с центром 1,55  $\mu$  при совместном действии фенол—пировиноградной кислоты пиридина может быть принята схема, имеющая на рис. 9.

Рис. 9. Схема возможного взаимодействия между молекулами фенола-пировиноградной кислоты и пиридина



Таким образом, оказалось возможным по инфракрасному спектру попытаться проследить за постепенным изменением межмолекулярных пиков, образуемых при смещении исследуемых органических веществ. В заключение считаю приятным долгом принести свою глубокую благодарность акад. А. Н. Теренину за ряд ценных указаний и постоянный интерес к работе.

## Выводы

1. Установлено, что при межмолекулярном взаимодействии фенола ацетилацетоном и ацетоуксусным эфиром, кроме образования водородной связи между молекулами взаимодействующих веществ, наблюдается смещение энольных форм молекул ацетилацетона и ацетоуксусного эфира в сторону увеличения молекул энла, ассоциированных по типу спиртов.
2. Показано на примере смеси фенол — ацетоуксусный эфир — четыреххлористый углерод, что положение максимума смещенной полосы  $OH$  энла, являющейся результатом межмолекулярного взаимодействия энла с ацетоуксусным эфиром, сохраняется неизменным с разбавлением раствора четыреххлористым углеродом.
3. Подтверждено наблюдавшееся ранее снижение интенсивности поглощения атомной группы донора при ступенчатом добавлении ацетилацетона в раствор фенола в четыреххлористом углероде.
4. На примере тройной смеси фенол — пировиноградная кислота — пиридин показана применимость исследований в близкой инфракрасной области анализу межмолекулярного взаимодействия в сложной системе.

Академия Наук СССР  
Институт биохимии им. А. Н. Баха

Поступила  
10. VI. 1950

## ЛИТЕРАТУРА

- Fox a. Martin, Proc. Roy. Soc. London, 174, 234, 1940; 176, 208, 1940.  
Gordy a. Nelson, Journ. Chem. Phys., 6, 12, 1938.  
И. Г. Ярославский, Журн. физ. хим., 22, 265, 1948.  
Kempner u. Meske, Naturwissenschaften, 27, 503, 1939.  
M. Freymann, C. R., 204, 261, 1937.  
В. М. Зезюлинский, Журн. физ. хим., 24, 1442, 1950.  
Д. Н. Шигорин, Журн. физ. хим., 23, 505, 1949.  
M. Freymann, Journ. de Phys., 7, 476, 1936; C. R., 202, 1850, 1936.  
Errera a. Mollet, Journ. de Phys., 7, 231, 1936.  
Bath a. Ellis, Journ. Phys. Chem., 45, 204, 1941.  
М. И. Батуев, Изв. АН СССР, 11, 536, 1947.

## АДСОРБЦИЯ ПАРОВ АЗОТА НА СИЛИКАГЕЛЕ ПРИ НИЗКОЙ ТЕМПЕРАТУРЕ

*В. П. Древинг, А. В. Киселев и О. А. Дихачева*

В последнее время для определения удельной поверхности адсорбентов и катализаторов в качестве адсорбируемого вещества часто применяются пары азота при температуре его кипения. Этот выбор объясняется тем, что адсорбция азота при  $-195,7^\circ$  является физической адсорбцией молекулы азота неполярны и сравнительно невелики (молярный объем жидкого азота при  $-195,7^\circ$  С равен  $33 \text{ см}^3/\text{моль}$ ). Доступность и безопасность в работе делают азот особенно удобным для адсорбционных исследований.

Существует ряд работ с азотом, посвященных изучению структуры наиболее подробно изученных адсорбентов — силикагелей, а также зависимости структуры от способов приготовления и от характера обработки, которой подвергался готовый силикагель. В этих работах изотермы адсорбции азота снимались в интервале относительных давлений от 0 до 1 и служили для характеристики пористости и для расчета удельной поверхности. Особенно много этих работ появилось за последние годы [1—6].

Уравнение полимолекулярной адсорбции Брунауэра, Эмметта и Теллера [7], часто служащее для определения удельной поверхности из изотерм адсорбции паров азота, оправдывается обычно в интервале относительных давлений от 0,05 до 0,35. В связи с этим в работах, посвященных измерениям изотерм адсорбции паров азота, оставался до сих пор мало изученным начальный участок изотермы адсорбции, соответствующий мономолекулярному заполнению. Этот участок изотермы представляет собою, однако, большой интерес, поскольку исследование мономолекулярной адсорбции позволяет рассмотреть важные теоретические вопросы и поскольку именно вначале заполняются наиболее активные участки поверхности, а также наиболее тонкие поры.

В ряде работ нашей лаборатории проводится изучение адсорбционных свойств силикагелей различных структурных типов. Определение удельной поверхности силикагелей вследствие его важности должно проводиться как возможно тщательнее. Для оценки точности метода адсорбции паров азота и сопоставления с результатами других методов в настоящей работе была подробно исследована изотерма адсорбции паров азота на одном из хорошо изученных образцов силикагелей — однородно крупнопористом образце второго структурного типа по принятой нами классификации [8, 9]. Изотерма адсорбции азота была снята подробно в начальной области, а затем исследована вплоть до относительных давлений, близких к 0,5 для того чтобы можно было вычислять удельную поверхность применительно к образцу силикагеля.

### Измерения адсорбции

Адсорбция измерялась объемным методом. Схема установки дана на рис. 1. Она состоит из следующих частей: ампулки *A* с адсорбентом, запаянной с одного конца, с азотом, заготовленной между кранами *1* и *2*, двух манометров Мак-Леода для измерения малых давлений в широком интервале от  $1 \cdot 10^{-5}$  до  $1-2 \text{ мм}$ , U-образного манометра и баллонов для хранения газов (азота и гелия). Обведенные пунктиром детали заключены в воздушный термостат.

Объемы всех деталей заготовительной части были предварительно многократно лифированы азотом при комнатной температуре. Соединительная трубка от крапа ампулки 1 представляет собой капилляр диаметром 3 мм. Этим достигнут минимальный объем «мертвого пространства», а также сводится к минимуму ошибка в определении объема погруженной в жидкий азот ампулки при колебании уровня жидкого азота в боюде Дьюара вследствие его испарения. При этих условиях вносимая колебательная погрешность лежит в пределах 1% от объема опыта. Для предохранения адсорбента от паров ртути имеется ловушка из трубки из золотой ртути (Au).

Поскольку манометры Мак-Леода могут служить, нужно, калиброванными емкостями, то необходимо, чтобы нижнее положение мениска ртути всегда было на одном уровне. Для этого в трубку К этого резервуара манометра впаивают не пропускающую ртуть стеклянную трубку, а ртуть наливают только, чтобы она доходила до мениска манометра Мак-Леода на уровне М. При малых давлениях азота роль газовой ловушки играет U-образный манометр. Этот манометр состоит из двух колен диаметром 25 мм. Часть U-манометра прокалывается ртутью, так как часть этой емкости в зависимости от положения уровня ртути входит в заготовительную часть установки.

Баллоны В и С служат для увеличения емкости заготовительного пространства. Объем одного из них составляет 300 см<sup>3</sup>, другого — около 150 см<sup>3</sup>. В случае необходимости газ вытесняется из баллона ртутью в заготовительную часть, где при этом увеличивается давление. При опускании ртути последняя останавливается на уровне благодаря стеклянному фильтру, впаянному в трубку К. Азот, употребляемый для опыта, очищается от влаги и примесей двуокиси углерода и кислорода; для этого он пропускается через хлористый кальций, патронную известь, ретные до 400° медные стружки и, наконец, через пятаюкись фосфора.

Температура воздушного термостата поддерживалась с точностью 0,1—0,2° С. Температура жидкого азота проверялась пентановым термометром.

Откачка адсорбента производилась при 300° до давления порядка  $10^{-5}$  мм рт. ст. Максимальная погрешность измерений адсорбции составляла от 1 до 3% в наиболее подробно изученной области относительных давлений  $p/p_s$  до 0,1.

Равновесное давление в этой области измерялось манометрами Мак-Леода и образным манометром. В области самых малых давлений равновесное давление над адсорбентом при —195,7° отличалось от измеряемого при комнатной температуре. Изменения в дальнейшем результаты измерения давления не исправлены в этом отношении; при необходимости более детального изучения области самых малых давлений эти поправки могут быть внесены. Требуемые таких поправок величины давлений в табл. 1 даны в скобках.

### Примененный силикагель

Силикагель был приготовлен гидролизом  $\text{SiCl}_4$ , как описано ранее [10, 11], и длительно прокален при 300° в вакууме. Этот образец обозначается в дальнейшем работах как силикагель К.

Кривая распределения объема пор по величинам эффективных их радиусов, вычисленная из изотермы десорбции паров воды в области капиллярной конденсации, приведена на рис. 2. Из рисунка видно, что примененный образец является довольно однородно пористым и может быть отнесен ко второму структурному типу [8, 9].

### Результаты измерений

Всего было произведено 8 серий адсорбционно-десорбционных измерений. После каждой серии адсорбент снова откачивался при 300°. Резуль-

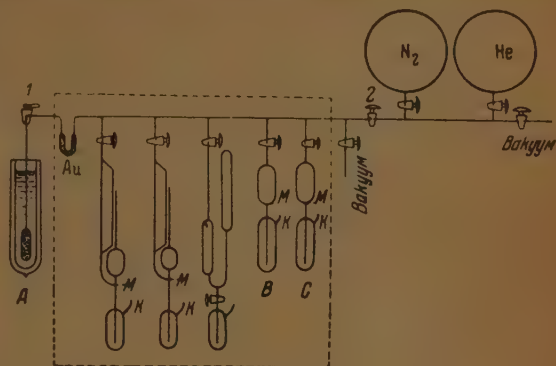


Рис. 1. Схема установки

таты измерений собраны в табл. 1. Полученные данные различных серий расположены в таблице в порядке возрастания относительных давлений пара азота.

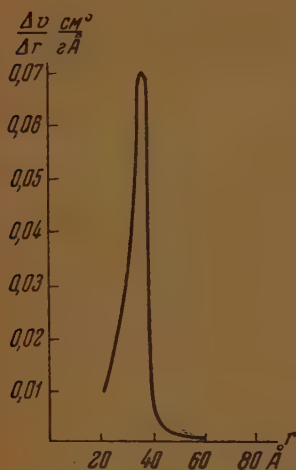


Рис. 2. Кривая распределения объема пор силикагеля по величинам их эффективных радиусов, вычисленная из изотермы десорбции паров воды

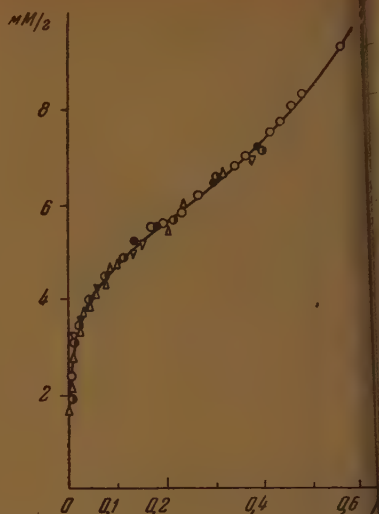


Рис. 3. Общий вид изотермы адсорбции паров азота на силикагеле К при  $-195,7^\circ \text{C}$

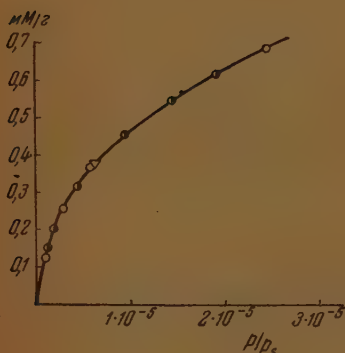


Рис. 4. Изотерма адсорбции паров азота в интервале  $p/p_s$  от 0 до  $3 \cdot 10^{-5}$

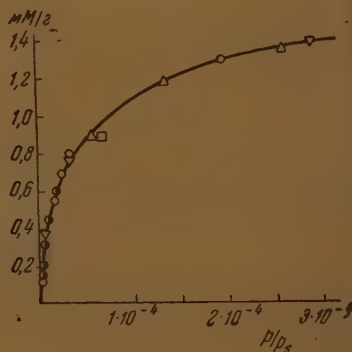


Рис. 5. Изотерма адсорбции паров азота в интервале  $p/p_s$  от 0 до  $3 \cdot 10^{-4}$

На рис. 3 приведен общий вид получившейся изотермы. Для того чтобы можно было яснее видеть все полученные точки, мы приводим отдельные части изотермы на рис. 4, 5, 6, 7, 8 в разных масштабах. Точки каждой из серий отмечены особым образом. Из рисунков видно, что результаты различных серий измерений, произведенных при одинаковых усло-



Таблица 1

чины адсорбции  $a$  мм/г паров азота силикагелем, расположенные в порядке возрастания относительного давления  $p/p_s$  для разных серий измерений

Адсорбция				Десорбция	
$p/p_s$	$a$	$p/p_s$	$a$	$p/p_s$	$a$
$1,04 \cdot 10^{-6}$	0,12 <sub>1</sub>	$1,50 \cdot 10^{-2}$	3,1 <sub>II</sub>	$1,20 \cdot 10^{-2}$	3,1 <sub>0</sub>
$1,21 \cdot 10^{-6}$	0,15 <sub>2</sub>	$1,59 \cdot 10^{-2}$	3,2 <sub>0</sub>	$1,67 \cdot 10^{-2}$	3,3 <sub>0</sub>
$1,78 \cdot 10^{-6}$	0,20 <sub>8</sub>	$1,73 \cdot 10^{-2}$	3,2 <sub>4</sub>	$2,28 \cdot 10^{-2}$	3,5 <sub>1</sub>
$2,92 \cdot 10^{-6}$	0,25 <sub>8</sub>	$2,38 \cdot 10^{-2}$	3,4 <sub>9</sub>	$2,63 \cdot 10^{-2}$	3,5 <sub>1</sub>
$4,49 \cdot 10^{-6}$	0,31 <sub>2</sub>	$2,66 \cdot 10^{-2}$	3,5 <sub>9</sub>	$3,38 \cdot 10^{-2}$	3,7 <sub>7</sub>
$5,72 \cdot 10^{-6}$	0,36 <sub>5</sub>	$3,54 \cdot 10^{-2}$	3,7 <sub>1</sub>	$3,98 \cdot 10^{-2}$	3,7 <sub>9</sub>
$6,20 \cdot 10^{-6}$	0,37 <sub>5</sub>	$3,58 \cdot 10^{-2}$	3,7 <sub>1</sub>	$4,75 \cdot 10^{-2}$	4,0 <sub>4</sub>
$9,61 \cdot 10^{-6}$	0,45 <sub>5</sub>	$5,33 \cdot 10^{-2}$	4,0 <sub>2</sub>	$6,75 \cdot 10^{-2}$	4,1 <sub>III</sub>
$1,45 \cdot 10^{-5}$	0,54 <sub>7</sub>	$5,38 \cdot 10^{-2}$	4,1 <sub>1</sub>	$8,03 \cdot 10^{-2}$	4,4 <sub>9</sub>
$1,93 \cdot 10^{-5}$	0,61 <sub>2</sub>	$7,48 \cdot 10^{-2}$	4,2 <sub>8</sub>	$9,50 \cdot 10^{-2}$	4,7 <sub>5</sub>
$2,45 \cdot 10^{-5}$	0,68 <sub>8</sub>	$7,95 \cdot 10^{-2}$	4,4 <sub>0</sub>	0,129	4,7 <sub>1</sub>
$3,37 \cdot 10^{-5}$	0,76 <sub>6</sub>	$9,34 \cdot 10^{-2}$	4,4 <sub>8</sub>	0,137	5,0 <sub>8</sub>
$3,42 \cdot 10^{-5}$	0,80 <sub>0</sub>	0,103	4,6 <sub>7</sub>	0,141	5,1 <sub>7</sub>
$5,67 \cdot 10^{-5}$	0,88 <sub>5</sub>	0,118	4,7 <sub>9</sub>	0,184	5,5 <sub>2</sub>
$6,97 \cdot 10^{-5}$	0,89 <sub>8</sub>	0,152	5,1 <sub>4</sub>	0,198	5,6 <sub>2</sub>
$1,35 \cdot 10^{-4}$	1,16 <sub>8</sub>	0,180	5,5 <sub>5</sub>	0,241	6,0 <sub>9</sub>
$1,98 \cdot 10^{-4}$	1,28 <sub>7</sub>	0,201	5,5 <sub>4</sub>	0,271	6,5 <sub>9</sub>
$2,63 \cdot 10^{-4}$	1,34 <sub>4</sub>	0,205	5,4 <sub>4</sub>	0,309	6,7 <sub>8</sub>
$2,88 \cdot 10^{-4}$	1,37 <sub>8</sub>	0,215	5,6 <sub>4</sub>	0,311	6,4 <sub>7</sub>
$6,02 \cdot 10^{-4}$	1,62 <sub>3</sub>	0,240	5,9 <sub>1</sub>	0,350	6,7 <sub>9</sub>
$6,54 \cdot 10^{-4}$	1,70 <sub>8</sub>	0,274	6,1 <sub>5</sub>	0,394	7,1 <sub>4</sub>
$1,05 \cdot 10^{-3}$	1,92 <sub>3</sub>	0,323	6,5 <sub>5</sub>	0,454	7,6 <sub>7</sub>
$1,49 \cdot 10^{-3}$	2,04 <sub>9</sub>	0,376	6,9 <sub>2</sub>		
$1,53 \cdot 10^{-3}$	2,06 <sub>8</sub>	0,383	6,9 <sub>2</sub>		
$2,30 \cdot 10^{-3}$	2,28 <sub>5</sub>	0,426	7,4 <sub>3</sub>		
$5,26 \cdot 10^{-3}$	2,69 <sub>3</sub>	0,478	8,0 <sub>3</sub>		
$0,58 \cdot 10^{-2}$	2,68 <sub>8</sub>	0,489	8,1 <sub>9</sub>		
		0,575	9,2 <sub>6</sub>		

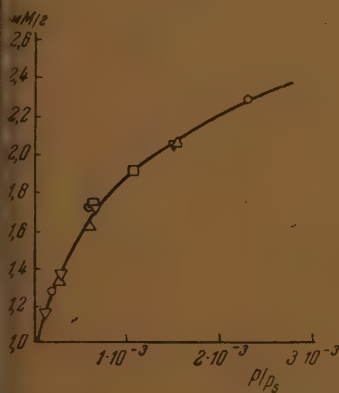


Рис. 6. Изотерма адсорбции паров азота в интервале  $p/p_s$  от 0 до  $3 \cdot 10^{-3}$

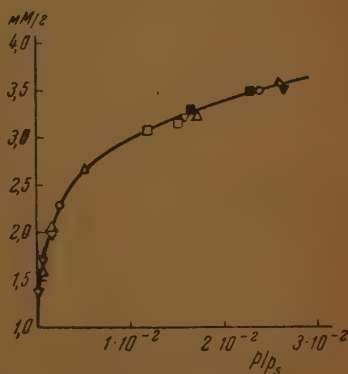


Рис. 7. Изотерма адсорбции паров азота в интервале  $p/p_s$  от 0 до  $3 \cdot 10^{-2}$

ях (температура и степень откачки), хорошо сходятся между собою как и сорбционных, так и при десорбционных измерениях.

## Обсуждение результатов

## Уравнение изотермы

Исследуя адсорбцию азота при низких давлениях, мы обнаружили крайне замедленное установление равновесия. Приходилось при каждом измерении выдерживать систему по 10 час. Если этого не делать, то получается кажущаяся пропорциональность между адсорбцией и давлением.

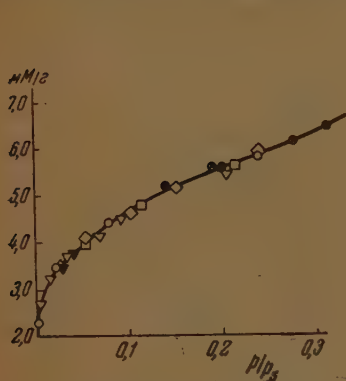


Рис. 8. Изотерма адсорбции паров азота в интервале  $p/p_s$  от 0 до 0,3

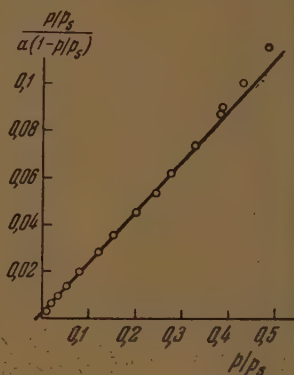


Рис. 9. Изотерма адсорбции паров азота в координатах уравнения Брунауэра-Эмметта и Теллера

отмеченная в ряде работ [12—14] («область Генри»). Столь резкие отклонения могут быть связаны с заполнением при низких давлениях особо активных неоднородных мест на поверхности и неизбежно присутствующих хотя бы в малом количестве тонких пор\*.

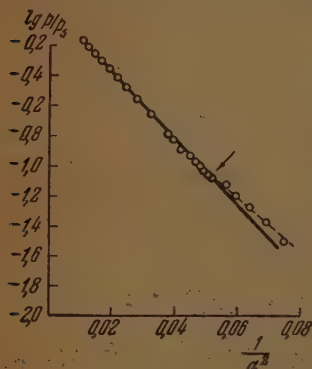


Рис. 10. Изотерма адсорбции паров азота в координатах уравнения Гаркинса и Юра

Изотерма подчиняется уравнениям Брунауэра, Эмметта и Теллера, однако только в узкой области величин относительного давления  $p/p_s$  от 0,035 до 0,33 и адсорбированных количеств  $a$  от 3,7 до 6,7 мм (рис. 9). Уравнение Гаркинса и Юра [15] охватывает интервал значений  $p/p_s$  от 0,03 до 0,58 и  $a$  от 4,35 до 9,2 мм/г (рис. 10). Одновременное выполнение этих двух уравнений, основанных на совершенно различных допущениях, связано, как было отмечено [16], с большими значениями константы  $C$  в первом из этих уравнений, которая в нашем случае равняется 70.

Хорошая применимость уравнений Брунауэра, Эмметта и Теллера и Гаркинса и Юра была нами использована для определения удельной поверхности силикагеля предложенными этими авторами методами. Величина площади, занимаемой молекулой азота в конденсированном мономолекулярном слое, нужная для расчета по первому методу, была принята равной  $16,2 \text{ \AA}^2$  [7], а коэффициент Гаркинса и Юра был принят равным

\* Исправление величин малых давлений на капиллярный эффект, вызванный разностью температур, приводит к еще более резкому искривлению изотермы.

[15]. Результаты вычислений удельной поверхности приведены в 2.

Таблица 2

Результаты определения удельной поверхности  
силикагеля из изотермы адсорбции паров  
азота различными методами

Способ расчета	Удельная поверхность м <sup>2</sup> /г
По уравнению Брунауэра, Эмметта, Теллера . . . . .	440
По уравнению Гаркинса, Юра . . . . .	430
По началу выполнения уравнения Гаркинса и Юра в расчете на плотный монослой [17] (на рис. 10 отмечено стрелочкой) . . . . .	425

Для исследования начальной круто поднимающейся части изотермы, соответствующей мономолекулярной адсорбции, были использованы уравнения Лэнгмюра, Вильямса\* и Фрейндлиха, а также недавно опубликованные уравнения М. М. Дубинина и Л. В. Радушкевича [18, 19].

Первые три уравнения оказались неприменимыми. Лучшие результаты получились при применении уравнения М. М. Дубинина и Л. В. Радушкевича в той его форме, которая была использована ими для изотерм адсорбции паров на тонкопористых активных углях. Это уравнение имеет вид:

$$a = \frac{w_0}{v_m} \exp \left[ -B \frac{T^2}{\beta^2} \left( \lg \frac{p_s}{p} \right)^2 \right], \quad (1)$$

$w_0$  — константа, представляющая адсорбционный объем адсорбента, молярный объем жидкости, пары которой адсорбируются,  $B$  — константа, характерная для адсорбента, а  $\beta$  — коэффициент аффинности характеристических кривых.

Это уравнение можно написать иначе в форме

$$\frac{av_m}{w_0} = \exp \left[ -k \left( RT \ln \frac{p_s}{p} \right)^2 \right]. \quad (2)$$

Удобно также его представить в виде

$$\theta_v = e^{-kA_a^2}, \quad (3)$$

$\theta_v$  — объемная доля заполнения адсорбционного пространства, а  $A_a$  — дифференциальная работа адсорбции.

Очевидно, что в диаграмме  $\lg a; (\lg p/p_s)^2$  уравнение М. М. Дубинина и Л. В. Радушкевича дает прямую линию. На рис. 11 изотерма адсорбции паров азота на силикагеле изображена в этих координатах. Участок изотермы, на котором сказывается эффект капилляра при низких давлениях, отмечен пунктиром. Стрелочками указаны соответствующие доли заполнения поверхности по концам прямолинейного участка графика изотермы. На рисунке видно, что уравнение М. М. Дубинина и Л. В. Радушкевича удовлетворительно передает изотерму адсорбции паров азота на силика-

\* Уравнение Вильямса хорошо описывает изотерму адсорбции на силикагеле паров метилового спирта, молекулы которого обладают большим постоянным дипольным моментом [20].

геле в широком интервале степеней заполнения его поверхности (приблизительно от 20 до 90%).

Таким образом, уравнение характеристической кривой (1) — (3) выполняется не только для адсорбции паров на активных углях, но и для адсорбции паров азота на силикагеле\*. За исключением начального участка (до 20% покрытия поверхности) адсорбция в мономолекулярной области подчиняется уравнениям (1) — (3) М. М. Дубинина и Л. В. Радushкевича, а в области конденсированного слоя — уравнению Гаркинса и Ю. Этими двумя уравнениями практически полностью описывается изотерма адсорбции паров азота во всем изученном интервале  $p/p_s$  (от 6 · 10<sup>-2</sup> до 0,5).

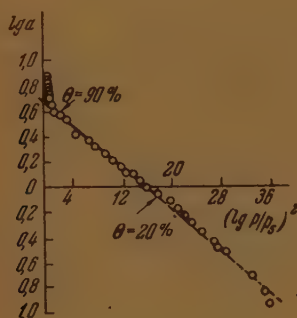


Рис. 11. Изотерма адсорбции паров азота в координатах уравнения М. М. Дубинина и Л. В. Радushкевича

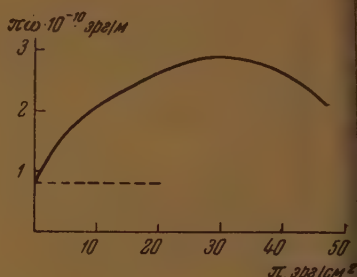


Рис. 12. Кривая зависимости  $\pi\omega$  от  $\pi$

### Состояние адсорбированного слоя азота на силикагеле при $-195,7^\circ$

Для того чтобы представить себе состояние адсорбированного слоя, мы определили величины  $\pi = s(\sigma_1 - \sigma)$  и величины  $\pi\omega = \frac{\pi\sigma}{a}$ , описанным ранее графическим способом [20]. Здесь  $\pi$  — поверхностное давление пленки, равное изменению поверхностного натяжения у поверхностного раздела от величины  $\sigma_1$  (адсорбент — вакуум) до  $\sigma$  (адсорбент — пар);  $\omega$  выражает площадь, приходящуюся на одну молекулу в поверхностном слое.

На рис. 12 представлена соответствующая кривая, выражающая зависимость  $\pi\omega$  от  $\pi$ . Эта кривая не имеет прямолинейного участка; следовательно, уравнение Фольмера-Грегга [21]

$$\pi(\omega - \omega_0) = RT \quad (2)$$

в этом случае не применимо. Следуя эмпирическому методу Грегга [21] по вершине кривой рис. 12 можно определить величину емкости мономолекулярного слоя  $a_m = 4,1$  мМ/г, что при  $\omega_0 = 16,2 \text{ \AA}^2$  дает для удельной поверхности 400 м<sup>2</sup>/г; эта величина очень близка к удельной поверхности силикагеля, оцененной другими методами (табл. 2), что говорит в пользу эмпирического метода Грегга, являющегося все же весьма приближенным.

\* Для этого крупнопористого образца. В случае гидрофильных адсорбентов форма уравнения М. М. Дубинина и Л. В. Радushкевича, т. е. показатель степени при  $A_a$  (3) может и не находится в простой связи с их структурным типом.



а рис. 13 изображена зависимость  $\pi$  от  $\omega$  для реального и идеального газа.

области конденсированного слоя применимо, как мы видели и из 10, уравнение Гаркинса и Юра, соответствующее линейному уравнению

$$\pi = \alpha - \beta\omega, \quad (5)$$

где  $\alpha$  и  $\beta$  — константы. Это уравнение справедливо в интервале от 4,35 мМ/г,  $\omega = 16-17 \text{ \AA}^2$ , т. е. от точки завершения образования мономолекулярного слоя, вплоть до  $a = 9,2 \text{ мМ/г}$ ,  $\omega = 7-8 \text{ \AA}^2$ . Первая величина вдвое меньше величины  $\omega_0 = 16,2 \text{ \AA}^2$ , соответствующей нормальной жидкости. Так

вряд ли допустимо считать, что адсорбированная пленка сжата по сравнению с состоянием жидкости, то отсюда следует, что в области линейной зависимости  $\pi$  от  $\omega$  (5), эквивалентное уравнению изотермы Гаркинса и Юра, происходит уплотнение адсорбированного слоя азота до молекулярного. На это обстоятельство не было обращено внимание при применении уравнения Гаркинса и Юра к адсорбции на твердых телах. Таким образом, мы имеем здесь дело не со сжатием конденсированного слоя или, вернее, не только с его сжатием, но и с молекулярной адсорбцией. Уравнение (5) в случае адсорбции на низкомолекулярных веществах на твердых поверхностях должно учитывать иную интерпретацию, а именно, в случае сжатия пленок негетерогенных поверхностно-активных веществ на воде, откуда оно и заимствовано Гаркинсом и Юром [22].

Уравнения М. М. Дубинина и Л. В. Радushкевича (1) — (3) пока еще не нашли простого отображения в уравнении состояния адсорбированного вещества. Возможно, что интерпретация уравнений М. М. Дубинина и Л. В. Радushкевича, с точки зрения состояния мономолекулярной пленки, также представит интерес.

Авторы выражают благодарность проф. Б. В. Ильину за поддержку этой работы.

### Выводы

1. Исследована адсорбция паров азота при температуре его кипения на тонкопористом силикагеле в интервале относительных давлений от  $10^{-6}$  до 0,5.

2. Изотерма адсорбции хорошо воспроизводима во всей области. При низких давлениях равновесие достигается весьма медленно. Прямолинейная «область Генри» не найдена.

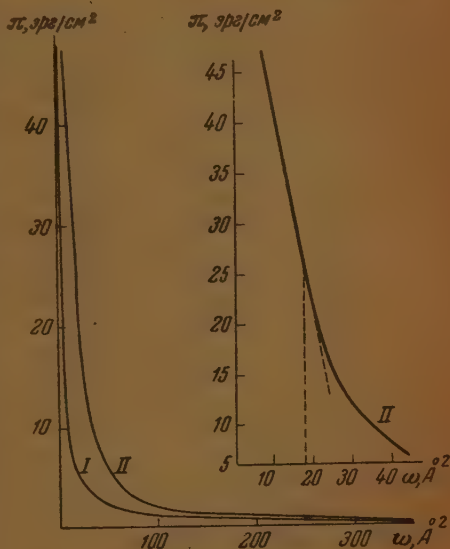


Рис. 13. Кривые зависимости поверхностного давления  $\pi$  от площади, приходящейся на одну молекулу  $\omega$ . Кривая I построена по уравнению для идеального газа, кривая II построена по опытным данным

3. Различные методы определения удельной поверхности дали близкие результаты.

4. В интервале заполнения поверхности от 20 до 90% хорошо оправдывается первое уравнение М. М. Дубинина и Л. В. Радushkevича. При более высоких заполнениях изотерма хорошо описывается уравнением Гаркинса и Юра; при этом происходит образование второго слоя адсорбированных молекул азота.

Московский государственный университет  
им. М. В. Ломоносова  
Лаборатория поверхностных явлений  
института физики

Поступила  
13. VI. 1950

#### ЛИТЕРАТУРА

1. S. Brunauer, P. H. Emmett, Journ. Am. Chem. Soc., **59**, 2682, 1937.
2. R. T. Davis, T. W. de Witt, P. H. Emmett, Journ. Phys. Chem., **51**, 1232, 1947.
3. J. Kirschbaum, R. K. Grover, Journ. Am. Chem. Soc., **70**, 1282, 1948.
4. L. G. Joyner, E. B. Weinberger, C. W. Monthermy, Journ. Am. Chem. Soc., **67**, 2182, 1945.
5. L. F. Gleysteen, V. R. Deitz, Journ. Research Nat. Bur. Standards, **58**, 285, 1945.
6. D. M. Gans, U. S. Brooks, G. E. Boyd, Ind. Eng. Chem. Anal. Ed., **14**, 396, 1942.
7. S. Brunauer, P. H. Emmett, E. Teller, Journ. Am. Chem. Soc., **60**, 306, 1938.
8. А. В. Киселев, Журн. физ. хим., **23**, 452, 1949.
9. А. В. Киселев, Вестн. МГУ, № 11, 111, 1949.
10. А. В. Киселев, Коллоидн. журн., **2**, 17, 1936.
11. А. В. Киселев, И. А. Вормс, В. В. Киселева, В. Н. Корнилова, Н. А. Штоквиц, Журн. физ. хим., **19**, 83, 1945.
12. A. Magnus, H. Giebelhain, Z. phys. Chem., **A 143**, 265, 1929.
13. A. Magnus, A. Müller, Z. phys. Chem., **A 148**, 241, 1930.
14. A. Magnus, R. Keiffer, Z. anorg. allg. Chem. **179**, 215, 1929.
15. W. D. Harkins, G. Jura, Journ. Am. Chem. Soc., **66**, 1362, 1944.
16. W. D. Harkins, G. Jura, Journ. Chem. Phys., **13**, 449, 1945.
17. А. В. Киселев, Успехи химии, **14**, 367, 1945.
18. М. М. Дубинин, Л. В. Радushkevич, ДАН, **60**, 331, 1947.
19. М. М. Дубинин, Е. Д. Заверина, Л. В. Радushkevич, Журн. физ. хим., **21**, 1351, 1947.
20. А. В. Киселев, Н. Н. Микос, М. А. Романчук, К. Д. Щербова, Журн. физ. хим., **21**, 1223, 1947.
21. S. S. Gregg, Journ. Chem. Soc. **1942**, 697.
22. W. D. Harkins, G. Jura, Journ. Chem. Phys., **11**, 430, 1943.

Примечание при корректуре. Со времени сдачи этой работы в печать были следующие наши работы по адсорбции паров и растворенных веществ на силикагеле: ДАН, **76**, 85, 1951; **77**, 625, 1951; **77**, 77, 1951; **77**, 1047, 1951.

## МЕТОД ПРЕДЕЛЬНЫХ ТЕПЛОТ

## I. ТЕПЛОТА ОБРАЗОВАНИЯ СЕРНИСТОГО ЖЕЛЕЗА

*А. Ф. Капустинский и Ю. М. Голутвин*

При взаимодействии железа с серой образуется несколько сульфидов:  $\text{Fe}_2\text{S}_3$ ,  $\text{FeS}_2$  и ряд фаз переменного состава с ограниченной протяженностью (Fe и S в  $\text{FeS}$ ,  $\text{FeS}$  в  $\text{FeS}_2$ ,  $\text{FeS}_2$  в  $\text{FeS}$  и S в  $\text{FeS}_2$ ) [1].

Термохимически достаточно полно изучены только  $\text{FeS}$  и  $\text{FeS}_2$ . В особенности многочисленны исследования по  $\text{FeS}$ , согласно которым  $\Delta H_{298,1}^\circ$  варьирует от  $-18,8$  до  $-25,5$  ккал/моль. Тщательный анализ этих данных приводит к  $\Delta H_{298,1}^\circ = -22,8$  ккал/моль, рекомендованной как стандартное значение в критической сводке Э. В. Брицке и А. Ф. Капустинского с сотрудниками [2]. Хотя эта величина благодаря многочисленным работам, использующим различные методики, установлена достаточно точно, обращает на себя внимание значительность расхождений между данными различных авторов, что уже неоднократно отмечалось в литературе [3].

Наиболее достоверными следует считать данные, полученные путем прямого измерения теплового эффекта взаимодействия железа с серой в бомбе, с последующим определением количества прореагировавшей серы и внесением результатов к молю сульфидной серы (Цоймер и Рот [4], Ф. Капустинский и И. А. Коршунов [5]). Однако и здесь, не говоря о результатах более ранних прямых определений, не сопровождаемых анализом продуктов реакции, расхождения довольно значительны. Наблюдающиеся расхождения становятся понятными, если учесть возможность образования при прямом синтезе сразу нескольких сульфидов, тем более что весьма сложное полное исследование фазового состава продуктов реакции не производилось ни в одной из описанных в литературе калориметрических работ по  $\text{FeS}$ .

В настоящей работе мы поставили своей целью путем прямых измерений в бомбе теплот реакций смесей серы и железа различного стехиометрического состава получить теплоту образования  $\text{FeS}$ , свободную от побочных эффектов. В результате нам удалось развить новый метод определения теплот образования сульфидов, учитывающий сложность протекающих в бомбе процессов. Этот метод, названный нами методом «предельных теплот» и проверенный в данной работе на сульфиде железа, был применен в дальнейшем к целому ряду других сложных объектов.

Прежде чем излагать его характерные черты, опишем примененную нами калориметрическую установку, технику экспериментирования и непосредственные результаты измерений.

## ЭКСПЕРИМЕНТАЛЬНАЯ ЧАСТЬ

Применявшаяся нами калориметрическая установка изображена на рис. 1.

Внутри шкафа 1 со стеклянными стенками, одна из которых открывалась и служила дверцей, помещался прямоугольный бак 2, вмещающий около 60 л воды и служивший изотермической оболочкой калориметра.

При помощи толзулового спирального терморегулятора 3, соединенного с электронным реле (не показанным на схеме), управляющим электрическим нагревателем 4 в сочетании с мощной пропеллерной мешалкой 2, приводимой в движение электромотором (для воды, соединяющего мешалку с мешалкой, в деревянной боковой перекладине шкафа проделаны два небольших отверстия), температура воды в оболочке поддерживалась постоянно с точностью  $\pm 0,003^\circ$ .

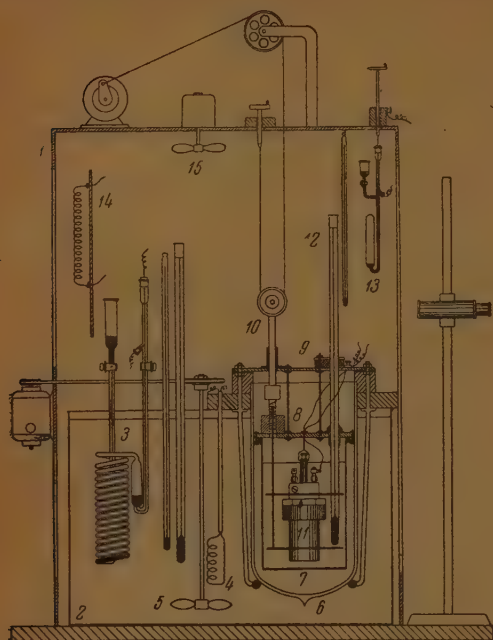


Рис. 1

Сквозь крышки проходил шток 10 возвратно-поступательной мешалки. Мешалка состояла из двух подковообразных латунных лопастей с отверстиями, укрепленных одна над другой на стержне, термически изолированном от штока. Мешалка приводилась в движение электромотором, снабженным регулятором скорости, и совершала 105 качаний в минуту. К нижней крышке 8 подвешивалась на подводящих ток проводах мини-бомба Берглю — Рота 11 с внутренним объемом 25 мл, изготовленная из нержавеющей стали V-2A.

Отсчеты температуры в калориметре производились с точностью  $\pm 0,001^\circ$  через каждые 30 сек. при помощи термометра Бекмана 12 с делениями в  $0,01^\circ$ , снабженного паспортом ВИС, и катетометра, установленного снаружи шкафа, при постукивании термометра при помощи соответствующего устройства.

Для того чтобы устранить влияние колебаний температуры воздуха в помещении, где находился калориметр, воздух внутри шкафа термостатировался с точностью  $\pm 0,1^\circ$ . Термостатирование осуществлялось при помощи толзулового терморегулятора 13, управляемого снаружи шкафа, реле (не показанного на схеме), электрического нагревателя воздуха 14, помещенного за экраном, и вентилятора 15.

Поскольку термостатирование водяной рубашки осуществлялось со значительно большей точностью ( $\pm 0,003^\circ$ ), чем воздуха ( $\pm 0,1^\circ$ ), то для обеспечения нормально термостатирования водяной оболочки температура воздуха поддерживалась на градус ниже, чем в оболочке, т. е.  $24^\circ \text{C}$ . В летние месяцы применялось охлаждение воздуха внутри шкафа змеевиками с протекающей по ним холодной водой (на схеме за местом вставки места не показаны), что позволяло термостатирующему устройству поддерживать необходимую температуру воздуха в  $24^\circ \text{C}$ .



Водяной эквивалент калориметра определялся как по теплоте сгорания бензойной кислоты, так и электрическим методом. Для сжигания в бомбе применялся свежесплавленный препарат бензойной кислоты с температурой плавления (в капилляре)  $3^{\circ}\text{C}$ , полученный трехкратной перекристаллизацией из горячей воды реактивной бензойной кислоты, с последующей возгонкой и окончательным высушиванием при  $5^{\circ}\text{C}$ .

В методике сжигания бензойной кислоты в бомбе калориметра были учтены ука-ли для точной калориметрии в бомбе Уошборна [6] и Джессупа и Грина [7]. В соответствии с последними двумя авторами теплота сгорания полученной нами бензойной кислоты в сжатом до 30 атм кислороде при  $25^{\circ}\text{C}$  была принята равной  $26\,440$  дж ( $7,8$  кал) на  $1$  г. Зажигание таблеток производилось при помощи платиновой про-рочки, накаливаемой электрическим током, и хлопчатобумажной нити, запрессован-ной в таблетку. В результате калибровки по эталону тепловое значение калориметра устой бомбой, содержащего  $870,0$  г воды, оказалось равным  $993,7 \pm 7,0$  ( $\pm 0,7\%$ ) дж/град (среднее из 5 опытов).

Употреблявшиеся при калибровке по электрическому методу делитель напряже-ния, стандартное сопротивление и элемент Вестона были проверены ВИМС. Потен-циометр «11-4» позволял производить отсчеты с точностью  $\pm 0,2$  мВ. Измерение вре-мени прохождения тока производилось выверенным секундомером, заблокированным устройством, включающим и выключающим ток с точностью до  $0,1$  сек. Приборы тировались по обычной схеме [8].

Полученное электрическим способом тепловое значение системы составило  $994,7 \pm 7,7$  ( $\pm 0,8\%$ ) ккал/град (среднее из 13 опытов).

В качестве окончательного значения было принято среднее из всех 18 опытов ка-либровки по эталону и электрическому методу, равное  $992,0 \pm 7,5$  ( $\pm 0,76\%$ ) дж/град. При проведении опытов каждый раз учитывалась теплоемкость содержимого бомбы, определявшаяся расчетом.

Зажигание смесей серы и железа в бомбе производилось при помощи спирали из вольфрамовой проволоки диаметром  $0,2$  мм и сопротивлением около  $7\,\Omega$  м, мгновенно пере-ключаемой при включении переменного тока напряжением  $120\text{V}$ . Для измерения тепло-зажигания последовательно с калориметрической бомбой в цепь включался простей-ший калориметр сравнения, состоявший из пробирки, в которую был погружен термо-р с делениями в  $0,2^{\circ}$ , окруженный на некотором расстоянии константановой прово-дой (диаметр  $0,25$  мм, длина  $115$  см и сопротивление  $10\,\Omega$ ), изолированной тонкой хлопчатобумажной обмоткой, пропитанной бакелитовым лаком. Пробирка со ртутью помещена для уменьшения теплообмена в другую, большую по размерам, посере-бренную снаружи и, наконец, в посеребренный изнутри наружный сосуд, вмонти-рованный в подставку.

Для искрогашения при перегорании зажигающей проволоочки параллельно бомбе включался станиоловый конденсатор емкостью в  $1\,\mu\text{F}$ .

При включении тока, зажигающая проволоочка за время  $\tau$  нагревается от  $25^{\circ}$  (температура калориметра) до температуры, приблизительно той же температуры плавления, и перегорает.

Если сопротивление проволоочки в холодном состоянии обозначить  $R_0$ , ее эффективное сопротивление во время зажигания можно получить по-ложением на некоторый коэффициент, являющийся функцией темпе-ратуры проволоочки, которая, в свою очередь, учитывая быстроту нагрева, пропорциональна количеству тепла, выделяющемуся на единицу длины проволоочки, т. е.  $I^2\tau$ , где  $I$  — сила тока.

Таким образом, для теплоты, выделяемой электрическим током при за-жигании реакционной смеси, мы можем написать:

$$Q_{\text{важ}} = 0,24 I^2 \tau R_0 f(I^2 \tau). \quad (1)$$

Количество тепла, выделяющееся во вспомогательном калориметре теплоемкостью  $C$ , равно:

$$Q_{\text{всп}} = C \Delta T = 0,24 I^2 \tau R_0; \quad (2)$$

где  $\Delta T$  — подъем температуры во вспомогательном калориметре и  $R_0$  — постоянное сопротивление вспомогательного калориметра, принимаемое зависящим от изменения температуры в интервале нескольких градусов.

Подставляя в уравнение (1) значение  $I^2 \tau$ , взятое из (2), получаем

$$Q_{\text{важ}} = k \Delta T R_0 f(\Delta T), \quad (3)$$

где  $k$  — константа.

Принимая во внимание то обстоятельство, что зажигающая проволочка перегорает при примерно всегда одной и той же температуре, близкой к температуре плавления, следует заключить, что коэффициент эффективного сопротивления будет сразу

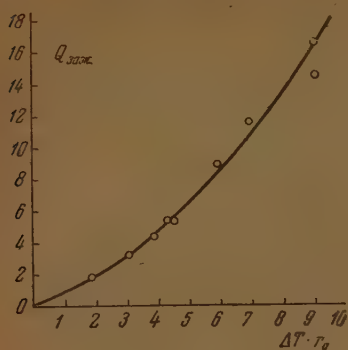


Рис. 2

фическая зависимость  $Q_{\text{зак}}$  от  $\Delta T r_0$ , изображенная на рис. 2 и использованная в дальнейшем в качестве калибровочной кривой для определения  $Q_{\text{зак}}$  (результаты измерений в табл. 1).

$$Q_{\text{зак}} = \varphi(\Delta T r_0).$$

На основании измерений под температуры в основном и вспомогательном калориметрах, определяемых в обоих случаях графическим построением, при пережигании проволоки с известным  $r_0$  в кварцевом песке смеси уже готового сульфида железа с железным порошком, при наполнении бомбы азотом или водородом (атмосферное давление) была построена

Таблица

$Q_{\text{зак}}$ кал	$r_0 \Omega$	$\Delta T^\circ$	$\Delta T r_0$	Наполнение бомбы	
4,27	0,665	5,85	3,89	FeS+Fe	N <sub>2</sub>
9,13	0,960	6,10	5,83	То же	То же
2,00	0,300	6,14	1,84	» »	» »
5,35	0,757	6,25	4,65	» »	» »
3,18	0,498	6,17	3,08	» »	» »
5,56	0,620	6,80	4,22	SiO <sub>2</sub>	N <sub>2</sub>
11,73	1,140	6,05	6,90	То же	То же
14,40	1,560	5,86	9,15	» »	» »
16,60	1,620	5,60	9,06	» »	N <sub>2</sub>

Менее успешной оказалась попытка замены вспомогательного калориметра амперметром тепловой системы (с удлиняющейся нитью), работающим при измерении мгновенных импульсов тока в условиях, близких к адиабатическим.

В этом случае был получен значительно больший разброс точек на графике, заставивший нас предпочесть способ вспомогательного калориметра. Исходные препараты получались следующим образом. Природная сера в виде крупных прозрачных кристаллов перегонялась, обрабатывалась  $\text{NH}_4\text{OH}$ , перекристаллизовывалась из  $\text{CS}_2$  и тонко измельчалась растиранием в агатовой ступке.

Порошок чистого железа готовился восстановлением водородом по способу, описанному Капустинским и Коршуновым [5]. Полученное железо содержало 99,79% Fe, согласно весовым, и 100,18% Fe, согласно перманганатометрическим определениям, что, очевидно, обуславливалось наличием невыгоревших при прокаливании оксалата частиц угля. Качественные испытания показали отсутствие посторонних примесей. Наличие же следов невосстановившейся окиси железа следов углерода не могло повлиять на точность работы.

Корундовый тигель, содержащий смесь отвешенных количеств серы и железа и окруженный плотно прилегающим алюминиевым чехлом, способствовавшим выравниванию температуры, помещался в съемное кольцо, соединенное с крышкой бомбы к токоподводящим стержням которой заранее прикреплялась зажигающая стальная проволочка. Бомба завинчивалась, продувалась и наполнялась азотом под атмосферным давлением и вставлялась в стакан калориметра, содержащий 870,0 воды при температуре на 0,5—1° ниже температуры термического равновесия.

Через 4—6 час. работы калориметра, после выравнивания температуры отдельных частей и установления равномерного хода, включался рубильник зажигающего устройства и каждые  $\frac{1}{2}$  мин. параллельно с отсчетом температуры по калориметрическому термометру отмечалась температура вспомогательного калориметра. Поправка радиацию в главном калориметре вычислялась по Реньо—Пфаундлеру—Усову [9].

По окончании опыта металлоподобный продукт реакции подвергался анализу на содержание сульфидной серы в приборе, изображенном на рис. 3. Бутылка анализатора *A* емкостью около 1,5 л с находящимся в ней тиглем с сульфидом при помощи кранов 1 и 2 попеременно откачивалась масляным насосом и наполнялась чистым и сухим водородом.



Рис. 3

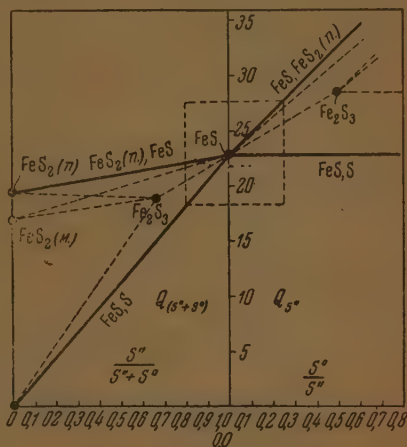


Рис. 4

После двух-, трехкратного повторения этой операции прибор откачивался окончательно, и кран 3 перекрывался.

В делительную воронку *B* наливалось 100—150 мл горячей разбавленной 1 : 1 соляной кислоты, которая при помощи крана 3 переводилась в суд *A*.

Для ускорения разложения сульфида прибор нагревался на водяной бане. По окончании разложения внутрь прибора через воронку и кран 3 добавлялось отмеренное количество титрованного 0,1 *N* раствора иода, избыток которого после открывания прибора оттитровывался тиосульфитом. По количеству иода, прореагировавшего с сероводородом, определялось количество образовавшейся сульфидной серы.

Результаты произведенных таким образом измерений сведены в табл. 2.

### Метод «предельных теплот» и теплота образования FeS

Учитывая сложность протекающих в бомбе процессов, мы разработали методику интерпретации полученных в настоящей работе экспериментальных данных методом, названный нами методом «предельных теплот» по аналогии наиболее точным методом определения молекулярных весов — методом «предельных плотностей». Обоснование предлагаемого термина вытекает из излагаемого ниже описания. Сущность метода поясним при помощи рис. 4.

Для построения этого графика наряду с вышеупомянутым стандартом для FeS мы использовали следующие значения теплот образования сульфидов. Наиболее поздние определения теплот горения в бомбе для пирита и марказита, произведенные А. А. Байковым и Вартновским [10],

С. В. Липиным, И. Н. Усковым и В. Р. Клокман [3], и вычисления Келли [11], основанные на данных различных авторов по равновесию диссоциации пирита, приводят к следующим усредненным значениям  $\Delta H_{298,1}^\circ$  —  $39 \pm 2$  ккал/моль для пирита и  $-34 \pm 3$  ккал/моль для марказита.

Латимер [12], исходя из грубых электрохимических определений Ея и Гека и Гордона [13] для полученного в водных растворах  $\text{Fe}_2\text{S}_3$ , дал приближенную оценку свободной энергии образования этого соединения. Отсюда мы оценили  $\Delta H_{298,1}^\circ$   $\text{Fe}_2\text{S}_3$  равной  $-57$  ккал/моль (2). При помощи этих данных мы вычислили теплоты образования из элементов на грамм атом общего количества серы ( $Q_{(S''+S^\circ)}$ ) и на грамм атом сульфидной серы ( $Q_{S''}$ ) для смесей, которые могут получиться в качестве конечных продуктов взаимодействия элементарных S и Fe.

Полученные значения  $Q_{(S''+S^\circ)}$  и  $Q_{S''}$  отложены на рис. 4 соответственно против значений  $\frac{S''}{S''+S^\circ}$  и  $\frac{S^\circ}{S''}$  для этих смесей.

При этом мы пользовались не истинными значениями  $\frac{S''}{S''+S^\circ}$  и  $\frac{S^\circ}{S''}$ , а теми, которые должны были бы получиться при анализе смеси данного состава способом, описанным в экспериментальной части настоящей работы. В соответствии с этим мы понимали под сульфидной серой серу, выделяющуюся в виде  $\text{H}_2\text{S}$  при разложении данного продукта соляной кислотой, а под  $S^\circ$  всю остальную серу. Так, например, для чистого  $\text{FeS}_2$ , не разлагающегося соляной кислотой, кажущиеся значения  $\frac{S''}{S''+S^\circ}$  и  $\frac{S^\circ}{S''}$  должны быть соответственно равны 0 и  $\infty$ .

Путем вывода уравнений вида

$$Q_{(S''+S^\circ)} = f\left(\frac{S''}{S''+S^\circ}\right) \text{ и } Q_{S''} = f\left(\frac{S^\circ}{S''}\right)$$

для тепловых балансов процессов взаимодействия серы с железом, приводящих к образованию различных конечных продуктов, нетрудно убедиться в том, что нанесенные на рис. 4 линии действительно должны быть прямыми.

Кроме бинарных смесей компонентов диаграммы, которым отвечают эти прямые, при реакции серы с железом могут образоваться и более сложные смеси, в самом общем случае состоящие из всех известных конечных продуктов этого взаимодействия.

Однако для всех этих случаев возможные значения  $Q_{(S''+S^\circ)}$  и  $Q_{S''}$  должны лежать внутри области, ограниченной линиями процессов с максимальной и минимальной энергиями (жирные линии на рис. 4), сходящимися в точке диаграммы, отвечающей образованию чистого FeS. Такими пограничными линиями являются  $\text{FeS} - \text{FeS}_2$  (пирит) и  $\text{FeS} - \text{элементарная сера}$ .

Таким образом, если выполнить указанное построение, используя достаточно большое число непосредственных опытных данных, то могут получиться диаграммы следующих видов.

В случае равной вероятности образования всех конечных продуктов и отсутствия какой-либо правильности в их количественном распределении на графике должны получиться секторы точек прямолинейные, образующие которых сходятся на оси ординат в точке, отвечающей теплоте образования FeS ( $\frac{S''}{S''+S^\circ} = 1$  и  $\frac{S^\circ}{S''} = 0$ ).

Правильное проведение пограничных образующих значительно облегчается тем, что значения  $Q_{(S''+S^\circ)}$  на одной половине графика не могут быть больше, а значения  $Q_{S''}$  на другой — меньше теплоты образования FeS.

Если же будет существовать какая-либо правильность в количественном распределении конечных продуктов или будут образовываться смеси



Константа Ньютона за $\frac{1}{2}$ мин.	Полем температуры с поправкой на радиацию	Время деления калетра	Всего выделено тепла в кал.	Поправка на теплоту сгорания смеси	Теплота реакции серы с железом в кал. (q)	Взято грамм		Атомный состав исходной смеси S Fe	Образовалось сульфидной серы в граммах (S'')	Осталось в тигле после выфидной серы (S')	$\frac{S''}{S''+S'}$	$Q(S''+S') = \frac{q \cdot 32,06}{(S''+S') \cdot 1000}$ в ккал в моль	$Q_{S''} = \frac{q \cdot 32,06}{S'' \cdot 1000}$ в моль	
						Fe	S							
-0,00070	0,431°	993,7	428,3	3,8	424,5	1,0920	0,6031	0,96	0,5749	0,0282	0,0490	0,9532	22,57	23,67
-0,00128	0,453°	993,7	450,2	3,2	447,0	1,1033	0,6470	1,02	0,5882	0,0588	0,1000	0,9091	22,15	24,36
-0,00020	0,428°	993,7	425,3	2,7	422,6	1,1151	0,6021	0,94	0,5611	0,0410	0,0731	0,9319	22,50	24,15
-0,00146	0,416°	993,7	413,4	2,3	411,1	1,1312	0,5790	0,89	0,5590	0,0200	0,0358	0,9654	22,76	23,58
-0,00127	0,374°	993,5	371,6	1,9	369,7	1,1282	0,4807	0,74	0,4621	0,0186	0,0402	0,9613	24,66	25,65
-0,00065	0,348°	993,5	345,7	1,8	343,9	1,1074	0,4513	0,71	0,4409	0,0104	0,0236	0,9770	24,43	25,01
-0,00060	0,322°	993,5	319,9	4,0 <sup>1</sup>	315,9	1,1994	0,4152	0,60	0,4051	0,0101	0,0249	0,9757	24,39	25,00
-0,00114	0,452°	993,6	449,1	4,6 <sup>2</sup>	444,5	1,1192	0,6248	0,97	0,5974	0,0274	0,0459	0,9562	22,81	23,85
-0,00043	0,505°	993,6	501,8	1,8	500,0	1,1223	0,8101	1,26	0,6006	0,1528 <sup>3</sup>	0,2544	0,7972	21,28	26,69
-0,00103	0,505°	993,6	501,8	1,8	500,0	1,1304	0,7821	1,21	0,6150	0,1188 <sup>4</sup>	0,1932	0,8381	21,84	26,06
-0,00080	0,388°	993,5	385,5	2,0	383,5	1,1338	0,5121	0,79	0,5004	0,0117	0,0234	0,9772	24,01	24,57
-0,00117	0,370°	993,5	367,6	2,3	365,3	1,1270	0,4832	0,74	0,4684	0,0148	0,0316	0,9694	24,24	25,00
-0,00070	0,300°	993,5	298,0	2,1	295,9	1,1303	0,3966	0,61	0,3930	0,0036	0,0092	0,9909	23,92	24,14
-0,00056	0,385°	993,5	382,5	2,7	379,8	1,1318	0,5040	0,78	0,4925	0,0090 <sup>5</sup>	0,0183	0,9821	24,28	24,72

<sup>1</sup> По приборам (2,9 A; 3,0 V; 1,9 сек.).<sup>2</sup> По приборам (3,2 A; 4,0 V; 1,5 сек.).<sup>3,4,5</sup> С учетом поправки на испарение из тигля соответственно 0,0567; 0,0483 и 0,0025 г серы.

только двух продуктов, то на графике получатся линии (в последнем случае обязательно прямые), экстраполяция которых приводит в ту же точку. Разумеется, для получения надежных результатов, экспериментальный промеренный интервал должен достаточно близко подходить к значению

$$\frac{S''}{S'' + S^0} = 1 \text{ и } \frac{S^0}{S''} = 0.$$

Отсутствие соединений, более богатых железом, чем FeS, малая растворимость Fe в твердом FeS и, очевидно, еще меньшая в более богатых сернистых сульфидах — все это говорит о том, что возможное присутствие непрореагировавшего металлического железа в реально получаемых продуктах реакции в бомбе не может вызвать изменения общего строения полученных диаграмм по сравнению с теоретической схемой, изображенной на рис. 4.

Обсуждаемое построение в применении к материалам табл. 2, изображено на рис. 5 (соответствующий интервал нанесен на рис. 4 в виде пунктирного квадрата).

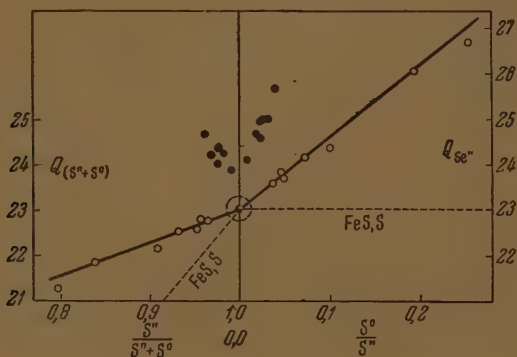


Рис. 5

Рассмотрение рис. 5 показывает, что полученные нами данные распадаются на две группы. Один ряд опытов (атомное соотношение S и Fe в взятой для реакции смеси  $\frac{S}{Fe} < 0,8$ ) образует группу точек вблизи

$\frac{S''}{S'' + S^0} = 1$  и  $\frac{S^0}{S''} = 0$ , отличающуюся аномально высокими значениями  $Q(S'' + S^0)$  и  $Q_{S''}$  (черные кружки на рис. 5). Это особенно бросается в глаза на левой половине графика, где значения  $Q(S'' + S^0)$  превышают теплоту образования FeS, чего не может быть ни для одного из известных сульфидов железа.

Верхние границы  $Q(S'' + S^0)$  и  $Q_{S''}$  другого ряда опытов (светлые кружки на рис. 5) образуют прямые, сопоставление углов наклона которых с рис. 4 показывает, что они должны проходить между линиями FeS—Fe<sub>2</sub>S<sub>3</sub> и FeS—FeS<sub>2</sub> (марказит), почти совпадая с последней.

Однако, принимая во внимание ранее сказанное, такой угол наклона может отвечать очень многим комбинациям, составленным из FeS, FeS<sub>2</sub>(и), FeS<sub>2</sub>(и), Fe<sub>2</sub>S<sub>3</sub> и S—как растворенной в FeS, так и не связанной. Микроскопическое исследование продуктов реакции в бомбе, выполненное по нашей просьбе С. А. Юшко, дало следующие результаты.

Изучение в отраженном свете шлифа, приготовленного из продукта реакции смеси S и Fe такого же состава, что и в опыте 6 (I группа, черные кружки), обнаружило структуру, аналогичную структуре природного пирротина.

В шлифе II группы (состав исходной смеси тот же, что и в опыте 10) между зернами пирротина обнаружены тонкие прожилки более светлого и одного минерала, кое-где в поле зрения микроскопа, переходящие в группотчетливо сформированных кубиков, значительно менее анизотропных, пирротин.

При определении сульфидной серы в продуктах II группы, в анализе оставалось небольшое количество темных хлопьев, не растворимых в  $\text{HCl}$  и содержащих  $\text{S}$  и  $\text{Fe}$ .

На основании приведенных соображений можно сделать вывод о совместном образовании  $\text{FeS}$  и пирита в опытах II группы. Кроме того, в продуктах обеих групп мы обнаружили незначительные количества не связанной серы, экстрагируемой  $\text{CS}_2$ .

Учитывая все вышесказанное и принимая во внимание малую вероятность существования каких-либо иных, кроме описанных в литературе, процессов, можно дать следующую вероятную картину процессов, наблюдаемых на рис. 5.

При передвижении от чистого  $\text{FeS}$  ( $\frac{S''}{S'' + S^0} = 1$  и  $\frac{S^0}{S''} = 0$ ) в сторону

увеличения доли сульфидной серы происходит образование твердых растворов  $\text{S}$  в  $\text{FeS}$  неизвестного типа с аномально высокими теплотами образования (черные кружки).

Область существования этих растворов простирается до максимального избытка серы приблизительно в 1 атом на 25 молекул  $\text{FeS}$  ( $\frac{S^0}{S''} = 0,038$ ).

Воспользовавшись природой этих растворов, можно сделать предположение, что они сохраняют обычную для  $\text{FeS}$  решетку  $\text{NiAs}$  типа, но вследствие малого количества избыточной серы в ней не образуется пустот на местах атомов железа, так это имеет место в природных пирротинах, содержащих значительно большее количество избыточной серы [14, 15], а происходит некоторое сжатие межатомных расстояний, позволяющее разместить избыточные атомы серы.

Возможно и иное объяснение природы этих растворов. Хегг и Сюксерф [14] вычислили влияние на плотность  $\text{FeS}$ , оказываемое замещением некоторых атомов  $\text{Fe}$  атомами  $\text{S}$  (увеличение плотности) и удалением атомов  $\text{Fe}$  из некоторых узлов решетки (уменьшение плотности с ростом избытка серы). Последнее предположение подтверждается экспериментальными определениями плотности пирротинов, состав которых выражается формулой  $\text{Fe}_n\text{S}_{n+1}$  (где  $n$  — варьирует от 6 до 11).

Мы можем предположить, что в полученных нами фазах происходило замещение атомов  $\text{Fe}$  атомами  $\text{S}$ , возможное лишь до очень небольшого избытка  $\text{S}$ , указанного выше, сопровождавшееся увеличением плотности теплоты образования. Дальнейшее увеличение избытка серы вызвало переход в обычную структуру пирротина с пустотами.

При переходе этого критического избытка серы дальнейшее передвижение на рис. 5 в сторону уменьшения доли сульфидной серы происходит по прямым, проведенным через светлые кружки в левой и правой частях диаграммы, которые отвечают образованию в качестве конечных продуктов:  $\alpha\text{-FeS}$  (нормальный пирротин),  $\text{FeS}_2$  (пирит) и оставшейся несвязанной серы.

Экстраполяция прямых, проведенных через светлые кружки, приводит к теплоте образования  $\text{FeS}$  для устойчивой при  $298,1^\circ \text{K}$  модификации, по реакции:  $\text{Fe}(\alpha) + \text{S}(\text{ромб}) = \text{FeS}(\alpha)$ ;  $\Delta H_{298,1} = -23,0 \pm 0,3$  ккал/моль. Оценка опытной ошибки в  $\pm 0,3$  ккал/моль произведена из сопоставления полученного нами значения  $\Delta H_{298,1}^{\text{FeS}}$  как с ранее принятым стандартом для  $\text{FeS}$   $\Delta H_{298,1} = -22,8$  ккал/моль, так и с последними исследованиями Ф. Капустинского и С. И. Шарова [16] по редукционному равновесию  $\text{FeS}$  с  $\text{H}_2$ . Указанные авторы получили для  $\text{FeS}(\beta)$   $\Delta H_{298,1} = -21,92$  ккал/моль. Заимствуя у Келли [11] теплоту перехода  $\beta$ -модифика-

ции в  $\alpha$ :  $\Delta H_{298,1}^{\circ} = -1,37$  ккал/моль, получаем для  $\text{FeS}(\alpha)$   $\Delta H_{298,1}^{\circ} = -23,3$  ккал/моль.

Приведенное сопоставление указывает на полную применимость метода «предельных теплот» к сложным системам, в которых протекает одновременно образование нескольких продуктов реакции, какой, например, является изученная нами система железо — сера.

В заключение выражаем благодарность доц. С. А. Юшко за помощь оказанную в проведении микроскопических исследований.

### Выводы

1. В результате прямых калориметрических измерений над системой железо — сера, установлено образование в продуктах реакции наряду с  $\text{FeS}$ , высших сульфидов железа, оказывающее сильное влияние на тепловой эффект и могущее привести, при неучитывании этого фактора, к значительной ошибке калориметрических измерений.

Наряду с известными продуктами взаимодействия железа и серы обнаружено существование ограниченной области твердых растворов S в Fe аномального типа, обладающих теплотами образования на моль от общего количества серы большими, чем у чистого  $\text{FeS}$ .

2. Разработан новый метод определения теплот образования сульфидов металлов, учитывающий сложность протекающих в бомбе реакций (Метод «предельных теплот».)

3. Дан метод измерения тепла, вводимого с электрическим током при зажигании реакционных смесей накаливаемой проволокой (метод вспомогательного калориметра), и предложена удобная модификация способа калориметрического определения сульфидной серы в продуктах реакции в бомбе.

4. При помощи разработанной методики определена теплота образования в стандартных условиях  $\text{FeS}(\alpha)$   $\Delta H_{298,1}^{\circ} = -23,0 \pm 0,3$  ккал/моль.

Химико-технологический институт  
им. Д. И. Менделеева  
Москва

Поступила  
17. VII. 1950

### ЛИТЕРАТУРА

1. Gmelin's, Handb. d. a. Ch., Eisen (59) 1932.
2. Э. В. Бридке, А. Ф. Капустинский и сотр. Термические константы неорганических веществ, Изд-во АН СССР, 1949.
3. С. В. Липин, И. Н. Усков и В. Р. Клокман, Журн. прикл. хим., 15, 411, 1942.
4. H. W. Zeumer u. W. Roth, Zs. f. phys. Ch., A, 173, 365, 1935.
5. А. Ф. Капустинский и И. А. Коршунов, Журн. физ. хим., 11, 213, 1938. Acta Physico-chim. URSS, 10, 259, 1939; Труды Горьковского гос. ун-ва, 2, 48, 1939.
6. E. W. Washburn, B. S., Journ. Research., 10, 525, 1933.
7. R. S. Jessup a. C. B. Green, B. S., Journ. Research., 13, 469, 1934.
8. См., например, A. Weissberger, Physical methods of org. chemistry, 1943.
9. В. Ф. Лугинин и А. Н. Щукарев, Руководство к калориметрии, Москва, 1905.
10. А. А. Байков, Журн. Русс. мет. об-ва, 174, 1925.
11. K. Kelley, Bur. of Mines. Bull., 406, 1937.
12. W. M. Latimer, The Oxidation States of the Elements, New York, 1938.
13. K. Jellinek u. H. Gordon, Zs. f. phys. Ch., 112, 207, 1924.
14. G. Hägg u. H. Sücksdorf, Zs. f. phys. Ch., B 22, 444, 1933.
15. А. Ф. Уэллс, Строение неорганических веществ, Москва, 1948.
16. А. Ф. Капустинский и С. И. Шаров, ДАН 33(6), 405, 1941.



## МЕТОД ПРЕДЕЛЬНЫХ ТЕПЛОТ

## II. ТЕПЛОТА ОБРАЗОВАНИЯ СЕЛЕНИСТОГО ЖЕЛЕЗА

А. Ф. Капустинский и Ю. М. Голутвин

Система железо — селен изучена значительно хуже системы железо — а. Однако имеющиеся в литературе сведения говорят о значительном дстве в поведении этих систем [1].

Единственными данными по теплоте образования FeSe являются бые косвенные измерения Фабра [2], приводящие к значению  $\Delta H^\circ = -13,2$  ккал/моль (при комнатной температуре) [3].

Учитывая вышесказанное, нам казалось весьма желательным приме-сь к этой системе метод «предельных теплот», описанный в предыдущей тье I.

Для измерений брался металлический химически чистый селен (Каль-м) в виде тонкого порошка. Методика экспериментирования ничем не ичалась от описанной при сульфиде железа. Реакция в бомбе протекала нь спокойно, и ни в одном из опытов мы не обнаружили ни улетучива-я селена из тигля, ни образования красного аморфного селена.

Результаты изменений приведены в табл. 1 и на рис. 1.

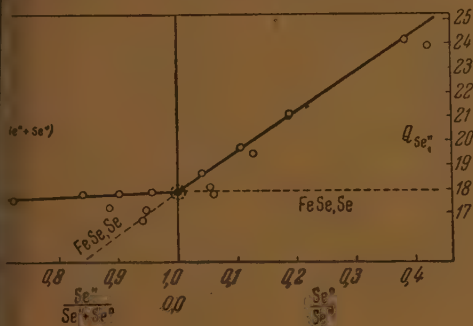


Рис. 1

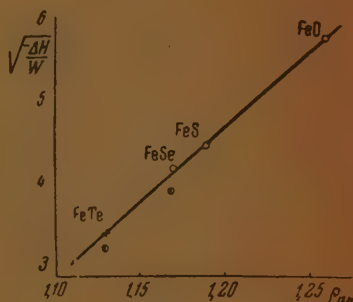


Рис. 2

Экстраполяция пограничных линий в левой и правой частях рис. 1 риводит к теплоте образования FeSe по реакции:



$$\Delta H_{298,1}^\circ = -18,0 \pm 0,3 \text{ ккал/моль.}$$

Опытная ошибка взята такая же, как и при FeS.

Интересно сопоставить полученные в настоящих сообщениях теплоты бразования в ряду FeO, FeS, FeSe и FeTe, пользуясь выведенной нами анее линейной зависимостью  $\sqrt{\frac{-\Delta H^\circ}{w}}$  от отношения ( $\rho$ ) одновалентных и ристаллических радиусов [4].

Таблица 1

Константа Ньютона за 1/2 мин.	Подъем темпера- туры с по- правкой на радиа- цию	Водяное число ка- лориметра	Всего вы- делилось тепла в кал	Поправка на теплоту зависа- ния смеси	Теплота реакции селена с исловом в кал (Q)	Взято грамм		Образова- лось селено- нидного селена в граммах (Se <sup>o</sup> )	Остаток в титле исследован- ного селено- нида (Se <sup>o</sup> )	$\frac{Se^o}{Se''}$	$\frac{Se''}{Se''+Se^o}$	$Q_{(Se''+Se^o)}$ = $\frac{q \cdot 78,96}{(Se''+Se^o) \cdot 1000}$ ккал в моль	$Q_{Se''}$ = $\frac{q \cdot 78,96}{Se'' \cdot 1000}$ ккал в моль
						Fe	Se						
-0,00134	0,337°	993,7	334,9	2,3	332,6	1,1232	1,5596	1,0955	0,4641	0,4230	0,7024	16,84	23,97
-0,00086	0,265°	993,7	263,3	3,6	259,7	1,1239	1,1949	1,1325	0,0624	0,0551	0,9478	17,16	18,11
-0,00041	0,252°	993,7	250,4	2,6	247,8	1,1035	1,0965	0,9905	0,1060	0,1070	0,9033	17,84	19,75
-0,00038	0,213°	993,7	211,7	3,0	208,7	1,1272	0,9863	0,9286	0,0577	0,0621	0,9415	16,71	17,75
-0,00085	0,289°	993,7	287,2	2,7	284,5	1,1175	1,3017	1,1527	0,1490	0,1291	0,8855	17,26	19,49
-0,00044	0,338°	993,7	335,9	2,2	333,7	1,1357	1,5047	1,0874	0,4173	0,3840	0,7227	17,51	24,23
-0,00189	0,319°	993,7	317,0	2,4	314,6	1,1163	1,3991	1,1768	0,2223	0,1888	0,8441	17,76	21,11
-0,00119	0,207°	993,7	205,7	2,7	203,0	1,1161	0,8958	0,8587	0,0371	0,0432	0,9586	17,89	18,67

Необходимый для этого пересчет на сопоставимые агрегатные состояний исходных элементов приведен в табл. 2. (Результаты наших измерений заключены в скобки. Остальные термические данные заимствованы В. Брицке и А. Ф. Капустинского [3].)

Таблица 2

MeX	$\Delta H_{298,1}^{\circ}$ MeX (крст.)	$\Delta H_{298,1}^{\circ}$ $\frac{1}{2}X_2$ (газ)	$\Delta H_{298,1}^{\circ}$ Me(кр) + $\frac{1}{2}X_2$ (газ) = = MeX (кр)	$\sqrt{\frac{-\Delta H_{298,1}^{\circ}}{W}}$	$\rho_X$
.....	-64,5	0	-64,5	5,68	1,26
.....	(-23,0)	+15,4	-38,5	4,39	1,19
.....	(-18,0)	+16,4	-34,4	4,15	1,17
.....	-8	+12,0	-20	3,16	1,13

Данные последних двух столбцов табл. 2 сопоставлены на рис. 2. Раскрытие рис. 2 показывает, что полученные нами данные для FeS и FeTe хорошо согласуются друг с другом и с теплотой образования FeO. Истинные на том же графике  $\Delta H^{\circ}$  FeSe по данным Фабра и  $\Delta H^{\circ}$  FeTe из табл. 2, из измерений того же автора, оказываются заметно заниженными. (Наполовину зачерненные кружки на рис. 2.) Поэтому для теплоты образования FeTe следует рекомендовать значение, взятое с прямой на рис. 2. Отсюда при пересчете на стандартные условия получаем для FeTe  $\Delta H_{298,1}^{\circ} = -11$  ккал/моль.

### Выводы

1. В результате прямых калориметрических измерений над системой железо — селен и применения метода «предельных теплот», описанного в предыдущем сообщении, получена теплота образования FeSe в стандартных условиях:  $\Delta H_{298,1}^{\circ} = -18,0 \pm 0,3$  ккал/моль.

2. Используя описанную нами ранее линейную зависимость  $\sqrt{\frac{-\Delta H^{\circ}}{W}}$  от отношения одновалентных и кристаллических радиусов, произведено сопоставление по ряду: FeO, FeS, FeSe и FeTe, позволившее исправить ошибочное в литературе значение  $\Delta H^{\circ}$  для FeTe.

Рекомендуемое нами значение  $\Delta H_{298,1}^{\circ}$  FeTe = -11 ккал/моль.

Химико-технологический институт  
им. Д. И. Менделеева  
Москва

Поступила  
47. VII. 1950

### ЛИТЕРАТУРА

1. Gmelin's, Handb. d. a. Ch., Eisen (59) 1932.
2. D. Fabre, Ann. chim. phys. (6) 10, 472, 1887.
3. В. Брицке, А. Ф. Капустинский и сотр., Термические константы неорганических веществ, Изд-во АН СССР, 1949.
4. А. Ф. Капустинский и Ю. М. Голутвин, Известия АН СССР ОХН № 1, 3, 1951.

## ЗАВИСИМОСТЬ ЭЛЕКТРОДНОГО ПОТЕНЦИАЛА ЖЕЛЕЗА ОТ КОНЦЕНТРАЦИИ ВОДОРОДНЫХ ИОНОВ

*И. Л. Розенфельд*

Концентрация водородных ионов является существенной характеристикой коррозионной среды. Исследование электрохимических и коррозионных свойств металлов в зависимости от pH среды представляет по-прежнему теоретический и практический интерес. Многие металлы в этом направлении нами уже исследованы [1]. Настоящая работа восполняет пробел, существующий в коррозионной литературе в этом вопросе, применительно к такому технически важному металлу, как железо.

Электродные потенциалы железа исследовались нами в широком интервале pH (0—14) различных электролитов, а также при неизменном значении концентрации аниона ( $Cl^-$ ) и в буферных растворах следующего состава:  $H_3PO_4 - 0,04 M + CH_3COOH - 0,04 N + H_2O_2 \cdot H_2O - 0,04 M$ . Полученный экспериментальный материал представлен на рис. 1. На этом же рисунке для сопоставления приводится диаграмма зависимости коррозии от pH [2]. Диаграмма зависимости электродного потенциала от pH ( $E - pH$ ) характеризуется резким делением на три области — кислую, нейтральную и щелочную.

В кислой области pH = 0—5, электродный потенциал железа с уменьшением концентрации водородных ионов становится более отрицательным. Такая закономерность наблюдается, однако, в узком интервале pH. При определенном значении pH наблюдается резкий перегиб кривой в сторону положительных значений потенциалов. Значение pH, при котором потенциал железного электрода обнаруживает скачок, в буферных растворах лежит в интервале pH = 5,02—5,33. Сдвиг потенциала в положительную сторону достигает 480—500 mV.

В нейтральной области, захватывающей частично слабокислые и слабощелочные растворы pH = 5—10, электродный потенциал железа практически не зависит от концентрации водородных ионов.

В щелочной области pH = 11—14, электродный потенциал железа, как и в кислой области, снова начинает смещаться в сторону отрицательных значений при увеличении pH раствора. Значение потенциала в этой области диаграммы определяется для различных значений pH одним выражением

$$E_{pH_x} = E_{pH_{10}} + 0,048 (10 - x).$$

Диаграмма  $E - pH$  для всех четырех электролитов имеет одинаковый вид, следовательно, изменение начальных потенциалов железа в действительности определяется значением pH и мало зависит от характера аниона.

Установленная зависимость потенциала железа от концентрации водородных ионов находится в согласии с теоретическими предположениями о зависимости потенциалов металлов, константы ионизации которых меньше константы разряда и ионизации водорода в этих же растворах, от pH среды, а не от концентрации собственных ионов [3].

Полученный экспериментальный материал заставляет нас, однако, пересмотреть воззрения, существующие у многих исследователей по вопросу о зависимости потенциала железа от концентрации водородных ионов.



Очень часто в литературе встречаются высказывания о том, что потенциал железного электрода определяется концентрацией водородных ионов, а не рН или значительной ее части точно так же, как водородный и кислородный электроды [4, 5].

Неустойчивость подобных взглядов становится очевидной при рассмотрении кривых  $E - pH$  для железа в самых разнообразных электролитах.



Зависимость электродного потенциала и коррозии железа от рН раствора (потенциалы в милливольтках по отношению к нормальному водородному электроду)

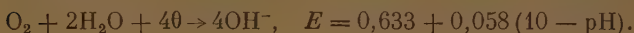
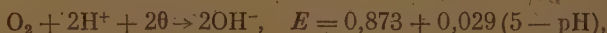
Обозначения: 1, 2 —  $HCl + 1N NaCl$  и  $NaOH + 1N NaCl$ ,  
3, 4 —  $H_2SO_4$ , 6, 7 —  $HCl$  и  $NaOH$ ,  
5 — буферный раствор

Диаграмма  $E - pH$  для железа построенная Гетти и Спуннер [4] не на основе систематических экспериментальных результатов, а по отрывочным, для узкого интервала рН данным, неправильно отображает зависимость потенциала железа от концентрации водородных ионов. Зависимость, характерная для водородного и кислородного электродов, наблюдается для железа, и то с некоторым искажением, лишь в узком интервале рН = 0—5 и 11—14.

Теоретическое толкование такой сложной зависимости электродного потенциала от рН среды может быть дано на основе поляризационной диаграммы процесса коррозии и сопоставления эффективного потенциала железа с потенциалами возможных катодных реакций. Эффективный по-

тенциал металла, измеряемый нами, является средним между потенциалом анодных и катодных составляющих системы и определяется для полностью запотенцированной системы точкой пересечения кривых катодной и анодной поляризации. Равновесный потенциал анодного процесса  $\text{Fe} \rightarrow \text{Fe}^{++} + 2\text{e}^-$  имеющего место в кислых и нейтральных средах, равен  $-0,440 \text{ V}$  относительно к нормальному водородному электроду.

Наиболее вероятные катодные реакции в исследованных нами средах и зависимость потенциала этих реакций от концентрации водородных ионов следующие:



В кислых средах процесс ионизации железа может происходить за счет катодного процесса, связанного с разрядом ионов водорода.

Исследование кинетики анодного процесса, проведенное нами, показывает, что поляризуемость железа в кислых средах не зависит от pH среды. Следовательно, эффективный потенциал железа должен определяться исключительно кинетикой разряда ионов водорода.

Из уравнения (1) следует, что потенциал разряда ионов водорода с увеличением pH раствора становится более отрицательным, что, естественно, и приводит к аналогичным изменениям общего потенциала металла. Непрерывное смещение в сторону отрицательных значений потенциала железа по всей шкале pH не может, однако, наблюдаться по следующим соображениям.

С уменьшением концентрации водородных ионов потенциал водородного электрода становится все более отрицательным и его значение приближается к потенциалу анодной реакции. Следовательно, должно существовать такое значение pH, при котором меняется характер коррозии.

В самом деле, при  $\text{pH} = 5,33$  потенциал катодной реакции  $2\text{H}^+ + 2\text{e}^- \rightarrow \text{H}_2$  равен  $-0,309 \text{ V}$ , а измеренный потенциал железа в буферном растворе равен  $+0,126 \text{ V}$ . Ясно, что при более положительном потенциале железа в этой среде\* процесс коррозии, определяющий эффективный потенциал металла, не может происходить за счет этой катодной реакции, процесс коррозии, происходивший при  $\text{pH} = 0-4$  в основном за счет деполяризации катода водородом, начинает при дальнейшем увеличении pH итти преимущественно за счет реакции ионизации кислорода на катоде требующей более положительного потенциала.

Резкое изменение потенциала от отрицательных значений к положительным, наблюдающееся в интервале  $\text{pH} = 4-5$ , объясняется, таким образом, изменением характера катодного процесса и более сильной анодной поляризацией железа.

Отсутствие зависимости потенциала и скорости коррозии железа от pH раствора в слабокислых, нейтральных и слабощелочных электролитах ( $\text{pH} = 5-10$ ) объясняется тем, что в этих средах скорость коррозии и потенциал железа определяются в основном диффузией кислорода к микрокатадам.

Пересчет коррозионных потерь на плотность тока и сравнение ее со значениями предельных плотностей тока диффузии показывают, что мы в дей-

\* Отождествляя потенциал анодного процесса с общим потенциалом металла, делаем вполне допустимое для исследованных нами растворов, обладающих хорошей электропроводностью, допущение, что система полностью запотенцирована.

тельности находимся в диффузионной области кривой катодной поляризации, и, следовательно, процесс коррозии в этих электролитах контролируется диффузией кислорода к микроэлектродам.

Поскольку растворимость кислорода и скорость его диффузии мало зависят от pH, а экспериментальные данные показывают, что в нейтральных растворах практически отсутствует зависимость потенциала восстановления кислорода и скорости ионизации железа от pH, то электродный потенциал железа и скорость коррозии не должны зависеть от концентрации водородных ионов.

Установление в щелочных растворах для железа более положительных потенциалов, чем в кислых, связано, в основном, с изменением характера анодного процесса и большей устойчивостью защитных пленок.

По данным Б. Н. Кабанова и Д. А. Лейкис [6] процесс анодного растворения железа в щелочных электролитах идет через промежуточное соединение  $\text{HFeO}_2$  с последующим выпадением из раствора гидрата  $\text{Fe}(\text{OH})_2$ . Равновесный потенциал системы  $\text{Fe}/\text{Fe}(\text{OH})_2$  более положителен реакции  $\text{Fe} \rightarrow \text{Fe}^{++} + 2\text{e}$  и при  $\text{pH} = 14$  равен 0,0466 В.

Смещение потенциала железа при увеличении pH среды в пределах анодной области диаграммы в сторону отрицательных значений объясняется сдвигом кривой катодной поляризации, характеризующей процесс  $\text{O}_2 + 2\text{H}_2\text{O} + 4\text{e} \rightarrow 4\text{OH}^-$ , в более отрицательную область потенциалов. Кривая катодная должна сдвинуться в отрицательную сторону на 0,058 В при увеличении pH на единицу. Наблюдаемый потенциал является в среднем на 0,048 В.

Следует отметить, что перегибы на кривой  $E - \text{pH}$ , соответствующие переходу потенциалов от более отрицательных значений к более положительным в кислой области, а также началу разблагораживания железа в щелочных растворах, совпадают с аналогичными перегибами, имеющимися на кривой  $K - \text{pH}$ . Однако потенциал железа в этих электролитах не входит в прямой зависимости от скорости коррозии и поэтому он однозначно не может характеризовать электрохимическую активность электрода.

В заключение приношу благодарность члену-корр. АН СССР В. Акимову за интерес, проявленный к настоящей работе.

### Выводы

1. Изучена зависимость электродного потенциала железа от концентрации водородных ионов.
2. Показано, что потенциал железного электрода не определяется концентрацией водородных ионов по всей шкале pH или значительной ее части, подобно потенциалу кислородного и водородного электродов.
3. Диаграмма зависимости электродного потенциала железа от концентрации водородных ионов характеризуется резким делением на три части — кислая, нейтральная и щелочная. Зависимость, свойственная водородному электроду, характерна для железа лишь в узком интервале  $\text{pH} = 0-5$  и  $11-14$ .
4. При определенных значениях pH (5,02—5,33) наступает скачкообразное изменение потенциала в сторону положительных значений. В нейтральной области, захватывающей частично слабокислые и слабощелочные растворы ( $\text{pH} = 5-10$ ), отсутствует зависимость потенциала железа от концентрации водородных ионов.
5. Сложный вид кривой зависимости потенциала железа от концентрации водородных ионов удовлетворительно объясняется на основе разбора поляризационной диаграммы процесса коррозии и сопоставления эффективного потенциала железа с потенциалом возможных катодных реакций.

5. Электродный потенциал железа в средах с различным значением не находится в прямой зависимости от скорости коррозии и поэтому однозначно не характеризует электрохимическую активность электрода

Академия Наук СССР  
Институт физической химии  
Москва

Поступила  
19. VIII. 1950

#### ЛИТЕРАТУРА

1. Г. В. Акимов и И. Л. Розенфельд, Исследования в области электрохимического и коррозионного поведения металлов и сплавов, Оборонгиз, 1949, стр. 201.
  2. Whitman, Russell a. Altiery, J. Ind. Eng. Chem., 16, 665, 1924.
  3. В. А. Юза и П. Д. Копыл, Журн. физ. хим., 14, 1074, 1940.
  4. Catty a. Spooner, The electrode potential behaviour of corroding metals in aqueous solutions, 1938, с. р. 329.
  5. А. И. Шултин, Журн. физ. хим., 18, 61, 1944.
  6. Б. Н. Кабанов и Д. А. Лейкис, Журн. физ. хим., 20, 995, 1946.
-



## ДИСКУССИЯ

### НЕКОТОРЫХ ВОПРОСАХ ТЕОРИИ ХИМИЧЕСКОГО СТРОЕНИЯ МОЛЕКУЛ

*Д. Н. Шигорин*

Теория резонанса», как и прежние формалистические, метафизические теории, дает качественные изменения в природе связей, группы при переходе от одной кулы к другой. Эта «теория» все изменения в молекулах сводит к количественным изменениям в соотношении «весов» «резонирующих структур» с неизменными связями, группами. Например, качественные особенности связей в бензоле, вноценность связей в нафталине, антрацене и других соединениях «теория резонанса» «объясняла» «суперпозицией структур» с неизменными ординарными и ными связями типа этана и этилена.

Такое представление ничего общего не имеет с теорией химического строения А. Бутлерова и противоречит корпускулярно-волновой природе электронов.

Во многих работах советских ученых была показана научная и методологическая стойкость «теории резонанса». После того как «теория резонанса» была осуждена, многие исследователи пытались найти другой подход к решению вопросов. Излишние новые представления: «делокализация  $\pi$ -связей»; «дробление связей», «рижене связей», якобы не имеющие ничего общего с «теорией резонанса». В дальнейшем будет показано, что эти новые представления содержат известные «теории резонанса».

### НЕКОТОРЫХ ПРИЧИНАХ, ПОРОДИВШИХ НЕСОСТОЯТЕЛЬНЫЕ ПРЕДСТАВЛЕНИЯ В ТЕОРЕТИЧЕСКОЙ ХИМИИ

Одной из причин, способствовавших появлению несостоятельных представлений в теоретической химии, является забвение теории химического строения А. М. Бутлерова, заложившей основы современной материалистической теории химического строения молекул. Открытие электронов и их корпускулярно-волновых свойств, а также появление новых экспериментальных методов исследования создало условия успешного развития теории химического строения А. М. Бутлерова.

Основные пороки «теории резонанса» и подобных ей представлений были заложены еще в теории Льюиса, в которой сущность химической связи была сведена к модальности двух валентных электронов соседних атомов. Затем был установлен гулат эквивалентности: одной химической связи соответствует пара спаренных электронов. Плохо то, что этот постулат в химии возведен в абсолют. В связи с ним также было абсолютизировано положение о насыщаемости химических валентностей.

Нам кажется, что абсолютизация и догматизация постулата эквивалентности и положения о насыщаемости химических валентностей является одной из причин, одних неправильных представлений в химии. Абсолютизация этих положений совместима с теорией химического строения А. М. Бутлерова и корпускулярно-волновой природой электронов. Квантовая химия, по существу, не решала задач Бутлерова.

В современной квантовой химии существуют две крайности. В методе локализации пар абсолютизированы постулат эквивалентности (одной связи соответствует пара электронов) и положение о насыщаемости химических валентностей.

Перевод этих представлений на язык структурных формул химии привел к рпорочным концепциям («резонанс структур», «делокализация связей», «сопряженные связи» и т. д.).

В методе молекулярных орбит отражена другая крайняя точка зрения, рассматривающая молекулу как электронно-ядерную плазму. Этот метод отражает несостоятельные представления о «сверхделокализованных электронах».

Правильное направление определено А. М. Бутлеровым, который рассматривал химическое строение молекулы как результат определенного рода движения молекул. А. М. Бутлеров подчеркивал, что взаимодействие между непосредственно связанными атомами, в основном, определяет природу химического строения данного соединения.

Однако, кроме этого, существует более слабое взаимодействие опосредованно связанными атомами групп, которое зависит от их природы и взаимного расположения. При дальнейшем развитии количественных или полуквантитативных методов кинетической химии необходимо учитывать основные идеи теории химического строения А. М. Бутлерова.

Отказ от абсолютизации и догматизации постулата эквивалентности и положения о насыщенности химических валентностей необходимое условие для дальнейшего успешного развития теории химического строения

Квантовая физика, отражающая корпускулярно-волновую природу микрочастиц, обогатила теорию химического строения новыми важными понятиями и представлениями, такими, как  $\sigma$ - и  $\pi$ -связи, возможность движения электронов в молекулах, радикалах в поле двух, трех и более ядер.

То обстоятельство, что электроны, обладающие корпускулярно-волновой природой, не могут быть строго фиксированы (локализованы) в атоме в определенной точке пространства или на какой-либо строго фиксированной орбите, принято обозначать термином «делокализация электрона». Однако понятие «делокализация электрона», даже в том смысле, которым мы его наделили, не отражает сущности явления. Еще в большей степени неудачным является понятие «размазанный электрон».

В атоме электроны движутся в поле ядра по строго определенным законам, сущность которых мы еще пока не знаем. Движение электрона, конечно, не следует понимать как механическое перемещение маленького твердого шарика. Движение электрона в поле ядра есть своеобразный квантовый корпускулярно-волновой процесс. Поэтому нам кажется, что если в теории Бора, не учитывающей корпускулярно-волновой природы электрона, мы говорили о локализации электрона в определенной точке пространства в атоме, о локализации определенной его траектории, то в квантовой физике, учитывающей волновую природу электрона, следует говорить о локализации электрона в определенном объеме пространства в атоме, соответствующем его энергетическому состоянию.

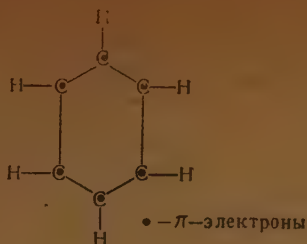
Известно, что образование химической связи связано с обобществлением валентных электронов, ранее принадлежавших разным атомам. Это становится возможным благодаря корпускулярно-волновой природе электронов. Отсутствие строго фиксированного положения электрона в атоме, обусловленное волновыми свойствами, делает благоприятным сближение атомов, образующих молекулу. Важно отметить то обстоятельство, что реальное состояние частицы характеризуется одним определенным химическим строением, которому соответствует одно определенное распределение электронной плотности в молекуле. В молекуле электроны, образующие связь, могут быть локализованы в пространстве между двумя и более ядрами.

Вообще «делокализованных электронов» в молекуле, как и в атоме, нет, а есть электроны, движущиеся в определенном объеме пространства в поле двух, трех и более ядер. Следует отметить, что даже в металле вполне «свободных» «делокализованных» электронов нет. Установившиеся понятия о  $\sigma$ - и  $\pi$ -связях отражают, известной мере, природу «ненасыщенности» в соединениях с кратными связями, а также природу взаимного влияния в системах с сопряженными кратными связями. Связи  $\sigma$  и  $\pi$  как научные понятия играют важную роль на современном этапе развития химической науки.

Широко распространенными являются такие понятия, как «делокализация связей», «дробление связей», «выравнивание связей». В действительности, в самой реальной молекуле, находящейся в определенном состоянии, никакой «делокализации связей» нет, также не наблюдается и никакого «дробления» и «выравнивания» связей.

Мы уже говорили, что реальное состояние молекулы данного вещества характеризуется одним определенным распределением электронной плотности по отношению к ядрам.

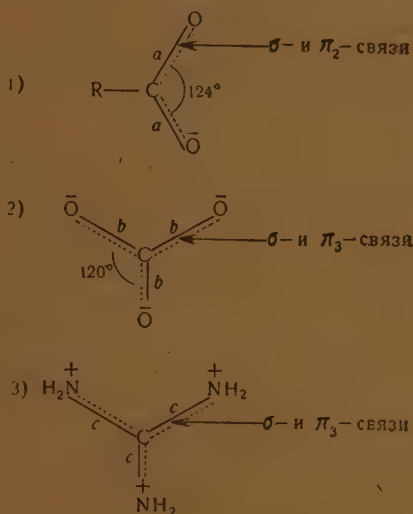
Следовательно, связи между атомами в молекуле в данном ее состоянии являются вполне определенными. В молекуле бензола, как показывает опыт, все атомы углерода равноценны и расположены друг от друга на равных расстояниях ( $a = 1,39 \text{ \AA}$ ). Молекула бензола — плоская, это — правильный шестиугольник с углами между связями —  $120^\circ$ . Из этих данных следует, что в бензоле не существует двойных связей и не существует  $\pi$ -связей типа этилена или бутадиена. В молекуле бензола между атомами углерода образуется своя особая связь, качественно не сходная ни с какой другой связью или с суммой связей. С точки зрения представления о  $\sigma$ - и  $\pi$ -связях, молекула бензола может быть изображена следующим образом:



молекуле бензола создаются такие условия, что каждый  $\pi$ -электрон движется только в поле своего атома, но и в поле двух соседних атомов. Здесь каждый электрон одновременно участвует в образовании главных связей между тремя атомами углерода.

каждый данный момент времени между атомами углерода в молекуле бензола устанавливается определенная связь, которую следует представить как  $\sigma$ -связь и в особом типе. В ионах карбоновой и угольной кислот ( $R-COO^-$ ),  $(CO_3^{--})$  гречаемся с возможностью движения  $\pi$ -электрона атома углерода и электронов, щих ионами, в поле двух или трех соседних ядер. В результате этого обра- и ионы с равноценными связями и равномерным распределением заряда на ствующих атомах.

качестве изображения] для этих ионов можно принять следующие формулы:



ионе гуанидония мы также имеем случай образования особых  $\pi$ -связей, как ьтат движения  $\pi$ -электрона атома углерода и двух электронов, ранее принад- щих двум атомам азота, в поле трех соседних ядер. Таким образом полу- т следующая закономерность. Если несколько атомов (два, три), одинаковых ой природе, соединенных с другими атомами или группой, приобретают дают электроны (один, два), то при этом происходит перераспределение ронов так, чтобы каждый атом имел одинаковое число постоянно связанных ронов. Следует говорить о различных  $\pi$ -связях ( $\pi_1$ ;  $\pi_2$ ;  $\pi_3$  и т. д.) так , как мы говорим о различных  $\sigma$ -связях. Представления о «делокализации ии» в молекуле бензола или  $CO_3^-$  являются несостоятельными. В молекуле бен- или ионе нет связей типа этилена или группы  $>C=O$ . В рассматриваемых цах имеются свои особые  $\pi$ - и  $\sigma$ -связи, которые существуют в каждый момент ни. В том смысле, в котором часто говорят о «делокализации  $\pi$ -связей», о их лении» или «выравнивании», с таким же правом следовало бы говорить и о ях. Почему, однако, говорят о разных  $\sigma$ -связях и не говорят о различных

$\pi$ -связях? Почему  $\pi$ -связи «дробят», «выравнивают», а почему не делают то самое с  $\sigma$ -связями? На этот вопрос легко ответить. «Дробление», «выравнивание  $\sigma$ -связей» нужно было бы характеризовать изменением длины штриха, что, по-моему, практически «неудобно», но зато «удобно» показать «дробление», «выравнивание  $\pi$ -связей» в виде пунктира.

Таким образом понятия: «дробление связей», «выравнивание связей» (делоизация связей) связаны не с сущностью явлений, наблюдаемых в самой частице, способом их «описания». Эти несостоятельные представления являются следствием абсолютизации постулата эквивалентности и положения о насыщенности химических валентностей. Реальны лишь связи, возникающие между атомами в молекуле, причем, они свои, особенные для данной частицы, и существуют в каждый момент времени. Эти связи в молекулах образуются в результате движения валентных электронов, при котором особенно характерно проявляется их корпускулярно-волновая природа. Реальны также вторичные, побочные виды взаимодействия атомов, градиенты в молекуле, о которых говорили А. М. Бутлеров и В. В. Марковников. Таким образом, учет корпускулярно-волновых свойств электронов выдвигает новые вопросы, которые должна решить теория химического строения. Имеется в виду решение следующих вопросов:

1. Исчерпывается ли сущность химической связи спариванием двух валентных электронов, как это часто трактуется в литературе.
2. Следует ли устанавливать определенный эквивалент: одной химической связи соответствует пара спаренных электронов.
3. Равноценны ли понятия: валентность элемента, определяемая максимальным числом валентных электронов, и число связей, которое данный элемент может образовать в различных соединениях.
4. Как следует понимать валентность элемента в данном соединении, учитывая корпускулярно-волновую природу электрона.

Химическая связь есть явление, сущность которого не может быть сведена к спариванию двух валентных электронов соседних атомов. Как известно, характер связи зависит от энергетического состояния электронов, от характера их движения и природы окружающих атомов. Возвращение на химическую связь, как на простое спаривание двух валентных электронов, неизбежно приводит к отрицанию качественных изменений природы связей и их взаимодействия; к представлению о молекуле как о сумме изолированных групп, связей. По существу, такой взгляд на природу химической связи есть переложение старых формалистических, метафизических теорий на язык электронных пар.

Такое представление ничего общего не имеет с теорией химического строения А. М. Бутлерова и противоречит корпускулярно-волновой природе электронов.

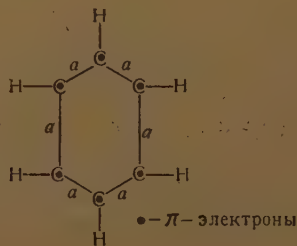
Основываясь на теории Бутлерова и учитывая корпускулярно-волновую природу электронов, мы считаем, что число связей, образуемое данным элементом в молекуле, определяется не только числом валентных электронов, но также их состоянием и характером движения, находящимся в определенной зависимости от природы соседних атомов и их расположения.

Далее, в молекуле электроны, образующие связи соответственно своей корпускулярно-волновой природе, могут быть локализованы в пространстве между двумя ядрами.

Рассмотрим с этой точки зрения характер связей в ароматических углеводородах в связи с некоторыми их химическими свойствами. Естественным являются следующие допущения:

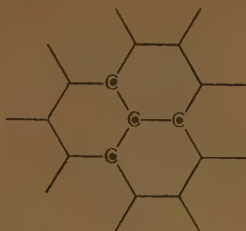
1. Жесткий скелет молекулы, в основном, определяют  $\sigma$ -связи.
2.  $\pi$ -электроны участвуют в образовании основного взаимодействия (основных связей) между атомами непосредственно связанными. В зависимости от условий  $\pi$ -электрон может одновременно образовывать связи с одним, двумя и тремя атомами в результате движения в поле соответствующих ядер. Существует дополнительное взаимодействие  $\pi$ -электронов атомов не непосредственно связанных.

В молекуле бензола каждый атом углерода образует пять связей: три  $\sigma$ -связи и две  $\pi$ -связи особого рода ( $\pi_2$ ):



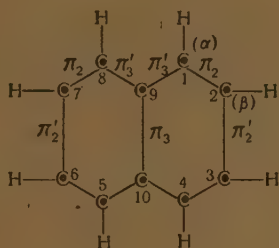


в графите каждый  $\pi$ -электрон атома углерода движется в поле трех соседних и образует с каждым из них свою  $\pi$ -связь ( $\pi_3$ ). В этом случае каждый атом образует 6 связей: 3  $\sigma$ -связи и 3  $\pi$ -связи, характерные для данного случая.



В конденсированных ароматических углеводородах (нафталин, антрацен, фенант и др.) имеются разные типы  $\sigma$ - и  $\pi$ -связей; повидимому, частично этим следует объяснить неравноценность углеродных атомов и связей (СС) в этом классе соединений.

### Нафталин

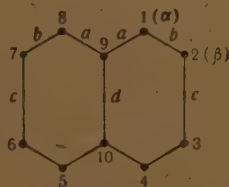


Из написанной формулы видно: 1) Каждый  $\pi$ -электрон атомов 9 и 10 движется в поле трех соседних ядер, образуя три  $\pi$ -связи. Причем  $\pi$ -связи 1—9, 9—8, 10—4, 10—5 — равноценны;  $\pi$ -связь 9—10 является несколько особенной. 2) Остальные связи образованы в результате движения  $\pi$ -электронов атомов в поле двух соседних ядер. Однако не все эти  $\pi$ -связи являются равноценными.  $\pi$ -связи 1—2, 3—4, 4—5—6 — имеют одинаковый характер. Равноценны  $\pi$ -связи 2—3, 7—6.

Если сделать предположение, что изменение характера связей между атомами среды, в основном, связано с изменением природы движения  $\pi$ -электронов, то в таком рассмотрении можно дать качественную оценку характера связей (межъядерных расстояний) и большей насыщенности положений 1, 4, 5, 8 ( $\alpha$ ) по сравнению с положениями 2, 3, 6, 7 ( $\beta$ ).

Из формулы видно, что  $\alpha$ - $\pi$ -электроны (1, 4, 5, 8) участвуют в образовании связей с  $\pi$ -электроном, движущимся в поле трех соседних ядер (9, 10), и  $\pi$ -электроном, движущимся в поле двух соседних ядер (2, 3, 7 и 6); в то время как  $\beta$ -электроны (2, 3, 7 и 6) образуют  $\pi$ -связи с  $\pi$ -электронами, движущимися только в поле двух соседних ядер. Из этого следует, что электронная плотность в  $\alpha$ -положениях будет несколько больше, чем в  $\beta$ -положениях.

С этой точки зрения так же можно подойти к качественной оценке межъядерных расстояний.

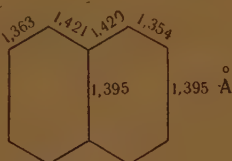


•— $\pi$ -электроны

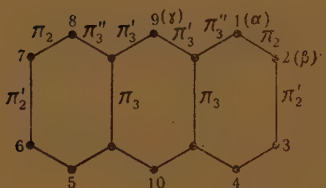
Межатомные расстояния по величине возрастания должны располагаться  $d > a > c > b$ . Межатомное расстояние  $d$  должно быть близко к расстоянию в графите, т. е. 1,42 Å. Расстояния  $c$  должны быть близки к длине связи C-C в бенз. т. е. 1,39 Å. Расстояния  $a$  должны быть несколько меньше расстояния  $d$ .

Самыми короткими должны быть расстояния  $b$ , так как  $\alpha$ - $\pi$ -электроны, главным образом, осуществляют свое взаимодействие с  $\beta$ - $\pi$ -электронами (2, 3, 6 и 7) и в значительно меньшей мере с  $\pi$ -электронами 9 и 10, движущимися в поле трех соседних ядер.

Опытные данные [1] подтверждают предсказанный ход изменения межатомных расстояний за исключением расстояния  $d$ :

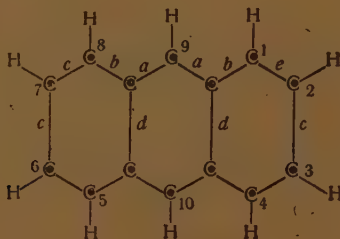


Антрацен

• —  $\pi$ -электроны

Из формулы видно, что  $\gamma$ - $\pi$ -электроны (9, 10) образуют  $\pi$ -связи с  $\pi$ -электронами, движущимися в поле трех соседних ядер;  $\alpha$ - $\pi$ -электроны (1, 4, 8, 5) взаимодействуют с  $\pi$ -электронами, движущимися в поле двух и трех соседних ядер;  $\beta$ - $\pi$ -электроны (2, 3, 6, 7) образуют  $\pi$ -связи с  $\pi$ -электронами, движущимися только в поле двух соседних ядер. Из этого следует, что электронная плотность в  $\gamma > \alpha > \beta$  соответственно этому изменяется ненасыщенность указанных мест.

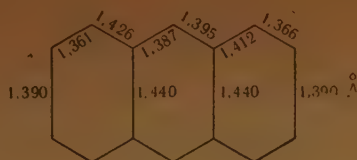
Ход изменения межатомных расстояний в антрацене также может быть предсказан с рассматриваемой точки зрения.



Совершенно очевидно, что расстояния  $d$  должны быть близкими к расстоянию в графите, т. е. 1,42 Å, а  $c$  к расстоянию в бензоле, т. е. 1,39 Å. Расстояния  $a$  и  $b$  должны быть близкими между собой, но несколько меньше расстояний  $d$ . Следует ожидать, что расстояния  $a$  будут несколько меньше расстояний  $b$  ввиду того, что  $\gamma$ - $\pi$ -электроны движется с равной вероятностью в поле двух соседей, чем не имеет места для  $\alpha$ - $\pi$ -электронов.

Можно предполагать, что расстояния  $e$  будут самыми короткими, подобно тому как в нафталине.

Приведенные рассуждения согласуются с опытными данными [2]:



Рассматриваемая точка зрения может быть распространена на другие конденсированные ароматические углеводороды. Нетрудно показать, например, что места 9—10 антрена являются наиболее ненасыщенными, что согласуется с химическими свойствами фенантрена.

Таким образом атом углерода, обладающий четырьмя валентными электронами, образует в различных соединениях не одинаковое число связей.

В рассмотренных ароматических углеводородах атом углерода образует 3  $\sigma$ -связи или 3  $\pi$ -связи в результате движения  $\pi$ -электрона соответственно в поле двух трех ядер.

Наличием различных типов  $\sigma$ -,  $\pi$ -связей, в основном, могут быть объяснены типичные свойства ароматических углеводородов. Такое рассмотрение стало возможным в результате отказа от абсолютизации и догматизации постулата эквивалентности положения о насыщаемости химических валентностей.

Недопустимость абсолютизации и догматизации постулата эквивалентности и положения о насыщаемости химических валентностей со всей убедительностью может быть показана при анализе свойств таких веществ, как внутрикомплексные соединения, бороводороды, образование водородных связей и др.

Для объяснения того факта, что атом металла внутрикомплексной соли может образовывать связей больше, чем число валентных электронов, было введено понятие координационного числа. Введение координационного числа для понимания связей в молекуле в известной мере было продиктовано необходимостью сохранения непременности постулата эквивалентности (одна связь эквивалентна паре электронов) положения о насыщаемости химических валентностей. Физический смысл координационного числа не был раскрыт. Это понятие подчеркивало, что помимо настоящих химических сил существуют еще какие-то другие. Все это увеличивало формалистические наклонения в теории химической связи. Таким образом исследование реальных связей сводилось к формальному рассмотрению ряда чисел: натрий в ацетилацетонате — координационное число два; медь — четыре и т. д.

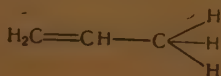
По «теории резонанса» смысл координационного числа определяется наложением соответствующих «резонансных структур», в которых якобы атом металла реагирует с одним, то с другим атомом кислорода [3].

Из всего изложенного можно сделать вывод, что только отказ от абсолютизации постулата эквивалентности (одна связь эквивалентна паре электронов) положения о насыщаемости химических валентностей может создать правильную основу для дальнейшего развития теории химического строения А. М. Бутлерова на новых достижениях химии и физики. Для молекул, содержащих  $\pi$ -электроны (зол, нафталин и др.), повидимому, существует более сложный критерий насыщаемости химических валентностей в отличие от соединений с  $\sigma$ -связями.

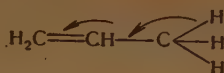
## О «сопряжении связей»

Если трактовать «сопряжение связей» в рамках непогрешимости постулата эквивалентности и положения о насыщаемости химических валентностей, то оно будет означать то же, что выражают несостоятельные понятия: «делокализация связей», «проблема связей».

Основной порок существующих представлений о «сопряжении связей» состоит в предположении (иногда в завуалированной форме) о существовании неизменных одинарных и двойных связей в молекуле и о том, что якобы их взаимодействие создает дополнительный «эффект сопряжения». Таким образом оказывается, эффект сопряжения вызван взаимодействием несуществующих в данной молекуле связей. Так, например, утверждается, что существует «явление сопряжения» простой тройной связи ( $\sigma$ ,  $\pi$ -сопряжение в молекуле пропилена)



Наличие «сопряжения связей» обычно указывается стрелками



Ложно в этом представлении то, что первоначально допускается существование связей, которые для данной молекулы не реальны, а затем результатом их взаимодействия («сопряжением») «объясняются» свойства реальных связей. Выходит, так называемое «явление сопряжения связей» «возникает» в голове исследователя, проводящего сравнение между гипотетической молекулой (с неизменными связями) и реальной молекулой.

В действительности не существует явления сопряжения связей, а есть строгий метод, являющийся методом познания, отражения тех изменений, которые происходят в результате взаимного влияния атомов, групп в молекуле при ее образовании. Взаимоотношения атомов, групп в данной молекуле остаются неизменными до тех пор, пока не будут изменены условия ее существования. Такое несостоятельное представление о сопряжении связей как явлении могло возникнуть в результате абсолютизации и догматизации постулата эквивалентности и положения о насыщенности химических валентностей.

Абсолютизация этих положений, как мы уже говорили, несовместима с корпускулярно-волновой природой электронов и духом бутлеровского учения о химическом строении.

Если бы электроны не обладали корпускулярно-волновой природой, если постулат эквивалентности и положение о насыщенности химических валентностей были совершенно абсолютными, то не наблюдалось бы столь большого качественного различия в природе химических связей и не существовало бы взаимного влияния непосредственно связанных групп, атомов в соединениях.

Взаимное влияние, как непосредственно, так и опосредованно связанных атомов, групп, определяет химическую природу молекулы, как целого. Связи в данной молекуле уже свои, особенные, качественно отличные от связей в другом соединении, хотя и имеют некоторые черты сходства. Поэтому вопрос об изучении взаимного влияния атомов, групп в соединениях сводится к определению особенностей в свойствах связей, групп и молекулы как целого; в общем случае взаимное влияние атомов, групп в соединениях зависит от энергетического состояния электронов образующих связи, от характера их движения и природы самих атомов, групп. На современном этапе развития теории химического строения молекул основной задачей является раскрытие природы взаимного влияния атомов, групп в момент их возникновения, а также в процессе их превращения (взаимодействия с другими молекулами, средой, излучением и пр.).

В настоящей работе мы делаем лишь качественную попытку рассмотрения этого вопроса на простейших примерах. Взаимное влияние атомов, групп претерпевает резкие качественные изменения при образовании молекулы, а также при различных ее превращениях.

Взаимное химическое влияние — сложное специфическое явление природы. Поэтому если мы скажем, что при взаимодействии атомов, групп в молекуле наблюдается общее перераспределение электронной плотности, связанное со смещением электронов и изменением их характера движения в поле соседних ядер, то это будет лишь упрощенное и грубое представление о явлении.

Недостатком существующих представлений о природе взаимного влияния атомов, групп является то, что они, как правило, учитывают лишь смещение электронов вдоль цепи, обуславливающее определенную полярность соединений, и не принимают во внимание изменения характера движения электронов.

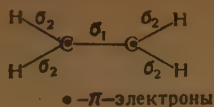
Под характером движения электронов мы понимаем те изменения в движении валентных электронов в поле нескольких ядер, которые проявляются в форме валентной («радикальной») ненасыщенности атомов. Эти изменения не могут быть сведены к электростатическому взаимодействию и связаны, главным образом, с проявлением корпускулярно-волновых свойств валентных электронов.

Оба фактора (электрическая поляризация, изменение характера движения электронов) взаимосвязаны, и поэтому необходим их одновременный учет при рассмотрении вопросов о взаимном влиянии атомов. Однако их относительное проявление в различных соединениях не одинаково. В углеводородах, в которых имеются  $\pi$ -электроны и отсутствуют группы с резко выраженной полярностью, следует ожидать, что изменение в характере движения электронов и, в первую очередь,  $\pi$ -электронов будет иметь преимущественное значение.

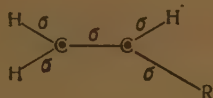
Рассмотрим ряд соединений, содержащих двойные и простые связи. Известно, что в соединениях, содержащих двойные, тройные связи, взаимное влияние атомов, групп (выражающееся в изменении химической природы молекулы) как целого выражено сильнее, чем в соединениях, имеющих только простые связи. Это, по-видимому, связано с тем, что первый класс соединений содержит  $\pi$ -связи, а второй лишь  $\sigma$ -связи.



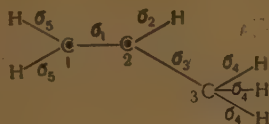
В молекуле этилена двойная связь  $CC$  представляется как  $\sigma$ - и  $\pi$ -связь:



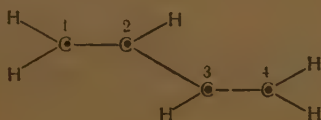
В этой молекуле каждый  $\pi$ -электрон движется в поле соседнего атома углерода, образуя с его  $\pi$ -электроном связь. Характер движения обоих  $\pi$ -электронов одинаков. При замене одного атома H в этилене на группу R условия движения  $\pi$ -электронов становятся неодинаковыми, что приводит к образованию несколько отличающейся своей природой  $\pi$ -связи и некоторому перераспределению электронной плотности молекуле:



В результате этого все связи в молекуле приобрели некоторую особенность. Им можно объяснить тот факт, что производные этилена  $CH_2 = CH \cdot R$  и ацетилены  $1 \equiv C \cdot R$  обладают дипольным моментом. В случае, например, пропилена:



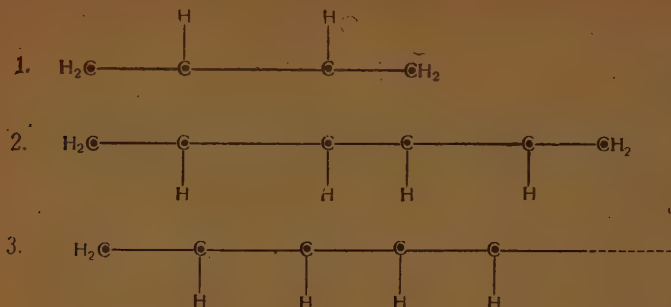
$\pi$ -электрон атома углерода ( $C_2$ ) движется не только в поле ядра  $C_1$  но и в поле ядра  $C_3$ , образуя с ним слабое взаимодействие. Этим частично можно объяснить повышенную ненасыщенность у атома  $C_1$  и понижение электронной плотности атомов водорода в метильной группе. При таком рассмотрении допускаем, что, эти электроны в молекуле, в общем, движется в поле всех ядер, но все же их основное взаимодействие осуществляется между определенными непосредственно связанными атомами. В случае замещения атома водорода в этилене на радикал —  $CH = CH_2$  условия движения  $\pi$ -электронов меняются существенно. В молекуле бутадиена мы имеем неравноценные  $\pi$ -электроны. 1—4  $\pi$ -электроны движутся в поле одного соседнего атома углерода. 2—3  $\pi$ -электроны движутся в поле двух соседних атомов углерода, образуя с ними неравноценные связи, так как расстояния 1—2 и 3—4 меньше, чем расстояние 2—3 (1,46 Å). В результате этого между атомами 2—3 возникает, хотя и очень слабая,  $\pi$ -связь. Совершенно ясно, что электронная плотность у углеродных атомов 1—4 будет несколько больше, чем у атомов 2—3.



В системах, в которых двойные связи удалены друг от друга на большое расстояние («несоприженные связи»), условия движения  $\pi$ -электронов примерно такие, как у производных этилена, поэтому различия в распределении электронной плотности будут значительно меньше, чем у соединений типа бутадиена. Например:



При постепенном увеличении числа «сопряженных двойных связей» в молекуле условия движения  $\pi$ -электронов будут существенно изменяться. Межатомные расстояния между атомами углерода должны постепенно выравниваться:



При таких условиях движение  $\pi$ -электронов, движущихся в поле двух соседних атомов углерода, становится все более равновероятным. Такое состояние для  $\pi$ -электронов атомов, более удаленных от концов молекулы, повидимому, наступает раньше. В этом случае  $\pi$ -электрон каждого атома углерода, за исключением крайних, участвует в образовании двух  $\pi$ -связей, причем эти  $\pi$ -связи не совсем равноценны между собой. Здесь мы имеем характерный пример диалектического перехода от слабой  $\pi$ -связи, образующейся в бутadiене между атомами 2—3 к почти равноценным  $\sigma$ - и  $\pi$ -связям, возникающим в полисопряженных системах. Такое рассмотрение наиболее правильно и полно отражает все известные свойства углеводородов с так называемыми сопряженными связями. При оценке химических свойств подобных систем необходимо учитывать природу реагента, среды и условия опыта. При рассмотрении чисто углеводородных систем с  $\sigma$ - и  $\pi$ -связями мы предполагаем, что главные изменения, приводящие к коренному перераспределению электронной плотности во всей молекуле, связаны с характером движения  $\pi$ -электронов. Такое рассмотрение, конечно, является грубым приближением к действительности. Если в молекулу этилена вместо атома водорода вводить не углеводородный радикал, а какую-нибудь сильно полярную группу или атомы с резко выраженным сродством к электрону, то в этом случае также следует ожидать сильных изменений в характере движения  $\pi$ -электронов. Наряду с этим будут также наблюдаться существенные изменения характера движения электронов, образующих  $\sigma$ -связи, вследствие поляризующего действия заместителя. В целом, в молекуле произойдут коренные изменения свойств связей, групп.

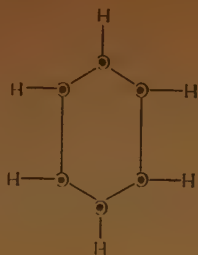
В системах, содержащих только ординарные связи, изменение характера движения электронов, образующих  $\sigma$ -связи, может быть вызвано взаимодействием групп, у которых сродство к электрону выражено в значительной степени не одинаково.

Приведенный краткий качественный анализ изменения характера движения  $\pi$ -электронов показывает, что наблюдаемое явление взаимодействия атомов в этих системах являются примером глубокого проявления корпускулярно-волновой природы электронов в химических явлениях.

По существу, в так называемых сопряженных системах с двойными связями не существует двойных связей в обычном понимании. В действительности не существует никакого явления сопряжения связей. Есть явление взаимного влияния (взаимодействия) атомов, групп, обуславливающее смещение и изменение характера движения электронов, образующих связи, и, следовательно, перераспределение электронной плотности в молекулах, как целом. Можно обсуждать вопрос о применении научных понятий «сопряженные двойные» связи, «сопряженные  $\sigma$ - и  $\pi$ -связи», «сопряженные  $\sigma, \sigma$ -связи», как отражающих тот факт, что эти связи в данном соединении являются особенными и что эти особенности находят свое отражение в химических и других свойствах молекулы. Представление же о «сопряжении двойных связей», двойной и простой, двух простых», как явлению, является несостоятельным.

### Ориентация в бензоле

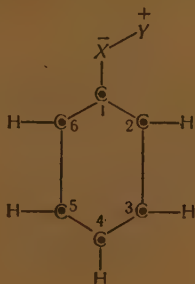
В молекуле бензола все углеродные атомы равноценны. Каждый  $\pi$ -электрон движется в поле трех соседей. Однако главное их взаимодействие осуществляется между соседними атомами углерода, образуя с каждым из них особые  $\pi$ -связи. Характер движения каждого  $\pi$ -электрона также зависит, хотя и слабо, от атомов водорода, непосредственно связанных с атомами углерода. При замене атома водорода в бензоле на группу или атом, у которых сродство к электрону будет выражено в большей или меньшей степени, чем у водорода, следует ожидать существенных изменений в распре-



лении электронной плотности в бензольном кольце. Наблюдаемое перераспределение электронной плотности в кольце определяется не только поляризующим действием заместителя, но и его влиянием на характер движения электронов, образующих связь; в большей степени и, в первую очередь, это скажется на изменении характера движения и энергии  $\pi$ -электронов.

Для объяснения наблюдаемых экспериментальных фактов следует предположить, что замещение в бензольном кольце связано не столько с изменением электронной плотности в результате поляризации, сколько с изменением характера движения электронов и, главным образом,  $\pi$ -электронов. Большинство заместителей являются полями, связанными с бензольным ядром таким образом, что в образовании связи углеродным атомом ядра участвует атом, имеющий положительный или отрицательный заряд. Например, группы:  $\overset{+}{\text{NO}}_2$ ;  $\overset{+}{\text{SO}}_3\text{H}$ ;  $\overset{+}{\text{CO}}_2\text{H}$ ;  $\overset{+}{\text{CO}}$ ;  $\overset{+}{\text{N}}(\text{AlK})_3$   $\bar{\text{X}}$  положительны, а группы:  $\overset{-}{\text{NH}}_2$ ;  $\overset{-}{\text{OH}}$ ;  $\overset{-}{\text{OCH}}_3$ ;  $\overset{-}{\text{CH}}_3$  отрицательны. Наша задача состоит в попытке дать качественное физическое истолкование этому явлению.

В случае заместителей  $\text{OH}$ ;  $\text{NH}_2$ ;  $\text{CH}_3$  и т. п. общая формула соответствующих производных бензола может быть представлена следующим образом:

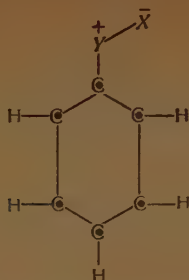


Из формулы видно, что  $\pi$ -электроны атомов углерода кольца находятся не в одинаковых условиях: характер движения  $\pi$ -электрона атома  $\text{C}_1$  здесь в значительной мере будет зависеть от соседнего атома  $\bar{\text{X}}$  — вследствие того, что электронная плотность в его области увеличена. Поэтому, взаимодействие  $\pi$ -электрона атома  $\text{C}_1$  с атомом  $\bar{\text{X}}$ , будет более значительно, чем в случае атома водорода в молекуле бензола. Вследствие этого взаимодействие  $\pi$ -электрона атома  $\text{C}_1$  с  $\pi$ -электронами атомов  $\text{C}_2$  и  $\text{C}_6$  ослабнет.

Атомы  $\text{C}_2$  и  $\text{C}_6$  по сравнению с  $\text{C}_1$  приобретают, таким образом, несколько большую ненасыщенность. Это приведет к тому, что взаимодействие  $\pi$ -электронов атомов  $\text{C}_2$  и  $\text{C}_6$  будет больше с  $\pi$ -электронами атомов  $\text{C}_3$  и  $\text{C}_5$ , чем с  $\pi$ -электроном атома  $\text{C}_4$ .

Вследствие этого  $\text{C}_4$ , так же как и атомы  $\text{C}_2$ ,  $\text{C}_6$ , приобретает большую ненасыщенность, чем атомы  $\text{C}_1$ ,  $\text{C}_3$ ,  $\text{C}_5$ . Следовательно, заместители  $\text{OH}$ ,  $\text{NH}_2$  и т. п. должны ориентировать в пара- и орто-положения. Другой случай, когда у замещающего атома, соединенного с углеродом бензольного кольца, имеет уменьшенную электронную плотность. Такими заместителями являются:  $-\overset{+}{\text{NO}}_2$ ;  $-\overset{+}{\text{C}}=\overset{-}{\text{O}}$ ;  $-\overset{+}{\text{N}}=\overset{-}{\text{O}}$ ;

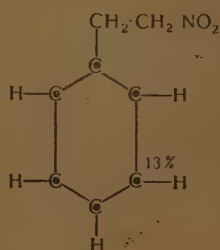
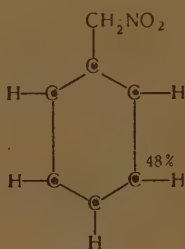
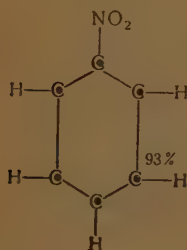
$-\overset{+}{\text{C}}\equiv\overset{-}{\text{N}}$  и т. п. Общая формула соединений такого типа может быть изображена так:



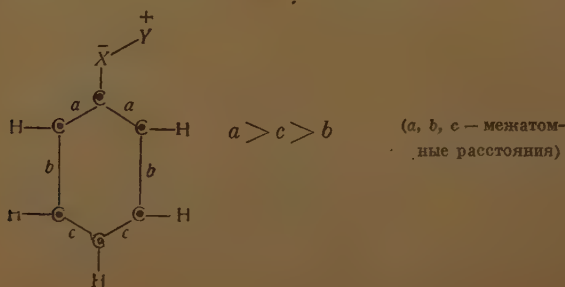
В рассматриваемом случае взаимодействие  $\pi$ -электрона атома  $C_1$  с атомом будет, повидимому, менее значительным, чем с атомом водорода в молекуле бензола из-за недостатка электронной плотности. Вследствие этого взаимодействие  $\pi$ -электрона атома  $C_1$  с  $\pi$ -электронами атома  $C_2$  и  $C_6$  усилится.

Атомы  $C_2$  и  $C_6$  по сравнению с  $C_1$  приобретают меньшую ненасыщенность, поэтому их взаимодействие с  $\pi$ -электронами атомов  $C_3$  и  $C_5$  будет ослаблено. Но это приводит к повышенной ненасыщенности у атомов  $C_3$ ,  $C_5$ . Взаимодействие  $\pi$ -электронов атомов  $C_3$ ,  $C_5$  с  $\pi$ -электроном  $C_4$  будет усилено. Поэтому у атома  $C_4$  так же как и у атомов  $C_2$ ,  $C_6$ , ненасыщенность будет меньше, чем у атомов  $C_3$  и  $C_5$ .

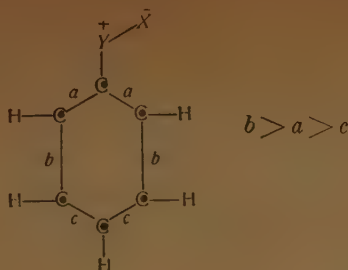
Таким образом, заместители типа:  $-\overset{+}{N}\overset{-}{O}_2$ ;  $-\overset{+}{C}=\overset{-}{O}$ ;  $-\overset{+}{N}=\overset{-}{O}$ ;  $-\overset{+}{C}\equiv\overset{-}{N}$  и т. п. будут ориентировать в метоположение. Вообще, ориентация вновь входящего заместителя в ароматическое ядро зависит от двух факторов: вида имеющегося уже заместителя и полярности применяемого реагента. Поэтому наши выводы относительно ориентации справедливы по отношению к определенным, входящим в бензольное кольцо группам. Влияние на характер движения  $\pi$ -электрона атома углерода, с которым образует связь крайний атом замещающей группы, будет тем больше, чем больше величина заряда (дипольный момент группы). Повидимому, должна существовать определенная зависимость между дипольным моментом заместителя и его способностью ориентировать входящую группу в соответствующее место бензольного кольца при тех же внешних условиях. Этим можно также объяснить тот факт, что мета-ориентация уменьшается по мере отдаления группы от ядра:



С рассматриваемой точки зрения может быть предсказан качественный ход изменения межатомных рассеяний в производных бензола:



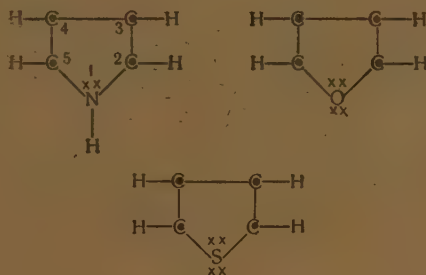




Во всех рассматриваемых случаях необходимо учитывать взаимодействие  $\pi$ -электронов кольца с «неподделанными» электронными парами заместителя. Это взаимодействие будет зависеть от величины, и знака заряда атома, с которым электронные пары связаны. Опыт показывает, что число связей равно числу валентных электронов элемента, если они образуют  $\sigma$ -связи. В том случае если валентные электроны, ходящие в  $S$  и  $P$  состояниях, образуют кроме  $\sigma$ -связей еще и  $\pi$ -связи, то общее число связей, образуемое элементом, может быть больше числа валентных электронов. Химическое строение молекул определяется своеобразной формой движения не только электронов, образующих связи, но и ядер, с которыми они непосредственно связаны. Было бы неправильно сводить химические явления к обычному движению электронов, к механике электронов. Поэтому при рассмотрении вопроса о движении электронов в молекуле мы предостерегаем от упрощенного его понимания. Необходимо рассматривать движение электронов не изолированно от движения ядер. Предлагаемая точка зрения является грубым приближением к действительности; тем не менее, такой подход позволяет решить хотя бы в качественной форме ряд вопросов химического строения молекул.

## Некоторые гетероциклические соединения

1. Пиррол, фуран, тиафен. Строение этих соединений может быть представлено формулами

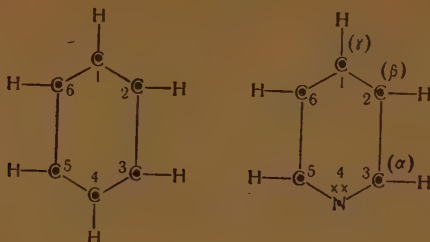


• —  $\pi$ -электроны  
xx — „необобщенные” пары  
электронов

Особенностью этих соединений является то, что  $\pi$ -электроны атомов  $C_2$ ,  $C_5$  взаимодействуют не только с  $\pi$ -электронами углеродных атомов  $C_3$ ,  $C_4$ , но и с электронными парами атомов N, O, S. Вследствие этого, взаимодействие  $\pi$ -электронов атомов  $C_2$ ,  $C_5$  с  $\pi$ -электронами атомов  $C_3$ ,  $C_4$  будет ослаблено, что должно привести к большей ненасыщенности у последних. Взаимодействие  $\pi$ -электронов атомов  $C_2$ ,  $C_5$  с N, O, S будет, повидимому, тем больше, чем меньше энергии возбуждения соответствующих электронных пар. Известно, что энергия возбуждения новых валентных состояний у N и O значительно (для кислорода переход  $2p \rightarrow 3s$  требует затраты энергии  $\sim 273$  ккал) больше, чем у серы (переход  $3p \rightarrow 4s$  требует затраты  $\sim 160$  ккал). Таким образом следует ожидать значительно большего взаимодействия дополнительной электронной пары с  $\pi$ -электронами соседних атомов, у атома серы по сравнению с кислородом и азотом.

В тиофене каждый атом углерода образует 3σ-связи и 2π-связи, в свою очередь, сера также образует с соседними атомами углерода 2σ-связи и 2π-связи. Характер движения π-электронов в кольце тиофена подобен характеру движения π-электронов в бензоле. В этом кроется причина того, что тиофен по своим химическим свойствам весьма сходен с бензолом.

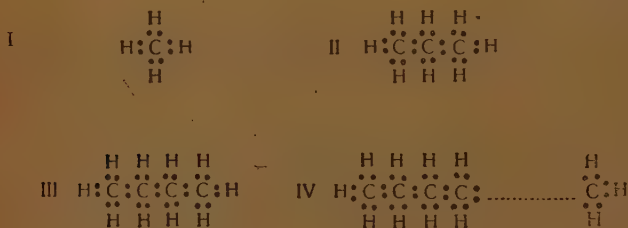
## 2. Пиридин



В молекуле пиридина характер движения π-электронов иной, чем в бензоле. π-электроны атомов  $C_3$ ,  $C_5$  в пиридине находятся в других условиях по сравнению с π-электронами остальных атомов. Сродство к электрону у атома азота больше, чем у углерода. Поэтому π-электроны атомов  $C_3$ ,  $C_5$  будут в большей мере взаимодействовать с π-электроном атома азота и в меньшей мере с π-электронами углеродных атомов  $C_2$ ,  $C_6$ . В свою очередь, взаимодействие π-электронов атомов  $C_2$ ,  $C_6$  с π-электроном атома  $C_1$  по сравнению с бензолом будет усилено. Таким образом углеродные атомы  $C_3$  ( $\alpha$ ),  $C_5$  ( $\alpha$ ),  $C_1$  ( $\gamma$ ) будут иметь меньшую ненасыщенность по сравнению с атомами  $C_2$ ,  $C_6$  ( $\beta$ ). Этим можно объяснить, почему при сульфировании, нитровании и бромировании получают β-производные, а при аминировании (действием  $NH_3Na$ ) α-производные и в меньшей мере γ-аминопроизводные.

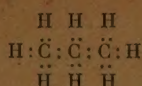
## Углеводороды жирного ряда

Взаимное влияние атомов, групп, вызывает изменение характера движения электронов, образующих химические связи в молекуле, также в соединениях, содержащих только σ-связи, например, в углеводородах жирного ряда. Известно, что углеводороды с разветвленными цепями отличаются от углеводородов с нормальной цепью по ряду свойств. Имеются существенные различия даже в углеводородах с нормальной цепью. В известной мере эти качественные различия определяются изменениями природы связей:  $C-H$ ,  $C-C$ . Изменение природы связей, несомненно, связано с изменением характера движения электронов. Характер движения электронов в поле нескольких ядер сказывается на распределении электронной плотности в молекуле как целом. Рассмотрим ряд метана

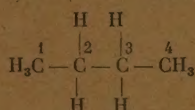


В молекуле метана движение электронов имеет определенный характер, все связи  $C-H$  равноценны. При замене одного атома  $H$  на группу  $CH_3$  существенно изменяется характер движения электронов не только тех, которые участвуют в образовании связи  $C-C$ , но связей  $C-H$ . Далее, при замене атома  $H$  в этане на группу  $CH_3$ , тоже произойдет изменение характера движения электронов в связях, но уже эти изменения будут менее значительными. Этим можно объяснить тот факт, что нет строгого выполнения аддитивности в энергии образования для первых четырех членов гомологического ряда и хорошее соблюдение для всех последующих. С рассматриваемой точки зрения, природа связей  $C-H$  в группах  $CH_2$  и  $CH_3$  данного соединения не одинакова и, тем более, в разных соединениях.

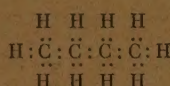
В молекуле пропана природа связи  $C-H$  в группе  $CH_3$  зависит, главным образом от характера движения 8 электронов атомов, непосредственно связанных, т.е. двух соседних атомов углерода и двух атомов водорода, в то время как в  $C-H$  в группе  $CH_3$  определяется характером движения 8 электронов, движущихся в поле одного атома углерода и трех атомов водорода.



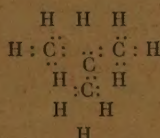
В нормальной углеводородной цепи связи  $C-C$  тоже по своей природе не изоценны. В молекуле бутана связи  $C-C$  между атомами 1-2 и 2-3 имеют некоторые различия



Такие различия в более резкой форме должны наблюдаться в углеводородах, имеющих разветвленные цепи. Например, в изобутане связи  $C-C$  и  $C-H$  (в группе  $CH_3$ ) несколько другие, чем в бутане:



Природа связей  $C-C$  и  $C-H$  (группа  $C-H$ ) в изобутане определяется характером движения 8 электронов движущихся, главным образом, в поле трех соседних атомов углерода и водорода.



Опыт показывает, что энергия образования разветвленных углеводородов меньше, чем соответствующего нормального (бутана — 1044,8 ккал, изопентана — 1046,4 ккал.)

Для объяснения опытных данных мы должны сделать предположение, что взаимодействие между атомами осуществляется не только парой валентных электронов (непосредственно связанных атомов), но также, в некоторой мере, взаимодействием пар (составляющих данный октет) между собой. Повидимому, взаимодействие пар, принадлежащих однородным атомам, является более эффективным. Например, энергия связи  $C-C$  в ряду  $-C-C-$ ;  $C-C-C$ ,

$\begin{array}{c} C \\ | \\ C-C \end{array}$  должна несколько возрастать; аналогично этому энергия связи  $C-H$

в ряду:  $-C-\begin{array}{c} H \\ | \\ C \end{array}-C$ ;  $-C-\begin{array}{c} H \\ | \\ C \end{array}-C$ ;  $-C-\begin{array}{c} H \\ | \\ C \end{array}-H$  будет также увеличиваться. Вер-

оятно, это связано с близостью уровней энергии электронов в молекуле.

Опыт убеждает нас в том, что в природе не существует абсолютной аддитивности. Природа химических соединений характеризуется неаддитивностью свойств. Если относительной аддитивной закономерности нужно рассматривать как метод установления действительной неаддитивной природы свойств различных химических соединений.



В своих заметках мы пытались дать лишь качественную трактовку иде А. М. Бутлерова, учитывая известные свойства микрочастиц, особым родом движения которых обусловлено химическое строение молекул.

Москва

Поступила  
28. III. 1951

#### ЛИТЕРАТУРА

1. S. C. Arahoms, I. M. Robertson a. I. G. White, *Acta Cryst.*, 2, 2, 1949.
2. A. H. Mathieson, I. M. Robertson a. V. C. Sinclair, *Acta Cryst.* 3 part, p. 245, 1950.
3. Я. К. Сыркин и М. Е. Дяткина, Химическая связь и строение молекулы, Госхимиздат, 1946, стр. 465.

#### ИСПРАВЛЕНИЕ К СТАТЬЕ

**Н. А. ИЗГАРЫШЕВА и А. А. ПЕТРОВОЙ**

**«КАТОДНЫЕ ПРОЦЕССЫ ПРИ ЭЛЕКТРОВОССТАНОВЛЕНИИ НИТРОМЕТАНА»**

Журнал физической химии 24, 745, 1950

На стр. 756 помещена таблица 10, в которой дается сопоставление дипольных моментов и интенсивности восстановления на катодах. Эта таблица составлена, впервые С. А. Войткевичем и приводится в его диссертации. По моей оплошности нашей статье не приведена ссылка на диссертацию С. А. Войткевича хотя соответствующая ссылка на работу С. А. Войткевича, в связи с использованием указанной таблицы, в тексте моей диссертации (см. А. А. Петрова, диссертация МХТИ им. Менделеева, 1950) имеется.



## СОДЕРЖАНИЕ

А. Маринин. Скорость ультразвука в некоторых жидкостях и растворах	641
В. Поляков, А. Я. Павлушина, Т. П. Корниенко и В. В. Шаля. Исследование кинетики и механизма полимеризации винилацетата	647
Г. Рысс. О равновесии гидролиза гексафторосиликатона	654
А. Ковнер и В. А. Чуенков. К теории водородной связи в димерах карбоновых кислот	662
М. Дыхно и А. И. Шатенштейн. Спектры поглощения и электропроводность растворов нитронафтолов в жидком аммиаке	670
В. Фрисман и В. Н. Цветков. Динамическое двойное лучепреломление жидкостей с цепными молекулами	682
П. Миклухин. Подвижность атомов водорода в солях уксусной кислоты	688
А. Кожеуров. Термодинамика твердых и жидких растворов окислов железа	694
М. Зезюлинский. Исследование водородной связи фенола с некоторыми органическими соединениями по спектрам поглощения их растворов в близкой инфракрасной области	702
П. Древинг, А. В. Киселев и О. А. Лихачева. Адсорбция паров азота на силикагеле при низкой температуре	710
Ф. Капустинский и Ю. М. Голутвин. Метод предельных теплот. I. Теплота образования сернистого железа	719
Ф. Капустинский и Ю. М. Голутвин. Метод предельных теплот. II. Теплота образования селенистого железа	729
Л. Розенфельд. Зависимость электродного потенциала железа от концентрации водородных ионов	732

### Дискуссия

Н. Шигорин. О некоторых вопросах теории химического строения молекул	737
--	-----

Цена 12 руб.